

การศึกษาการใช้ไฟปืนของปลาค็อต (สกุล *Schistura*) จากดินผ่านสาขาวิชาระบบที่มีปัจจัยทางชีวภาพ

นักศึกษา ศรีสุวรรณ์

วิทยากรผู้สอนพานิช
สาขาวิชาเชื้อชาติไทย

ปีที่ห้าวิทยาลัย
มหาวิทยาลัยเชียงใหม่
พ.ศ. ๒๕๔๔

Anlo

- 3 S.A. 2544



โครงการ BRT ชั้น 15 อาคารมหานครยิบซัม

539/2 ถนนกรีฑาธุรยา เขตราชเทวี กรุงเทพฯ 10400

การศึกษาการวิเคราะห์ป้องกันภัย (สกุล *Schistura*) จากลู่น้ำสาขา
ของแม่น้ำปิงในจังหวัดเชียงใหม่

เกรียงไกร สีৎพันธุ์

วิทยานิพนธ์นี้เสนอต่อนักวิทยาลัยเพื่อเป็นส่วนหนึ่ง
ของการศึกษาตามหลักสูตรปริญญา
วิทยาศาสตรมหาบัณฑิต
สาขาวิชาชีววิทยา

บัณฑิตวิทยาลัย
มหาวิทยาลัยเชียงใหม่
ตุลาคม 2544

การศึกษาการໂຄไກປົ້ອງປາຄົວ (ສຸກູລ *Schistura*) ຈາກຊຸ່ນໜ້າສາຫາ
ຂອງແມ່ນໍ້າປິ່ງໃນຈັງຂວັດເຊີຍໄໝ່

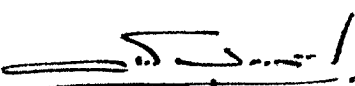
ເກົ່າຮັງໄກຣ ສີຕະພັນຫຼຸ

ວິທະນີພັນຮົນນີ້ແສນອຕ່ອບັນຫຼິດວິທະນີພື້ນເພື່ອເປັນສ່ວນໜຶ່ງຂອງການສຶກສາ
ຕາມຫລັກສູດປິຣູຢູ່ວິທະນາສາດຕະນາບັນຫຼິດ
ສາຂາວິຊາຊີວິທາ

ຄະະກຽມກາຮ່ອບວິທະນີພັນ

 ປະທານກຽມກາ
ຜູ້ຂ່າຍຄາສຕຽາຈາກຢັ້ງປິການ ຈິຍົງວິທາວັດແນ້ນ

 ກຽມກາ
ຮອງຄາສຕຽາຈາກຢັ້ງ ດຣ. ກິພຍົນພື້ນ ກະຮະຕະສິລປິນ

 ກຽມກາ
ຈາກຢັ້ງກິນນັ້ນທ່ານ ສູວັດວັດກົມ

ຕຸລາຄາ 2544

© ສົກສິຖິຂອງບັນຫຼິດວິທະນີພື້ນ ມາວິທະນີພື້ນເຊີຍໄໝ່

กิตติกรรมประกาศ

วิทยานิพนธ์นี้สำเร็จได้ด้วยความกรุณาจาก ผู้ช่วยศาสตราจารย์ปรีดา จริยวิทยาวัฒน์ อาจารย์ที่ปรึกษาวิทยานิพนธ์ ผู้ชี้งกรุณาให้ความรู้ คำแนะนำ คำปรึกษา ให้ความช่วยเหลือตลอดระยะเวลาทำการวิจัย ตลอดจนตรวจแก้ไขจนวิทยานิพนธ์เสร็จสมบูรณ์ ผู้เขียนขอกราบขอบพระคุณเป็นอย่างสูงไว้ ณ โอกาสนี้

ขอกราบขอบพระคุณรองศาสตราจารย์ ดร. ทิพย์มลี ภรตะศิลปิน และอาจารย์อกินันท์ สุวรรณรักษ์ ที่ให้ความกรุณาเป็นกรรมการตรวจสอบวิทยานิพนธ์ และให้คำแนะนำเป็นอย่างดีเสมอมา

ขอกราบขอบพระคุณรองศาสตราจารย์ ดร. ดาวรุ่ง กัจวนพงศ์ ผู้ช่วยศาสตราจารย์ ดร. อรุณา นีเวที และ คุณวรา หินจันทร์ ที่ช่วยให้คำปรึกษาเกี่ยวกับการซ้อมสีโคล โนโซนแบบพิเศษ งานงานวิทยานิพนธ์นี้สำเร็จด้วยดี

ขอบอบคุณ คุณสนชัย สุวัฒนคุปต์ คุณธน มะระยงค์ และคุณกฤติกา พธีรังไนม่ ที่ให้ความสำคัญเกี่ยวกับการใช้งานอุปกรณ์ค้านการถ่ายรูปตลอดระยะเวลาที่ทำการศึกษา

ขอบอบคุณ คุณสมยศ ศิลลักษณ์ คุณธรรมวัตร แก้วตาปี คุณณฤณล นะธรรมโน ที่ให้ความช่วยเหลือในการเก็บตัวอย่างภาคทดลองเวลาจนกระทั่งวิทยานิพนธ์นี้เสร็จสิ้นสมบูรณ์ ขอบคุณคุณ พุฒิพงศ์ นว吉นบำรุง ที่อนุเคราะห์ห้องมีดและให้ความช่วยเหลือค้านการถ่ายอัตรูปโคล โนโซนด้วยดีตลอดเวลา ขอบคุณเงินชวัญ ศรีสวัสดิ์ ที่ให้ความช่วยเหลือในเรื่องรูปภาพ และข้อมูลแผนที่จังหวัด เชียงใหม่ด้วยดีตลอดเวลา ขอบอบคุณที่แต่งอ่อน พรหมนิ พิญาณันท์ สุนทรกิจ ที่พงศักดิ์ เหกดี คุณเพ็ญแยน ธรรมเสนานุภาพ และสามาชิกห้องปฏิบัติการเชลล์พันธุศาสตร์ทุกคน ตลอดจนบุคคลซึ่งผู้เขียนไม่ได้กล่าวถึงที่ให้ความช่วยเหลือทั้งแรงกายและแรงใจในกระบวนการนี้เสร็จสิ้นสมบูรณ์

ขอกราบขอบพระคุณ คุณพ่อ คุณแม่ และญาติพี่น้องทุกคนที่ให้ความสนับสนุนและเป็นกำลังใจ งานวิทยานิพนธ์นี้เสร็จสมบูรณ์

โครงการนี้ได้รับทุนสนับสนุนจาก โครงการพัฒนาองค์ความรู้และศึกษาโฆษณาการจัดการทรัพยากรชีวภาพในประเทศไทย ซึ่งร่วมจัดตั้งโดยสำนักงานกองทุนสนับสนุนการวิจัยและศูนย์พันธุวิศวกรรมและเทคโนโลยีชีวภาพแห่งชาติ รหัสโครงการ BRT 524085

ชื่อเรื่องวิทยานิพนธ์ การศึกษาการไฮป์ของปลาค้อ (สกุล *Schistura*) จากกลุ่มน้ำสาขาของแม่น้ำปิงในจังหวัดเชียงใหม่

ชื่อผู้เขียน นายเกรียงไกร สีทะพันธุ์

วิทยาศาสตรมหาบัณฑิต สาขาวิชาชีววิทยา

คณะกรรมการสอบวิทยานิพนธ์

| | |
|-----------------------------------------|---------------|
| ผู้ช่วยศาสตราจารย์ปริศนา จริยวิทยาวัฒน์ | ประธานกรรมการ |
| รองศาสตราจารย์ ดร.ทิพย์นภัส ภรตะศิลปิน | กรรมการ |
| อาจารย์อกินันท์ สุวรรณรักษ์ | กรรมการ |

บทคัดย่อ

การศึกษาการไฮป์ของปลาค้อสกุล *Schistura* 11 ชนิดจากกลุ่มน้ำสาขาของแม่น้ำปิงทั้งหมด 11 กลุ่มน้ำสาขา ในจังหวัดเชียงใหม่ ในช่วงเดือนสิงหาคม 2542 ถึงเดือนมกราคม 2544 ซึ่งได้แก่ *Schistura kengtungensis*, *S. cf. menanensis*, *S. nicholsi*, *S. obeini*, *S. poculi*, *S. cf. robertsi* 1, *S. cf. robertsi* 2, *S. spilota*, *S. cf. spilota*, *S. waltoni* และ *Schistura* sp. พบร่วม *S. kengtungensis* มีจำนวนโครโนโซม $2n=52$ ส่วนที่เหลืออีก 10 ชนิดมีจำนวนโครโนโซม $2n=50$ ซึ่งประกอบด้วยกลุ่มโครโนโซมชนิดต่างๆตามลำดับดังนี้คือ $6m+10sm+8a+28t$, $8m+12sm+16a+14t$, $6m+16sm+8a+20t$, $12m+10sm+4a+24t$, $8m+8sm+12a+22t$, $4m+8sm+8a+30t$, $6m+12sm+10a+22t$, $12m+8sm+4a+26t$, $6m+4sm+12a+28t$, $8m+12sm+14a+16t$ และ $6m+8sm+8a+28t$

จากการข้อมูลแบบ C-banding พบร่วมโครโนโซมส่วนใหญ่ของปลาค้อจะติดสีบริเวณ centromere แต่มีโครโนโซมบางคู่ของปลาค้อบางชนิดปรากฏแถบสีในส่วนอื่นของโครโนโซม ได้แก่บนแน่นข้างขวาของโครโนโซมทั้งแน่นของ *S. obeini*, *S. nicholsi*, *S. spilota* และ *S. cf. spilota* บนบางส่วนของแน่นข้างขวาของโครโนโซมของ *S. obeini*, *S. cf. robertsi* 1, *S. spilota*, *S. cf. spilota* และ *Schistura* sp. และบนแน่นข้างสันของโครโนโซมบางแท่งในปลาค้อทุกชนิด

การข้อมูลที่ Nucleolus Organizer Regions พบร่วม NOR banding ปรากฏที่แน่นข้างสันของโครโนโซมแบบค่าๆคือ metacentric ของ *S. poculi* และ submetacentric ของ *S. cf. menanensis*,

S. nicholsi, *S. obeini*, *S. spilota* และ *S. waltoni* แบบ acrocentric ของ *S. cf. spilota*, *S. cf. robertsi* 1, *S. cf. robertsi* 2 และ *Schistura* sp. และพบที่ปลายแขนของโครโนโซมแบบ telocentric ของ *S. kengtungensis* ส่วนการย้อมสีแบบ G-banding พบร่องรอยบนโครโนโซมเกือบทุกคู่ในรูปแบบเจาะจง วิธีนี้ช่วยให้การจับคู่โครโนโซมของปลาคือแต่ละชนิดทำได้ง่ายขึ้น ในขณะที่การย้อมสีแบบ Q-banding พบແບນสว่างชัดเจนเฉพาะส่วนปลายของโครโนโซมแบบ telocentric คู่ที่ 3 ในปลา *S. spilota* เพียงชนิดเดียว ซึ่งไม่พบในปลาคืออีก 10 ชนิดที่ทำการศึกษาแลย

จากการจัดกลุ่มปลาสกุล *Schistura* โดยใช้ข้อมูลค่านเฉลี่ยพันธุศาสตร์ด้วย hierarchical cluster analysis สามารถแบ่งกลุ่มปลาออกได้ 6 กลุ่มคือ กลุ่มที่ 1 ประกอบด้วย *S. cf. robertsi* 1, *Schistura* sp. และ *S. cf. robertsi* 2 กลุ่มที่ 2 ประกอบด้วย *S. cf. menanensis* และ *S. waltoni* กลุ่มที่ 3 ประกอบด้วย *S. poculi* กลุ่มที่ 4 ประกอบด้วย *S. spilota* และ *S. cf. spilota* กลุ่มที่ 5 ประกอบด้วย *S. nicholsi* และ *S. obeini* และกลุ่มที่ 6 ประกอบด้วย *S. kengtungensis* ผลที่ได้มีอย่างเปรียบเทียบกับการจัดกลุ่มโดยอาศัยลักษณะภายนอกพบว่ากลุ่มที่ 3, 4 และ 5 ให้ผลแบบเดียวกัน แต่สำหรับ 3 กลุ่มที่เหลือมีความแตกต่างกันเล็กน้อย

Thesis Title Karyotype Study of the Stone Loach Fish (Genus *Schistura*) from Tributary of Ping River, Chiang Mai Province

Author Mr. Kriengkrai Seetapan

M.S. Biology

Examining Committee

| | |
|-------------------------------------------|-------------|
| Assistant Prof. Prisana Chariyavithayawat | Chairperson |
| Associate Prof. Dr. Thipmani Paratasilpin | Member |
| Lecturer Apinun Suvarnaraksha | Member |

ABSTRACT

Karyotypes of 11 species of stone loach fish genus *Schistura* from 11 tributaries of the Ping River, Chiang Mai Province, were studied during August, 1999 to January, 2001. They were *Schistura kengtungensis*, *S. cf. menanensis*, *S. nicholsi*, *S. obeini*, *S. poculi*, *S. cf. robertsi* 1, *S. cf. robertsi* 2, *S. spilota*, *S. cf. spilota*, *S. waltoni* and *Schistura* sp. The somatic chromosome number of *S. kengtungensis* was 52 ($2n=52$) while those of the remaining 10 species were 50 ($2n=50$). The karyotypes of the forementioned 11 species were $6m+10sm+8a+28t$, $8m+12sm+16a+14t$, $6m+16sm+8a+20t$, $12m+10sm+4a+24t$, $8m+8sm+12a+22t$, $4m+8sm+8a+30t$, $6m+12sm+10a+22t$, $12m+8sm+4a+26t$, $6m+4sm+12a+28t$, $8m+12sm+14a+16t$, and $6m+8sm+8a+28t$ respectively.

C-banding observation indicated that most of the stone loach fish chromosomes contained C-banding at the centromeric region. Only a few the *Schistura* chromosomes contained C-banding at other regions. The whole long arm of *S. obeini*, *S. nicholsi*, *S. spilota*, and *S. cf. spilota* chromosomes were C-banding positive. *S. obeini*, *S. cf. robertsi* 1, *S. spilota*, *S. cf. spilota*, and *Schistura* sp. showed C-banding only within the long arms. C-banding in the whole short arm could be seen in all 11 species.

Nucleolus Organizer Region staining exhibited NOR banding located on the short arm of various types of chromosome pair which were metacentric of *S. poculi*, submetacentric of *S. cf. menanensis*, *S. nicholsi*, *S. obeini*, *S. spilota* and *S. waltoni*, and acrocentric of *S. cf. spilota*, *S. cf. robertsi* 1, *S. cf. robertsi* 2 and *Schistura* sp. Telocentric NOR banding was only found in *S. kengtungensis*. G-banding investigation showed specific pattern on most of the homologous pairs which helped identifying homology of chromosomes of each the stone loach fish species. Q-banding detected strikingly fluorescent band at the terminal position of telocentric chromosome pair number 3 of *S. spilota* only and none in the remaining 10 species.

The fish genus *Schistura* were divided into 6 groups by using cytogenetic data employing hierarchical cluster analysis. They were group 1 *S. cf. robertsi* 1, *Schistura* sp. and *S. cf. robertsi* 2, group 2 *S. cf. menanensis* and *S. waltoni*, group 3 *S. poculi*, group 4 *S. spilota* and *S. cf. spilota*, group 5 *S. nicholsi* and *S. obeini* and group 6 *S. kengtungensis*. These groupings when compared with those using morphological data were similar in species composition for group 3, 4 and 5 but slightly different for the remaining 3 groups.

สารบัญ

| | หน้า |
|--------------------------------|------------|
| กิตติกรรมประกาศ | ค |
| บทคัดย่อภาษาไทย | ๑ |
| บทคัดย่อภาษาอังกฤษ | ๒ |
| สารบัญตาราง | สาม |
| สารบัญภาพ | ภู |
| บทที่ 1 บทนำและวัตถุประสงค์ | ๑ |
| บทที่ 2 ทบทวนเอกสาร | ๓ |
| บทที่ 3 อุปกรณ์และวิธีการศึกษา | ๑๓ |
| บทที่ 4 ผลการศึกษา | ๒๒ |
| บทที่ ๕ อกบิประยุกต์การศึกษา | ๘๕ |
| บทที่ ๖ สรุปผลการศึกษา | ๙๑ |
| บรรณานุกรม | ๙๔ |
| ภาคผนวก | |
| ภาคผนวก ก | ๑๐๐ |
| ภาคผนวก ข | ๑๑๔ |
| ภาคผนวก ค | ๑๑๘ |
| ประวัติผู้เขียน | ๑๒๒ |

สารบัญตาราง

| ตาราง | หน้า |
|------------------------------------------------------------------------------------------------------------------------|------|
| 1 จุดเก็บตัวอย่างปลาค้อทั้งหมด 11 ถุน้ำสาขา | 13 |
| 2 การแยกชนิดໂຄຣໂນໂზນปลาค้อโดยใช้ค่า Centromeric index (CI) | 21 |
| 3 ชนิด และแหล่งที่พบปลาค้อที่ใช้ในการศึกษาการ์ໂໄທປີ | 22 |
| 4 ผลการวิเคราะห์จำนวนໂຄຣໂນໂზນของปลาค้อที่ตรวจพบจากถุน้ำสาขาของแม่น้ำปิงในระหว่างเดือนສิงหาคม 2542 ถึงเดือนกรกฎาคม 2544 | 24 |
| 5 ความยาวเฉลี่ย (หน่วยสัมพัทธ์) ของໂຄຣໂນໂზນจากเชลล์ของ <i>Schistura waltoni</i> จำนวน 10 เชลล์ | 29 |
| 6 ความยาวเฉลี่ย (หน่วยสัมพัทธ์) ของໂຄຣໂນໂზນจากเชลล์ของ <i>Schistura kengtungensis</i> จำนวน 10 เชลล์ | 34 |
| 7 ความยาวเฉลี่ย (หน่วยสัมพัทธ์) ของໂຄຣໂນໂზນจากเชลล์ของ <i>Schistura cf. menanensis</i> จำนวน 10 เชลล์ | 39 |
| 8 ความยาวเฉลี่ย (หน่วยสัมพัทธ์) ของໂຄຣໂນໂზນจากเชลล์ของ <i>Schistura nicholsi</i> จำนวน 10 เชลล์ | 44 |
| 9 ความยาวเฉลี่ย (หน่วยสัมพัทธ์) ของໂຄຣໂນໂზນจากเชลล์ของ <i>Schistura obeini</i> จำนวน 10 เชลล์ | 49 |
| 10 ความยาวเฉลี่ย (หน่วยสัมพัทธ์) ของໂຄຣໂນໂზນจากเชลล์ของ <i>Schistura cf. robertsi</i> 1 จำนวน 10 เชลล์ | 54 |
| 11 ความยาวเฉลี่ย (หน่วยสัมพัทธ์) ของໂຄຣໂນໂზນจากเชลล์ของ <i>Schistura cf. robertsi</i> 2 จำนวน 10 เชลล์ | 59 |
| 12 ความยาวเฉลี่ย (หน่วยสัมพัทธ์) ของໂຄຣໂນໂზນจากเชลล์ของ <i>Schistura sp.</i> จำนวน 10 เชลล์ | 64 |
| 13 ความยาวเฉลี่ย (หน่วยสัมพัทธ์) ของໂຄຣໂນໂზນจากเชลล์ของ <i>Schistura spilota</i> จำนวน 10 เชลล์ | 69 |
| 14 ความยาวเฉลี่ย (หน่วยสัมพัทธ์) ของໂຄຣໂນໂზນจากเชลล์ของ <i>Schistura cf. spilota</i> จำนวน 10 เชลล์ | 74 |

สารบัญตาราง

| ตาราง | หน้า |
|------------------------------------------------------------------------------------------------|------|
| 15 ความยาวเฉลี่ย (หน่วยสัมพัทธ์) ของโครงโน้มจากเซลล์ของ <i>Schistura poculi</i> จำนวน 10 เซลล์ | 79 |
| 16 เปรียบเทียบการจัดกลุ่มความใกล้ชิดของปลาค้อ | 88 |
| 17 การไอ้ไทยปีของปลาค้อสกุล <i>Schistura</i> ที่พนจากกลุ่มน้ำสาขาของแม่น้ำปิง | 91 |
| 18 ตำแหน่งการติดสี C-band บนโครงโน้มปลาค้อ 11 ชนิด | 92 |
| 19 ตำแหน่งการติดสีแบบ NOR band บนโครงโน้มแต่ละคู่ในปลาค้อ 11 ชนิด | 93 |

สารบัญภาพ

| รูป | หน้า |
|---------------------------------------------------------------------------------------------------------------------|------|
| 1 ลักษณะปากของปลาคุุ่ม nemacheiline | 4 |
| 2 ลักษณะรูปร่างของโครงโน้มแบบต่างๆ ตามตำแหน่งของ centromere | 6 |
| 3 สูตรโครงสร้างของโคลชิซิน | 7 |
| 4 จุดเก็บตัวอย่างปลาคุุ่มน้ำสาخางเม่นน้ำปีงในจังหวัดเชียงใหม่ | 16 |
| 5 ลักษณะลุ่มน้ำสาขานางจุดที่ทำการเก็บตัวอย่างปลาคุุ่ม | 17 |
| 6 การวิเคราะห์การจัดกลุ่มปลาคุุ่ม 11 ชนิด โดยใช้ลักษณะภายนอก ด้วยโปรแกรม SPSS วิธี hierarchical cluster analysis | 23 |
| 7 โครงโน้มระยะ metaphase ของ <i>Schistura waltoni</i> ข้อมูลสีแบบ Giemsa stained | 26 |
| 8 คาริโอไทป์ของ <i>Schistura waltoni</i> ซึ่งประกอบด้วย 8m+12sm+14a+16t (2n=50) | 26 |
| 9 โครงโน้มระยะ metaphase ของ <i>Schistura waltoni</i> | 27 |
| 10 คาริโอไทป์ของ <i>Schistura waltoni</i> ข้อมูลสีแบบพิเศษ | 28 |
| 11 โครงโน้มระยะ metaphase ของ <i>Schistura kengtungensis</i> ข้อมูลสีแบบ Giemsa stained | 31 |
| 12 คาริโอไทป์ของ <i>Schistura kengtungensis</i> ซึ่งประกอบด้วย 6m+10sm+8a+28t (2n=52) | 31 |
| 13 โครงโน้มระยะ metaphase ของ <i>Schistura kengtungensis</i> | 32 |
| 14 คาริโอไทป์ของ <i>Schistura kengtungensis</i> ข้อมูลสีแบบพิเศษ | 33 |
| 15 โครงโน้มระยะ metaphase ของ <i>Schistura cf. menanensis</i> ข้อมูลสีแบบ Giemsa stained | 36 |
| 16 คาริโอไทป์ของ <i>Schistura cf. menanensis</i> ซึ่งประกอบด้วย 8m+12sm+16a+14t (2n=50) | 36 |
| 17 โครงโน้มระยะ metaphase ของ <i>Schistura cf. menanensis</i> | 37 |
| 18 คาริโอไทป์ของ <i>Schistura cf. menanensis</i> ข้อมูลสีแบบพิเศษ | 38 |
| 19 โครงโน้มระยะ metaphase ของ <i>Schistura nicholsi</i> ข้อมูลสีแบบ Giemsa stained | 41 |
| 20 คาริโอไทป์ของ <i>Schistura nicholsi</i> ซึ่งประกอบด้วย 6m+16sm+8a+20t (2n=50) | 41 |
| 21 โครงโน้มระยะ metaphase ของ <i>Schistura nicholsi</i> | 42 |

สารบัญภาพ

รูป

หน้า

| | |
|---------------------------------------------------------------------------------------------------|----|
| 22 คาริໂໂໄທປຶ່ງອອງ <i>Schistura nicholsi</i> ຂໍອນສີແບບພິເສຍ | 43 |
| 23 ໂຄຣໂນໂໜນຮະບະ metaphase ຂອງ <i>Schistura obeini</i> ຂໍອນສີແບບ Giemsa stained | 46 |
| 24 คາຣີໂໂໄທປຶ່ງອອງ <i>Schistura obeini</i> ຜຶ່ງປະກອບດ້ວຍ $12m+10sm+4a+24t$ ($2n=50$) | 46 |
| 25 ໂຄຣໂນໂໜນຮະບະ metaphase ຂອງ <i>Schistura obeini</i> | 47 |
| 26 คາຣີໂໂໄທປຶ່ງອອງ <i>Schistura obeini</i> ຂໍອນສີແບບພິເສຍ | 48 |
| 27 ໂຄຣໂນໂໜນຮະບະ metaphase ຂອງ <i>Schistura cf. robertsi</i> 1 ຂໍອນສີແບບ Giemsa stained | 51 |
| 28 คາຣີໂໂໄທປຶ່ງອອງ <i>Schistura cf. robertsi</i> 1 ຜຶ່ງປະກອບດ້ວຍ $4m+8sm+8a+30t$ ($2n=50$) | 51 |
| 29 ໂຄຣໂນໂໜນຮະບະ metaphase ຂອງ <i>Schistura cf. robertsi</i> 1 | 52 |
| 30 คາຣີໂໂໄທປຶ່ງອອງ <i>Schistura cf. robertsi</i> 1 ຂໍອນສີແບບພິເສຍ | 53 |
| 31 ໂຄຣໂນໂໜນຮະບະ metaphase ຂອງ <i>Schistura cf. robertsi</i> 2 ຂໍອນສີແບບ Giemsa stained | 56 |
| 32 คາຣີໂໂໄທປຶ່ງອອງ <i>Schistura cf. robertsi</i> 2 ຜຶ່ງປະກອບດ້ວຍ $6m+12sm+10a+22t$ ($2n=50$) | 56 |
| 33 ໂຄຣໂນໂໜນຮະບະ metaphase ຂອງ <i>Schistura cf. robertsi</i> 2 | 57 |
| 34 คາຣີໂໂໄທປຶ່ງອອງ <i>Schistura cf. robertsi</i> 2 ຂໍອນສີແບບພິເສຍ | 58 |
| 35 ໂຄຣໂນໂໜນຮະບະ metaphase ຂອງ <i>Schistura</i> sp. ຂໍອນສີແບບ Giemsa stained | 61 |
| 36 คາຣີໂໂໄທປຶ່ງອອງ <i>Schistura</i> sp. ຜຶ່ງປະກອບດ້ວຍ $6m+8sm+8a+28t$ ($2n=50$) | 61 |
| 37 ໂຄຣໂນໂໜນຮະບະ metaphase ຂອງ <i>Schistura</i> sp. | 62 |
| 38 คາຣີໂໂໄທປຶ່ງອອງ <i>Schistura</i> sp. ຂໍອນສີແບບພິເສຍ | 63 |
| 39 ໂຄຣໂນໂໜນຮະບະ metaphase ຂອງ <i>Schistura spilota</i> ຂໍອນສີແບບ Giemsa stained | 66 |
| 40 คາຣີໂໂໄທປຶ່ງອອງ <i>Schistura spilota</i> ຜຶ່ງປະກອບດ້ວຍ $12m+8sm+4a+26t$ ($2n=50$) | 66 |
| 41 ໂຄຣໂນໂໜນຮະບະ metaphase ຂອງ <i>Schistura spilota</i> | 67 |
| 42 คາຣີໂໂໄທປຶ່ງອອງ <i>Schistura spilota</i> ຂໍອນສີແບບພິເສຍ | 58 |
| 43 ໂຄຣໂນໂໜນຮະບະ metaphase ຂອງ <i>Schistura cf. spilota</i> ຂໍອນສີແບບ Giemsa stained | 71 |

สารบัญภาพ

| ญบ | หน้า |
|---------------------------------------------------------------------------------------------------------------------------------------------------------|------|
| 44 คาริโอไทป์ของ <i>Schistura cf. spilota</i> ชั้งประกอบด้วย 6m+4sm+12a+28t (2n=50) | 71 |
| 45 โครโนโซนระยะ metaphase ของ <i>Schistura cf. spilota</i> | 72 |
| 46 คาริโอไทป์ของ <i>Schistura cf. spilota</i> ข้อมูลแบบพิเศษ | 73 |
| 47 โครโนโซนระยะ metaphase ของ <i>Schistura poculi</i> ข้อมูลแบบ Giemsa stained | 76 |
| 48 คาริโอไทป์ของ <i>Schistura poculi</i> ชั้งประกอบด้วย 8m+8sm+12a+22t (2n=50) | 76 |
| 49 โครโนโซนระยะ metaphase ของ <i>Schistura poculi</i> | 77 |
| 50 คาริโอไทป์ของ <i>Schistura poculi</i> ข้อมูลแบบพิเศษ | 78 |
| 51 การวิเคราะห์การจัดกลุ่มปลาค้อ 11 ชนิด ด้วยโปรแกรม SPSS วิธี hierarchical cluster analysis | 80 |
| 52 โครโนโซนของปลาค้อ 3 ชนิด ข้อมูลด้วยวิธี C-banding | 80 |
| 53 โครโนโซนของปลาค้อ 3 ชนิด ข้อมูลด้วยวิธี NOR banding | 81 |
| 54 โครโนโซนคู่ที่ 3, 5, 6 และ 7 ของ <i>S. waltoni</i> (A) และ โครโนโซนคู่ที่ 3, 4, 6 และ 8 ของ <i>S. cf. menanensis</i> (B) ข้อมูลด้วยวิธี C-banding | 81 |
| 55 โครโนโซนคู่ที่ 3 ของปลาค้อทั้ง 2 ชนิด ข้อมูลด้วยวิธี NOR banding | 82 |
| 56 โครโนโซนคู่ที่ 1, 2 และ 3 ของ <i>S. spilota</i> (A) และ โครโนโซนคู่ที่ 1, 5 และ 4 ของ <i>S. cf. spilota</i> (B) ข้อมูลด้วยวิธี C-banding | 82 |
| 57 โครโนโซนคู่ที่ 1, 2, 5 และ 10 ของ <i>S. nicholsi</i> (A) และ โครโนโซนคู่ที่ 1, 3, 13 และ 19 ของ <i>S. obeini</i> (B) ข้อมูลด้วยวิธี C-banding | 83 |
| 58 โครโนโซนของปลาค้อทั้ง 2 ชนิด ข้อมูลด้วยวิธี NOR banding | 83 |

บทที่ 1

บทนำ

ปลาค้อเป็นสัตว์มีกระดูกสันหลังในอาณาจักร (phylum) Chordata อยู่ในชั้น (class) Actinopterygii อันดับ (order) Cypriniformes และอยู่ในวงศ์ (family) Balitoridae ปลาดังกล่าวเป็นปลาที่มีรูปร่างตัวเรียบง่าย ไม่มีลักษณะเป็นกรวด หรือหอ ถึงแม้ว่าปลาค้อจะมีรูปร่างตัวเรียบง่าย แต่ปลาดังกล่าวก็ถูกนำมาทำเป็นอาหาร และยังมีปลาค้อบางชนิดมีลายบนลำตัวที่เปล่งประกายสวยงามเช่นกัน ทำให้เป็นปลาสวยงาม นอกจากนี้ปลาค้อยังมีความสำคัญในการจัดการด้านสิ่งแวดล้อมอีกด้วย กล่าวคือปลาค้อมีคุณสมบัติเหมาะสมในการเป็นสิ่งมีชีวิตที่ใช้เป็นตัวบ่งชี้สภาพแวดล้อมน้ำ (biological indicator) ในแหล่งน้ำต่างๆ ได้ ซึ่งถ้าพบปลาค้อในแหล่งน้ำใดแสดงว่าสภาพแวดล้อมน้ำดีมาก (สาระน่ารู้ และนิรนดร, 2542) ดังนั้นจะเห็นว่าปลาค้อมีบทบาทสำคัญต่อมนุษย์และสภาพแวดล้อมเป็นอย่างยิ่ง

ปลาค้อเป็นปลาที่มีความแปรปรวนของรูปแบบสีและลายบนลำตัวค่อนข้างสูงมาก ซึ่งแต่เดิมงานทางด้านอนุกรรมวิทยาของปลาในกลุ่มนี้จะพิจารณาข้อมูลเกี่ยวกับสันฐานวิทยาฯ อย่างรวมถึงลักษณะรูปแบบของสีและลายบนลำตัวเป็นสิ่งที่ใช้ในการจัดจำแนกชนิดของปลาจึงทำให้บางครั้งอาจเกิดปัญหาในการจัดจำแนกชนิดปลาได้ เพราะว่าปลาค้อหลายชนิดมีสีและลายบนลำตัวที่คล้ายคลึงกัน นอกจากนี้ในบางครั้งสีบนลำตัวของปลาบ้างอาจจะซีดหรือหายไปเนื่องจากสภาพแวดล้อมมีการเปลี่ยนแปลง

จากความรู้ที่ว่า สิ่งมีชีวิตแต่ละชนิดมีโครงโน้มโน้มที่มีขนาด รูปร่าง และจำนวนเฉพาะสำหรับชนิดหนึ่งๆ การเปลี่ยนแปลงที่เกิดขึ้นกับโครงโน้มโน้มไม่ว่ารูปร่างหรือจำนวนโครงโน้มโน้มจะมีผลต่อลักษณะและการคำนวณของสิ่งมีชีวิตนั้นๆ และปัจจัยสิ่งแวดล้อมภายนอกมีผลกระทบต่อโครงโน้มโน้มของสิ่งมีชีวิตน้อยมากเมื่อเปรียบเทียบกับลักษณะภายนอก ดังนั้นการศึกษาการโครงสร้างของปลาค้อในสิ่งมีชีวิตได้ ซึ่งในปัจจุบันมีการพัฒนาเทคนิคในการย้อมสีโครงโน้มโน้มขึ้นหลายวิธี เช่น Q-banding, G-banding, C-banding และ NORs ฯลฯ วิธีเหล่านี้จะทำให้เกิดแถบตามขวางของแท่งโครงโน้มโน้ม เรียกว่า แถบโครงโน้มโน้ม (chromosome band) โครงโน้มโน้มแต่ละแท่งจะมีจำนวนแถบ (band) และแบบอย่างของแถบที่เป็นลักษณะของโครงโน้มโน้มนั้นๆ (สุมิตร, 2537) จะนับการศึกษาการโครงสร้างของปลาค้อให้ชัดเจนมากยิ่งขึ้น ซึ่งผลการศึกษาในครั้งนี้จะทำให้งานด้านอนุกรรมวิทยาของปลาค้อมีความสมบูรณ์ยิ่งขึ้น ตลอดจนเป็น

ข้อมูลสำคัญในเชิงความหลากหลายทางชีวภาพที่จะใช้เป็นข้อมูลพื้นฐานในการศึกษาทางด้าน
วิวัฒนาการและงานค้านอื่นต่อไป

วัตถุประสงค์ของการศึกษา

1. เพื่อศึกษาลักษณะโครงโน้มของปลาค้อในสกุล *Schistura* บางชนิดในจังหวัดเชียงใหม่
2. เพื่อเปรียบเทียบcarri ไทยปีของปลาค้อในสกุล *Schistura* บางชนิดในจังหวัดเชียงใหม่
3. เป็นข้อมูลพื้นฐานเพื่อสนับสนุนงานค้านอื่นๆ ของกรมวิชาการ

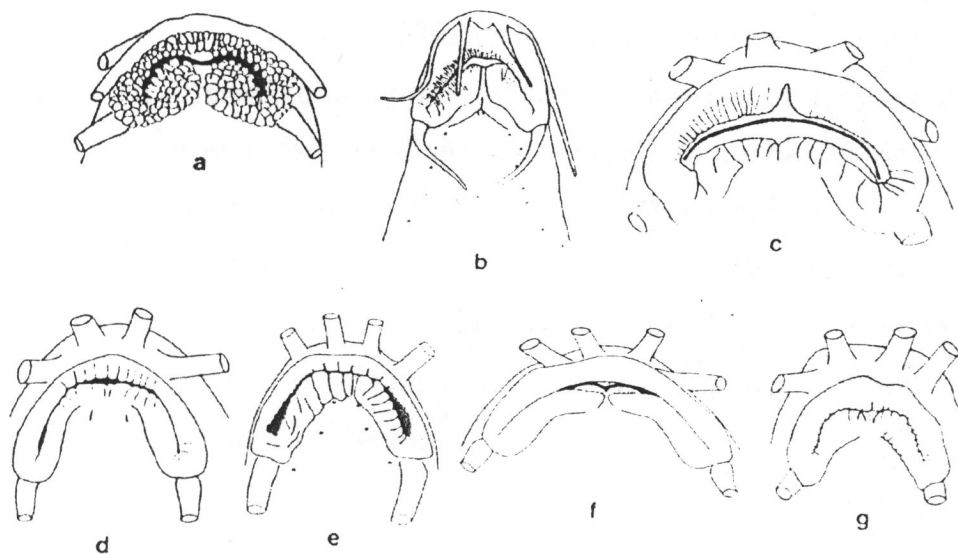
บทที่ 2

ทบทวนเอกสาร

การจัดหมวดหมู่ทางอนุกรมวิธานของปลาค้อสกุล *Schistura*

ปลาค้อสกุล *Schistura* อยู่จัดอยู่ในวงศ์ Balitoridae อยู่ในวงศ์ย่อย (subfamily) Nemacheilinae มีหัวค่อนข้างกลม ลำตัวเรียวยาว ด้านท้ายของลำตัวแบนข้าง มีเกล็ดแบบ cycloid ซึ่ง มีขนาดเล็กมาก มีเกล็ดที่บริเวณ ลำตัว ที่ขากรรไกรและบนเพดานปากไม่มีฟัน มีช่องเปิดเหงือก ขนาดเล็กอยู่ทางด้านบนของครีบหู หรือมีขนาดปานกลางแผ่นออกทางแนวระนาบเดือน้อย ครีบหู และครีบท้องอยู่ในแนวระนาบมีก้านครีบเดี่ยวเพียงก้านเดียว ที่คอคหางมี adipose-like fin อยู่ในบาง ชนิด มีกระดูก prepalatine ไม่มีหินตาม (spines) ได้ตา มี Hindw 3 คู่อยู่ใกล้ปาก ที่ตำแหน่ง rostral 2 คู่ และมีที่ตำแหน่ง maxillary 1 คู่ มีปากอยู่ค่อนลงทางด้านล่าง เป็นปลาที่มีขาเด็ก อาศัยอยู่ใน บริเวณน้ำไหลค่อนข้างแรง เป็นลักษณะที่เป็นสาขาย่อยของลำน้ำขนาดใหญ่ สามารถพบได้ในบริเวณ ที่เป็นแหล่งน้ำที่ไม่มีปลาชนิดอื่นอาศัยอยู่เลย เช่น ต้นน้ำของแม่น้ำแม่ คงชั่งเป็นต้นน้ำของแม่น้ำแม่ปิง จะพบเฉพาะปลากลุ่มนี้เท่านั้น ถุงหภูมิของน้ำค่อนข้างตื้อขันเนื่องจากเป็นพื้นที่ที่อยู่สูงกว่าระดับ น้ำทะเลมาก พื้นที่ของน้ำมีลักษณะเป็นกรวด รายหรือหิน พบริเวณที่แม่น้ำแม่ปิง ไทย ลาว กัมพูชา ทาง ตอนใต้ของเวียดนาม ทางตะวันตกของมาเลเซีย และในอินเดียบังเดือน้อย พนว่ามีอยู่บางชนิดที่ อาศัยอยู่ในถ้ำ เช่น *Schistura jarutanini*, *S. oedipus* และ *S. troglochataractus*

ลักษณะเด่นของปลาในสกุล *Schistura* คือ ปากค่อนข้างโถ้ง มีความกว้างมากกว่าความยาว ประมาณ 2.0-3.5 เท่า ริมฝีปากล่างมีร่องแยก (รูป 1) รูปแบบของสีในแต่ละชนิดมีความแตกต่างกัน ปกติมักเป็นสีดำ และมักจะมีແળบดำที่คอคหาง ฐานครีบหลังมักจะมีสีุด 1-2 คู่ ปากครีบหางเป็น แบบ emarginated แต่ในบางชนิดอาจจะเป็น forked (Kottelat, 1990) มีเกล็ดขนาดเล็ก ตำแหน่งของ รูทารอยู่ใกล้ครีบกันมากกว่าครีบท้อง (Rainboth, 1996)



รูป 1 ลักษณะปากของปลาดุกตุน nemacheiline a) *Acanthocobitis*, b) *Neonocmacheilus*, c) *Sectoria*,
d) *Nemacheilus binotatus*, e) *Nemacheilus selangoricus*, f) *Schistura*, g) *Physoschistura*
(ที่มา: Kottelat, 1990)

การจัดลำดับทางอนุกรมวิธาน

| | |
|-------------|--------------------------------------------------------------------------------------------------------------------------------------------------------------------------------------------------------------------------------------------------------------------------------------------------------------------------------------------------------------|
| Order | Cypriniformes |
| Superfamily | Cobitoidea |
| Family | Balitoridae |
| Subfamily | Nemacheilinae |
| Genus | <i>Aborichthys</i> Chaudhuri, 1913 <i>Acanthocobitis</i> Peters, 1861 <i>Nemacheilus</i> Bleeker, 1863 <i>Neonoemacheilus</i> Zhu & Guo, 1985 <i>Physoschistura</i> Banarescu & Nalbant, 1982 <i>Schistura</i> McClelland, 1838 <i>Sectoria</i> Kottelat, 1990 <i>Tuberoschistura</i> Kottelat, 1990 <i>Yunnanilus</i> Nichols, 1925 |
| | ตัดแปลงจาก Kottelat (1990) และ Nelson (1994) |

ปลาค้อสกุล *Schistura* เป็นปลาที่ได้มีการจัดจำแนกถึงระดับ ชนิด (species) ไว้เป็นจำนวนมาก นิยมรายงานว่าในประเทศไทยมีปลาสกุลนี้อยู่ทั้งหมด 29 ชนิด และอีก 2 ชนิดยังไม่ได้รับการจัดจำแนก (ชาวดิต และคณะ, 2540) อย่างไรก็ตามปลาค้อในสกุลนี้หลายชนิดที่ยังไม่สามารถจำแนกชนิดได้อย่างชัดเจน และปลาสกุลนี้มีความแปรปรวนของสีบนลำตัวค่อนข้างมาก

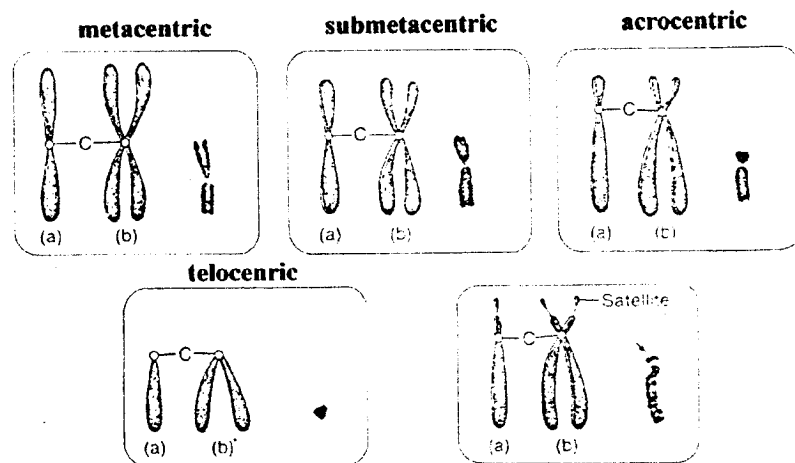
การศึกษาทางอนุกรมวิธานของปลาค้อที่ผ่านมาส่วนใหญ่จะใช้วิธีการพิจารณาจากรูปร่าง และลักษณะสีสันภายนอกของปลา ซึ่งเป็นวิธีที่ใช้กันมานานมากแล้วและในบางครั้งอาจเกิดการผิดพลาดขึ้นได้ โดยเฉพาะเรื่องของสีซึ่งมีความผันแปรได้ง่าย จึงจำเป็นอย่างยิ่งที่จะต้องหารืออื่นๆ ที่จะนำมาช่วยในการจัดจำแนกให้ชัดเจนยิ่งขึ้น

การศึกษาการวิโอลาย (Karyotype)

การวิโอลายเป็นการศึกษาข้อมูลพื้นฐานของโครโนโซมในสิ่งมีชีวิตแต่ละชนิด โดยศึกษาจำนวน และขนาดของโครโนโซมในระยะ metaphase การศึกษาด้านโครโนโซมเป็นวิธีหนึ่งที่ช่วยให้งานด้านอนุกรมวิธานสมบูรณ์ยิ่งขึ้นเนื่องจากลักษณะดังกล่าวเป็นข้อมูลทางพันธุกรรม ซึ่งปัจจัยสิ่งแวดล้อมภายนอก เช่น การกินอาหาร แหล่งที่อยู่อาศัย เป็นต้น จะมีอิทธิพลต่อการวิโอลายเป็นอย่างมาก นอกจากนี้การวิโอลายเป็นลักษณะเฉพาะและคงที่สำหรับสิ่งมีชีวิตแต่ละชนิด จากสาเหตุดังกล่าวการศึกษาการวิโอลายเป็นปัจจอนสำคัญในการจัดจำแนกชนิดของปลาค้อได้ และข้อมูลที่ได้ยังให้ความกระชับเกี่ยวกับระดับความสัมพันธ์ระหว่างชนิดของสิ่งมีชีวิตที่อยู่ในระดับที่ใกล้ชิดกันหรือห่างกัน และความสัมพันธ์ของสิ่งมีชีวิตชนิดเดียวกันแต่มีแหล่งที่อยู่อาศัยต่างๆ สภาพภูมิศาสตร์ที่แตกต่างกันได้ (White, 1973)

การจัดทำการวิโอลาย หมายถึง การนำเอาโครโนโซมแต่ละอันจากเซลล์ในระยะ metaphase (โดยอาศัยจากเซลล์ใดเซลล์หนึ่งเท่านั้น) มาเรียงเป็นคู่ homologous เรียงตามลำดับจากใหญ่จนถึงเล็ก การวางแผนโครโนโซมของโครโนโซมที่พับโคบทั่วไปจะมีอยู่ 4 แบบ คือ metacentric (m) เป็นโครโนโซมที่มีแขนทั้งสองข้างยาวเท่ากัน submetacentric (sm) เป็นโครโนโซมที่มีแขนทั้งสองข้างไม่เท่ากัน acrocentric (a) มี centromere อยู่ค่อนไปทางปลายของโครโนโซม นอกจากนี้ยังอาจจะพบตำแหน่งรอยคอคุกคุดทุติกูมิ (secondary constriction) บนแห่งโครโนโซมในตำแหน่งที่คงที่ ในโครโนโซมนางแห่งตำแหน่งของรอยคอคุกคุดทุติกูมิอยู่ค่อนไปทางปลายด้านใดด้านหนึ่งของแห่ง ทำให้ปรากฏเป็นโครงสร้างที่มีลักษณะเป็นตั้งรูปร่างกลมหรือรีลี่อยู่ที่ปลายแห่งโครโนโซม เรียกว่า satellite (รูป 2) นอกจากนั้นยังมีการหาค่า fundamental number (FN หรือ NF) ซึ่งเป็นตัวเลขที่เกิดจากผลรวมของแขนของ

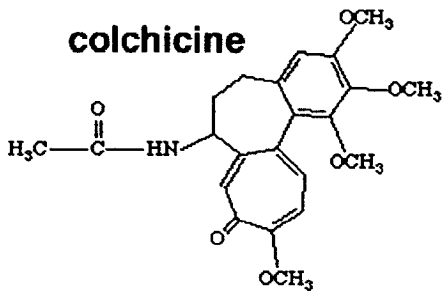
โครโนโซมทุกอันใน 1 เซลล์ ค่านี้นิยมที่จะหาไว้เป็นคุณสมบัติประจำของสิ่งมีชีวิตแต่ละชนิด การทำการไฮโลไฟป์ต้องมีการย้อมสีโครโนโซมโดยใช้สีประเภทย้อมดีกรีคนิวคลิอิก เช่น สี orcein, carmine และ Giemsa จะทำให้โครโนโซมดีกีสีเข้มตลอดแท่ง การย้อมเช่นนี้สามารถบอกจำนวนและชนิดของโครโนโซมประจำสิ่งมีชีวิตชนิดนั้นได้ (อมรฯ, 2536)



รูป 2 ลักษณะรูปร่างของโครโนโซมแบบต่างๆ ตามตำแหน่งของ centromere

a) chromatid, b) chromosome c) centromere (ที่มา: วิสุทธิ์, 2533)

การศึกษาการไฮโลไฟป์จำเป็นต้องใช้สารที่มีคุณสมบัติในการยับยั้งการทำงานของสปินเดลไฟเบอร์ (spindle fiber) ที่ประกอบด้วยไมโครทิบูล (microtubule) ทำให้เซลล์หยุดการแบ่งตัวอยู่ในระยะ metaphase ซึ่งสารที่ใช้กันมีหลายชนิด ได้แก่ โคลซิมิด (colcimide) โคลชิซิน (colchicine) เป็นต้น โดยสารที่เลือกใช้ในการศึกษาครั้งนี้คือ โคลชิซินซึ่งเป็นสารประกอบ alkaloid (รูป 3) ที่สกัดจากพืชสกุล Colchicum ซึ่งโคลชิซินทำหน้าที่ขัดขวางการแบ่งเซลล์ โดยยับยั้งการสร้าง spindle fiber ซึ่งทำหน้าที่ดึงโครโนโซมไปยังขั้วของเซลล์ ดังนั้น โครโนโซมจึงไม่ถูกดึงไปที่ขั้วทั้งสองของเซลล์ ทำให้โครโนโซมหยุดอยู่ที่ระยะ metaphase ซึ่งเป็นระยะที่โครโนโซมมีการขาดตัวส่วนที่สุก (หัคนารี, 2539; นิตย์ศรี, 2541)



รูป 3 สูตรโครงสร้างของโคลชิซิน (ที่มา: Geocities, Nodate)

ประมาณปี ค.ศ. 1970 เป็นต้นมา การย้อมสีแห่งโครโนมได้มีการพัฒนาอย่างมาก มีการค้นพบวิธีการย้อมสีโครโนมแบบใหม่ๆ ซึ่งวิธีการเหล่านี้ทำให้เกิดແບຕາມຂາວງຂອງแห่งโครโนม เเริกว่า ແບຕາມໂຄຣໂໂໝມ ໂຄຣໂໂໝມແຕ່ລະແທ່ມີຈຳນວນແບຕາມແບບຍ່າງຂອງແບຕາມທີ່ເປັນລັກຂະພະເພາະຂອງໂຄຣໂໂໝມນັ້ນๆ ແລະ ແບຕັດກຳລ່າວໄນ່ເປັນແປ່ງໄນ່ວ່າຈະນຳໂຄຣໂໂໝມນັ້ນๆ ມາຈາກເຊລື່ອໜິດໄດ້ (ສຸມືຕຣາ, 2537)

การย้อม Q-banding เป็นวิธีการย้อมແບຕາມໂຄຣໂໂໝມວິທີແຮກທີ່ນັບເປັນຫຼຸດເຮັມຕົ້ນຂອງວິທີກາຍໝອນແບຕາມໂຄຣໂໂໝມຄົ້ນພັນໂຄຍນັກເຊລື່ອພັນຫຼຸດສາສຕຣ໌ອ Caspersson ໂດຍການນຳໂຄຣໂໂໝມທີ່ຖືກທຳໄຫ້ຄົງສກາພແລ້ວມາຍ້ອນຄັວຍສີຟຸລູອໂຣໂຄຣມ (fluorochrome) ສີຟຸລູອໂຣໂຄຣມເປັນສີທີ່ມີການເຮືອແສງ (fluorescence) ເມື່ອກະທບກັນຮັງສີອັດຕາໄວໂໂໂເຕ ສີທີ່ນີ້ຍັນໃຊ້ໃນກາຍໝອນ Q-banding ຄື່ອ ອວິນາຄຣິນ (quinacrine) ນອກຈາກນີ້ສາມາຮາໃຊ້ຟຸລູອໂຣໂຄຣມອື່ນໆເຊັ່ນ quinacrine mustard, 33258 Hoechst ໄດ້ເຊັ່ນກັນ ເມື່ອນຳໂຄຣໂໂໝມດັດກຳລ່າວນາຕຽວຈຸດ້ວຍກຳລົງຈຸລທຣຣັນຟຸລູອອຣເສເຫັນຕີ (fluorescent microscope) ບຣິວເພທີຕິດສີຟຸລູອໂຣໂຄຣມຈະປ່າກຸມແບຕາມຂາວງຂອງແທ່ງໂຄຣໂໂໝມ ກາຍຕິດສິນແທ່ງຂອງໂຄຣໂໂໝມຈະບັນກັນຄວາມແຕກຕ່າງຂອງປຣິນາພຂອງຄູ່ເປັສ ໄດ້ແກ່ A-T ແລະ C-G ຂອງ DNA ສ່ວນທີ່ມີ A-T ນາກຈະຕິດສີເຂັ້ມງວ່າສ່ວນທີ່ມີ C-G ນາກ ນອກຈາກນີ້ຍັງຈາກບັນກັນການເຮືອແສງຕົວອອງເປັສ ແລະ ປຣິນາພຂອງໂປຣຕິນທີ່ໂຄຣໂໂໝມສ່ວນນັ້ນๆ ດ້ວຍ ເຮັດແບຕາມໂຄຣໂໂໝມນີ້ວ່າ ແບຕົວ (Q-banding ຮີ່ອ Quinacrine bands) (ວິສຸທີ່, 2533; ສຸມືຕຣາ, 2537; ອມຣາ, 2540)

การຍ້ອນ G-banding (Giemsa bands) ກາຍ້ອນວິທີນີ້ຈະຍ້ອຍໂຄຣໂໂໝມຕົວເຫັນໄໝນຍ້ອຍໂປຣຕິນຄື່ອ Trypsin ໂດຍອາສັບຫລັກການທີ່ສ່ວນຕ່າງໆຂອງໂຄຣໂໂໝມແຕ່ລະແທ່ມີການຈັດຕົວຂອງໂຄຣມາຕິນ (chromatin) ແຕກຕ່າງກັນ ບຣິວເພທີມີໂຄຣມາຕິນຈັດຕົວກັນຫາແນ່ນບຣິວເພນັ້ນໂປຣຕິນຈະຖືກຍ້ອຍອອກນ້ອຍ ເມື່ອຍ້ອນຄັວຍສີ Giemsa ບຣິວເພນັ້ນຈະຕິດສີເຂັ້ມ ສ່ວນຂອງໂຄຣໂໂໝມທີ່ໂຄຣມາຕິນຈັດຕົວກັນໄມ່ຫາແນ່ນບຣິວເພນັ້ນໂປຣຕິນຈະຖືກຍ້ອຍອອກໄປນາກ ເມື່ອຍ້ອນຄັວຍສີ Giemsa ຈະຕິດສິຈາງ ເກີດເປັນ

band ซึ่งมีลักษณะเฉพาะบนโครโนไซม์แต่ละคู่ที่เป็น homologous chromosome กัน (วิสุทธิ์, 2533)

การย้อม C-banding (Constitutive heterochromatin bands) การย้อมวิธีนี้จะทำให้เกิด denature DNA ของบริเวณที่ไม่ใช่ C-banding ด้วยกรด (HCl) และด่าง (NaOH หรือ Ba[OH]₂) นอกจากนี้การนำไป incubate ใน Saline Sodium Citrate (SSC) ที่ทำให้เกิดการทำลาย DNA เป็นชิ้นเล็กๆ และหลุดลงไปในสารละลายน้ำ ส่วนกลไกที่ช่วยไม่ให้ส่วน C-band ถูก denature ไปด้วยนั้นยังไม่ทราบแน่ชัด แต่พบว่าบริเวณนี้มี nonhistone protein จับกับ satellite DNAs อยู่ซึ่งอาจเป็นสาเหตุให้เกิดการต้านทานต่อกรดและด่างที่ใช้ในกระบวนการย้อม C-banding (วัชรี, 2541) จากนั้นย้อมด้วยสี Giemsa ซึ่งสีชนิดนี้จะย้อมติดกรดนิวคลีอิก และพบว่าโครโนไซม์มุนย์ตัวแห่ง centromere ของ autosome และแขนข้างยาวของโครโนไซม์ Y ทั้งหมดติดสีน้ำเงินเข้ม (อมรา, 2536)

นอกจากนี้ยังมีเทคนิคการศึกษาโครโนไซม์โดยใช้สีทึบต่างไปจากสี Giemsa เช่น เทคนิค NOR banding (Silver-staining for Nucleolus Organizer Region) จะย้อมติดบริเวณ Nucleolus Organizer Region (NOR) ซึ่งจะอยู่บริเวณใกล้ satellite เทคนิคนี้จะใช้สารละลายน้ำ silver nitrate เป็นสารย้อมโครโนไซม์ แทนที่ปราภูมิเรียก NOR-band เรียกเทคนิคนี้ว่า silver (NOR) staining พบว่าโครโนไซม์ที่มี satellite (ปลายตั้ง โครโนไซม์ที่พบปลายแขนข้างสั้น) จะเป็นโครโนไซม์ที่มีตำแหน่งของ ribosomal gene (rDNA) ปราภูมิอยู่ โดยที่ rDNA จะอยู่บริเวณใกล้ satellite ซึ่งเป็นตำแหน่งของ nucleolus organizer region (NOR) (อมรา, 2536; อมรา, 2540)

การศึกษาการไฮป์ของปลาทำกันอย่างกว้างขวางในปลากว่า 2000 ชนิด พบว่าจำนวนโครโนไซม์ของปลาแต่ละชนิดมีความแตกต่างกันในช่วงกว้าง โดยมีจำนวนโครโนไซม์ต่าที่สุดเท่ากับ 12 แท่ง ในปลา *Gonostoma bathyphilum* ซึ่งอยู่ในวงศ์ Gonostomatidae และปลาที่มีจำนวนโครโนไซม์มากที่สุดเท่ากับ 250 แท่ง ซึ่งพบในวงศ์ของปลาสเตอร์เจียน (family Acipenseridae) จำนวนโครโนไซม์ของต้นตระกูลปลาปักชuhnันเท่ากับ 48-52 (Ohno, 1970 อ้างตาม อุทัยรัตน์, 2538) สำหรับปลาพื้นเมืองของไทยนั้นมีการศึกษาการไฮป์ไว้อย่างน้อย 34 ชนิด (9วงศ์) (อุทัยรัตน์, 2538)

การศึกษาการไฮป์ของปลาที่ได้มีการศึกษาทั้งในปลาทะเล และปลาน้ำจืด Ida *et al.* (1986) ได้ทำการศึกษาการไฮป์ของปลาตาม 2 ชนิดคือ *Chlamydoselachus anguineus* มีจำนวนโครโนไซม์ 2n=100 カリไฮป์ประกอบด้วย metacentric หรือ submetacentric chromosome 6 คู่ (ขนาด 3-8 μm) และ acrocentric chromosome 44 คู่ (ขนาด 1-7 μm) ส่วน *Heterodontus japonicus* มีจำนวนโครโนไซม์ 2n=102 カリไฮป์ประกอบด้วย metacentric หรือ submetacentric chromosome 5 คู่ (ขนาด 4-10 μm) และ acrocentric chromosome 46 คู่ (ขนาด 1-8 μm)

การศึกษาคริโอล่าไทยปีในปลาหน้าจีดมีการศึกษากันไว้ค่อนข้างมาก ได้แก่ ปลาอันดับ Perciformes วงศ์ Channidae ปลาในวงศ์นี้มีจำนวนโครโนโซมส่วนมากอยู่ในช่วง $2n=32$ ถึง $2n=44$ และมีบางชนิดมีจำนวนโครโนโซมอยู่ในช่วง $2n=78$ ถึง $2n=112$ ลักษณะคริโอล่าไทยปีประกอบไปด้วยโครโนโซมแบบ metacentric, submetacentric และ telocentric ซึ่งโครโนโซมแบบ telocentric จะพบมากที่สุด และ NF มีค่าอยู่ในช่วง 46 ถึง 116 (ธวัช และวิเชียร, 2534; Banerjee *et al.*, 1988)

ปลาอันดับ Beloniformes ในวงศ์ Oryziidae ที่มีการศึกษาคริโอล่าไทยปีแล้วมีจำนวนโครโนโซมอยู่ในช่วง $2n=36$ ถึง $2n=48$ และ NF มีค่าอยู่ในช่วง 48 ถึง 96 (Uwa, 1986)

ปลาอันดับ Cypriniformes ในวงศ์ Siluridae ที่มีการศึกษาคริโอล่าไทยปีแล้วมีจำนวนโครโนโซมอยู่ในช่วง $2n=40$ ถึง $2n=92$ ลักษณะคริโอล่าไทยปีประกอบไปด้วยโครโนโซมแบบ metacentric, submetacentric, acrocentric และ telocentric และ NF มีค่าอยู่ในช่วง 86 ถึง 106(ธวัช, 2534; Nayyar, 1966)

ปลาในวงศ์ Cyprinidae เป็นปลาที่มีการศึกษาไว้ค่อนข้างมากเพราเป็นปลาในวงศ์นี้มีจำนวนมาก คริโอล่าไทยปีของปลาในวงศ์นี้มีโครโนโซมอยู่ในช่วง $2n=50$ ถึง $2n=166$ ซึ่งปลาในวงศ์นี้ที่มีการศึกษาคริโอล่าไทยปีไว้แล้วนั้นส่วนมากจะมีจำนวนโครโนโซมเท่ากับ $2n=50$ ลักษณะคริโอล่าไทยปีประกอบไปด้วยโครโนโซมแบบ metacentric, submetacentric, acrocentric และ telocentric และ NF มีค่าอยู่ในช่วง 76 ถึง 238 (Magtoon and Arai, 1990; Magtoon and Arai, 1994; Minrong *et al.*, 1996)

ปลาในวงศ์ Cobitidae ที่มีการศึกษาได้แก่ปลา *Botia dario* พบว่ามีจำนวนโครโนโซม $2n=98$ โครโนโซมนิขนาค $0.66-2.17 \mu\text{m}$ คริโอล่าไทยปีประกอบด้วย $16\text{m}+3\text{sm}+30\text{t}$ และสำหรับการศึกษาคริโอล่าไทยปีของปลาในวงศ์ Balitoribae (เดิมถูกจัดอยู่ในวงศ์ Cobitidae) มีการศึกษาในปลาค้อสกุล *Nemacheilus* 2 ชนิดในอินเดีย พบว่า *N. aureus* มีจำนวนโครโนโซม $2n=50$ ซึ่งโครโนโซมนีขนาดอยู่ระหว่าง $0.62-2.19 \mu\text{m}$ คริโอล่าไทยปีประกอบด้วย $14\text{m}+2\text{sm}+9\text{t}$ ถู และ NF=82 และ *N. savona* มีจำนวนโครโนโซม $2n=36$ ซึ่งโครโนโซมนิขนาคอยู่ระหว่าง $0.8-3.26 \mu\text{m}$ ในปลาเพศผู้และ $0.7-2.56 \mu\text{m}$ ในปลาเพศเมีย คริโอล่าไทยปีประกอบด้วย $10\text{m}+3\text{sm}+1\text{a}+4\text{t}$ ถู และ NF=64 (Khuda-Bukhsh *et al.*, 1986) ต่อมา Collares-Pereira *et al.* (1995) ศึกษา *N. barbatulus* รายงานว่ามีจำนวนโครโนโซม $2n=50$ แต่ไม่ได้กล่าวไว้ว่ามีการคริโอล่าไทยปีแบบใด

สำหรับการศึกษาโครโนโซมของปลาโดยการข้อมูลนี้ วิธีที่นิยมใช้กันมากคือการข้อมูล nucleolus organizer region (NOR) ที่ข้อมูลด้วย silver nitrate ซึ่งสีข้อมูลจะติดโครโนโซมตรงบริเวณ 18S และ 28S ribosomal RNA (Klinkhardt, 1998) ซึ่งมีการศึกษาในปลาแล้วไม่น้อยกว่า 200 ชนิด (Gold *et al.*, 1990) Uwa and Ojima (1981) ได้ศึกษา NOR band ในปลา *Oryzias latipes* พบว่ามี

โครโน่โน้มขนาดเล็กแบบ submetacentric 1 คู่ มี NOR band อ่ายู่ที่แขนข้างสันของโครโน่โน้มคู่นี้ หลังจากนั้น Takai and Ojima (1986) ได้ศึกษาปลาประมาณ 40 ชนิด ซึ่งประกอบด้วยปลาในวงศ์ Cyprinidae, Pomacentridae และปลากลุ่มอื่นๆ ศึกษาโดยใช้ silver staining technique ทำให้ทราบว่า ปลาส่วนมากมี NOR band ขนาดเล็กจำนวน 1 คู่ แต่ในกุ่มปลาตะเพียนหลายชนิดจะมี NOR band มากกว่า 1 คู่ ซึ่งจะพบอยู่ที่แขนข้างสันของโครโน่โน้ม และกุ่มปลาตะเพียนบางชนิดก็มี NOR band ขนาดใหญ่ จำนวนของ NOR band และตำแหน่งของ NOR band ที่ปรากฏจะบอกให้ทราบถึง ความแตกต่างของปลาแต่ละชนิด ในปีเดียวกัน Magtoon (1986) ศึกษาปลาชิวข้าวสารแคระ (*Oryzias minutillus*) ซึ่งตัวอย่างมาจากกรุงเทพฯ และเชียงใหม่ และ *Oryzias* sp. พบร่วมกับปลาทั้ง 3 ชนิดมี NOR band จำนวน 1 คู่ คือปลาชิวข้าวสารแคระจากกรุงเทพฯ มีจำนวนโครโน่โน้ม $2n=34$ พบรับ NOR band ที่แขนข้างสันของโครโน่โน้มแบบ submetacentric และปลาชิวข้าวสารแคระจาก เชียงใหม่มีจำนวนโครโน่โน้ม $2n=30$ พบรับ NOR band ที่แขนข้างสันของโครโน่โน้มแบบ submetacentric เช่นเดียวกัน ส่วน *Oryzias* sp. มีจำนวนโครโน่โน้ม $2n=48$ พบรับ NOR band ที่แขน ข้างสันของโครโน่โน้มแบบ acrocentric นอกจากนี้ Uwa (1986) ได้ศึกษาปลาชิวข้าวสารน้ำกรร้อย (*O. melastigma*) และปลาชิวข้าวสารชาว (*O. javanicus*) พบร่วมกับโครโน่โน้ม $2n=48$ เหมือน กัน และพบรับ NOR band ที่โครโน่โน้มแบบ acrocentric จำนวน 1 คู่ เช่นเดียวกันทั้ง 2 ชนิด และในปี เดียวกัน Uwa and Magtoon (1986) ศึกษา NOR band ในปลา *O. curvinotus* พบรับ NOR band 1 คู่ ที่ โครโน่โน้มแบบ acrocentric และในปลา *O. luzonensis* มี NOR band 1 คู่ ซึ่งจะพบในโครโน่โน้ม แบบ submetacentric ต่อมา Garcia et al. (1995) ศึกษาปลา *Cynolebias adloffii* พบรับ NOR band 1 คู่ ที่ ตำแหน่ง terminal ของโครโน่โน้มคู่ที่ 6 ปลา *C. affinis* พบรับ NOR band 2 คู่ โดย NOR band คู่แรก พบรับตำแหน่ง terminal ของโครโน่โน้มคู่ที่ 3 ที่เหลือพบรับที่แขนข้างสันของโครโน่โน้มคู่ที่ 7 ซึ่ง ตำแหน่งดังกล่าวพบ C-heterochromatic เช่นเดียวกับการข้อมูลแบบ C-banding ปลา *C. duraznensis* พบรับ NOR band 3 คู่ ซึ่ง พบรับที่โครโน่โน้มคู่ที่ 7 บริเวณ terminal จำนวน NOR band 1 คู่ และพบรับที่โครโน่โน้มคู่ที่ 10 จำนวน NOR band 2 คู่ และปลา *C. gymnoventris* พบรับ NOR band ที่โครโน่โน้มคู่ที่ 11 บนแขนข้างสันของโครโน่โน้ม นอกจากนี้ Jankun et al. (1998) ได้ศึกษาปลา northern pike (*Esox lucius*) พบรับ NOR band บริเวณใกล้กับตำแหน่งของ centromere ของโครโน่โน้ม คู่ที่ 11 ซึ่งทราบได้จากการข้อมูลแบบ C-band หลังจากนั้นในปีเดียวกัน Woznicki et al. (1998) ศึกษาปลา *Salmo trutta morpha lacustris* จากทะเลสาบ Wdzydze พบรับ NOR band ที่แขนข้างสันของ โครโน่โน้มคู่ที่ 11 ซึ่งอยู่ติดกับบริเวณของ heterochromatin ซึ่งบริเวณนี้เป็นจุดที่การข้อมูลแบบ C- banding ต่อมากันที่มา (2542) ได้ทำการศึกษาการกระจายของบริเวณ NOR ของปลาตะเพียนทราย (*Puntius brevis*), ปลาแก้มเขียว (Systomus orphoides), ปลาตะเพียนขาว (*Barbodes gonionotus*), และ

ปลาตะพาก (*Hypsibarbus wetmorei*) พบว่าปลาทั้ง 4 ชนิดมีจำนวนโครโนไซม $2n=50$ เหมือนกัน แต่ชนิดของโครโนไซม จำนวนและตำแหน่งของ NOR band แตกต่างกันคือ ปลาตะเพียนกรายมี คาโรโลไทป์แบบ $2m+2sm+2a+44t$ และมี NOR band 1 คู่ พบที่ส่วนปลายสุดของแขนงสันของ โครโนไซมแบบ acrocentric ปลาเก้มข้ามมีคาโรโลไทป์แบบ $12m+20sm+4a+14t$ และมี NOR band 1 คู่ พบที่ส่วนปลายสุดของแขนงสันของโครโนไซมแบบ submetacentric ปลาตะเพียนขาวมี คาโรโลไทป์แบบ $6m+16sm+6a+22t$ และมี NOR band 2 คู่ พบที่ส่วนปลายสุดของแขนงสันของ โครโนไซมแบบ submetacentric 1 คู่ และส่วนปลายสุดบริเวณ centromere ของโครโนไซมแบบ telocentric 1 คู่ และปลาตะพากมีคาโรโลไทป์แบบ $12m+12sm+4a+22t$ และมี NOR band 1 คู่ พบที่ ส่วนปลายสุดของแขนงสันของโครโนไซมแบบ telocentric

การศึกษาโครโนไซมโดยการข้อมูลแบบ C-banding นี้ ได้ทำการศึกษาในปลาไว้แล้วมาก กว่า 50 ชนิด (Gold *et al.*, 1990) Gregory *et al.* (1980) ทำการศึกษา C-band ในปลาทะเล 3 ชนิด พบ ว่าปลา silver perch (*Bairdiella chrysura*) จะปรากฏแถบสีบริเวณ centromere ในทุกโครโนไซมแต่ มีโครโนไซมแบบ telocentric 1 คู่คิดสีตลอดทั้งแท่ง ปลา sheepshead (*Archosargus probatocephalus*) มีโครโนไซมแบบ telocentric และ acrocentric มาก และมี metacentric ที่มีขนาดใหญ่จำนวน 1 คู่ จากการข้อมูล C-band พบว่าโครโนไซมแบบ acrocentric 3 คู่แรกคิดสีบริเวณ centromere และในคู่ที่ 1 บริเวณแขนงสันพับ satellites นอกจากนั้นโครโนไซมคู่ที่ 10, 11 และ 12 ที่มี heterochromatin ที่แขนงสันของโครโนไซม และสำหรับคู่ที่เหลือคิดสีเฉพาะบริเวณ centromere ในปลา blue striped grunt (*Haemulon sciurus*) โครโนไซมแบบ telocentric ทุกคู่คิดสี บริเวณ centromere ทุกแท่งยกเว้น โครโนไซมแบบ metacentric จะไม่คิดสีในบริเวณ centromere ต่อมมา Uwa and Ojima (1981) ได้ทำการศึกษา C-band ในปลาชัวข้าวสาร (*Oryzias latipes*) พบແນ ดีปราภูมิที่บริเวณ centromere เกือบทุกโครโนไซม ซึ่งได้ผลเช่นเดียวกับ Ojima (1983) ซึ่งศึกษาใน ปลา *Stephanolepis cirrifer*, ปลากินยุง (*Gambusia affinia*), ปลาอมไข่ (*Apogon notatus*), *Carassius auratus auratus* และ *C. a. cuvieri* พบว่าโครโนไซมส่วนใหญ่จะคิดสีบริเวณ centromere หลังจากนั้น Ren *et al.* (1992) ศึกษาปลา Chinese cyprinid จำนวน 10 ชนิด พบว่าปลาบางชนิดมี จำนวน C-band มาก และบางชนิดมี C-band น้อย ซึ่งใช้แยกความแตกต่างของปลาแต่ละชนิดได้ Khuda-Bukhsh and Chakraborty (1994) รายงานการศึกษาในปลาวงจันทร์เทศ (*Cirrhinus mrigala*) และปลาเขี้ยスクเทศ (*Labeo rohita*) ผลปรากฏว่า โครโนไซมส่วนใหญ่จะคิดสีที่ตำแหน่ง centromere แต่ก็มีบางโครโนไซมไม่คิดสีหรือคิดสีตรงส่วนปลายของโครโนไซม หลังจากนั้น Almeida-Toledo *et al.* (1995) พบว่าในปลาช้าง (*Aristichthys nobilis*) จะพบ C-band ชัดเจนเฉพาะที่ ตำแหน่ง interstitial 1 ชุด และ terminal 1 ชุด ที่โครโนไซมคู่ที่ 13 และในปลาลิน

(*Hypophthalmichthys molitrix*) ไม่พบ C-band ในปีเดียวกัน Garcia et al. (1995) รายงานไว้ว่าจาก การข้อมูลโครงโน้มแบบ C-band พบว่าโครงโน้มจะติดสี 3 ตำแหน่งคือ บริเวณ centromere, interstitial และ telomere ในปลา *Cynolebias adloffii* จะติดสีเพียงเล็กน้อยที่บริเวณ centromere และ telomere ปลา *C. affinis* จะข้อมูลติดสีบริเวณ centromere และ telomere อย่างสม่ำเสมอ ปลา *C. duraznensis* พบว่ามีโครงโน้ม 3 คู่ มี C-band ขนาดใหญ่ 3 คู่ ปลา *C. alexandrii* และ *C. gymnoventris* โครงโน้มติดสีเล็กน้อยทั้ง 3 บริเวณคือ centromeric, interstitial และ telomeric ตาม Campos et al. (1997) ศึกษาในปลา *Diplomyater camposensis* และ *D. nahuelbutaensis* พบว่ามี จำนวนโครงโน้ม 2n=56 เท่ากัน แต่ *D. camposensis* มีการไอโซไบเปร์กอนด้วยโครงโน้มแบบ 16m+24as+8a+8t และพบว่าโครงโน้มคู่ที่ 7, 24 และ 25 มีการติดสีแบบ C-banding อย่างชัดเจน โดยที่โครงโน้ม 7 มี C-band ที่แขนของโครงโน้ม 1 ข้าง คู่ที่ 24 มี C-band ตลอดทั้งแท่งของโครงโน้ม และคู่ที่ 25 พบ C-band ที่บริเวณ centromere ส่วนปลา *D. nahuelbutaensis* C-band ที่โครงโน้มคู่ที่ 5, 6 และ 7 ที่บริเวณ centromere นอกจากนั้นยังพบที่โครงโน้มคู่ที่ 23, 24, 27 และ 28 ตลอดทั้งแท่งของโครงโน้ม

สำหรับการข้อมูลแบบ G-banding นั้น มีการศึกษาค่อนข้างน้อยอาจเนื่องจากมีข้อจำกัด หลายประการ ปัจจัยที่เห็นได้ชัดได้แก่ ปลาส่วนใหญ่จะมีจำนวนโครงโน้มค่อนข้างมาก และโครงโน้มมีขนาดเล็ก (Gold et al., 1990) ที่มีการศึกษาไว้บ้างแล้วเช่นปลา *Salmo salar* โดย Purdom (1993) ซึ่งปลาดังกล่าวมีจำนวนโครงโน้ม 2n=58 และผลที่ได้ช่วยทำให้การจับคู่คริโซไบเปร์กอนของโครงโน้มทำได้ง่ายขึ้น ต่อมา Khuda-Bukhsh and Tiwary (1994) ได้ทำการข้อมูลแบบ G-banding ในปลาหนานไทย (*Anabas testudineus*) และปลาเยื่อสกเทศ (*Labeo rohita*) แต่ผลออกไม่ชัดเจน

นอกจากนี้ Medrano et al. (1988) ยังได้ทำการข้อมูลแบบ Q- และ R-banding ในปลาฉุหนา (*Anguilla anguilla*) (อันดับ Anguilliformes), ปลาเก้า (*Epinephelus guttatus*) (อันดับ Perciformes) และปลาทรงเครื่อง (*Labeo bicolor*) (อันดับ Cypriniformes) พบว่าปลาฉุหนาโครงโน้มคู่ที่ 8 เมื่อ ข้อมูลแบบ Q-banding เกิด heteromorphic ที่แขนสั้นของโครงโน้มแบบ submetacentric ซึ่ง บริเวณนี้เกิดแยกส่วนเมื่อข้อมูลแบบ R-banding แต่สำหรับปลาเก้า และปลาทรงเครื่องเมื่อข้อมูลด้วยวิธี Q- และ R-banding ด้วยวิธีเดียวกันไม่พบการติดสี

จุดประสงค์ในการศึกษาคริโซไบเปร์กอนปลาคือสกุล *Schistura* ครั้งนี้นั่งที่จะศึกษาเบริญ เทียนจำนวนชนิด ลักษณะโครงโน้ม และรูปแบบคริโซไบเปร์กอนปลาคือในแต่ละชนิดเพื่อเป็น ความรู้พื้นฐานทางด้าน cytotaxonomy ของปลา

บทที่ 3

อุปกรณ์และวิธีดำเนินการ

การจัดเตรียมตัวอย่าง

1. สถานที่เก็บตัวอย่าง

เก็บที่ลุ่มน้ำสาขาของแม่น้ำปิงในจังหวัดเชียงใหม่จำนวน 11 ลุ่มน้ำสาขา รวมทั้งหมด 55 สถานี (ตาราง 1 และรูป 4)

ตาราง 1 จุดเก็บตัวอย่างปลาต่อทั้งหมด 11 ลุ่มน้ำสาขา

| ชื่อลุ่มน้ำสาขา | อำเภอ | สถานี | ความสูงจากระดับน้ำทะเล (เมตร) |
|-----------------------|----------|-----------------|----------------------------------|
| 1. ลุ่มน้ำแม่ปิงตอนบน | เชียงดาว | ห้วยแม่ชัย | 550 |
| | | ห้วยแม่นะ | 980 |
| | | ห้วยแม่เจหนือ | 760 |
| | | ห้วยแม่แมี | 800 |
| | | น้ำคง | 900 |
| 2. ลุ่มน้ำแม่จัด | พร้าว | ห้วยแม่แพงนอก | 500 |
| | | ห้วยแม่แพงใน | 540 |
| | | ห้วยแม่ป้าน | 500 |
| | | ห้วยแม่ปึง | 650 |
| | | น้ำตกม่อนหินไหล | 800 |
| 3. ลุ่มน้ำแม่แตง | แม่แตง | ห้วยกูบกົນ | 500 |
| | | น้ำแม่เลา | 640 |
| | | ห้วยตันทองหนือ | 550 |
| | | ห้วยตันทองใต้ | 470 |
| | | ห้วยแม่แตง | 700 |

ตาราง 1 (ต่อ)

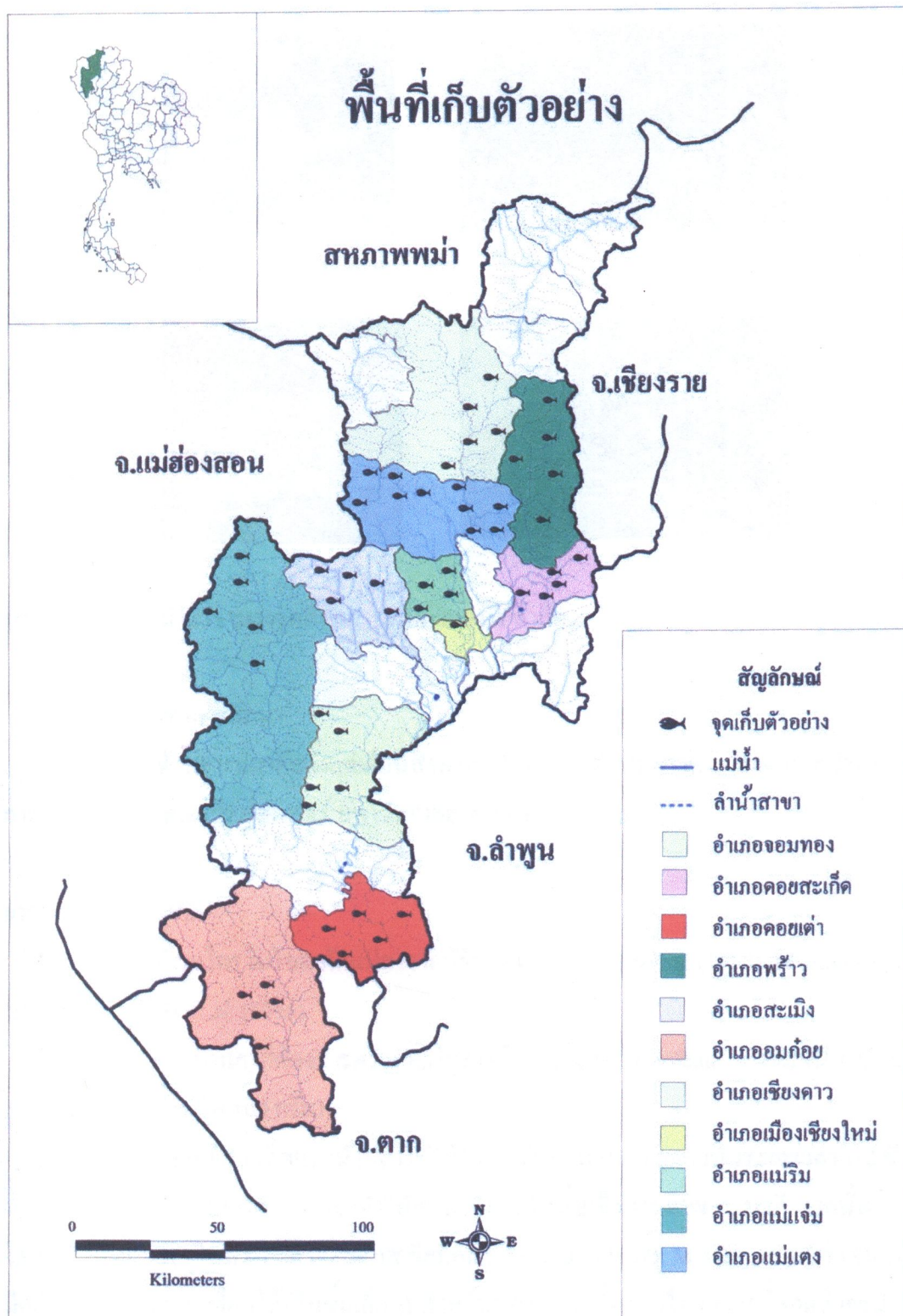
| ชื่อคุณน้ำสาขาอย | อำเภอ | สถานี | ความสูงจากระดับน้ำทะเล (เมตร) |
|------------------------|-----------------|-----------------|----------------------------------|
| 4. คุณน้ำแม่ริม | แม่แตง | น้ำแม่ริม | 600 |
| | | ห้วยน้ำใส | 750 |
| | | ห้วยแม่หลอด | 850 |
| | | ห้วยป่าเปี้ย | 710 |
| | | ห้วยน้ำริน | 630 |
| 5. คุณน้ำแม่ริมตอนกลาง | เมือง และแม่ริม | น้ำแม่สา | 650 |
| | | ห้วยโจ้ | 450 |
| | | ห้วยวงศ์ | 670 |
| | | แม่น้ำชาร | 700 |
| | | ห้วยแม่แซม | 450 |
| 6. คุณน้ำแม่กวาง | ดอยสะเก็ค | ห้วยแก้ว | 800 |
| | | ห้วยกิ่วต่า | 860 |
| | | น้ำแม่กวาง | 700 |
| | | ห้วยมะเกลี้ยง | 1,000 |
| | | ห้วยทรายขาว | 800 |
| 7. คุณน้ำขาน | สะเมิง | น้ำแม่ขาน | 750 |
| | | ห้วยยอดมอง | 640 |
| | | ห้วยอ้อ | 490 |
| | | ห้วยกาด | 610 |
| | | ลำธารแม่ขาน | 800 |
| 8. คุณน้ำแม่ปีงตอนล่าง | ดอยเต่า | ห้วยแม่บวนได้ | 380 |
| | | ห้วยแม่บวนเหนือ | 360 |
| | | น้ำแม่เตียน | 340 |
| | | ห้วยโน় | 420 |
| | | ห้วยทุ่ง | 380 |

ตาราง 1 (ต่อ)

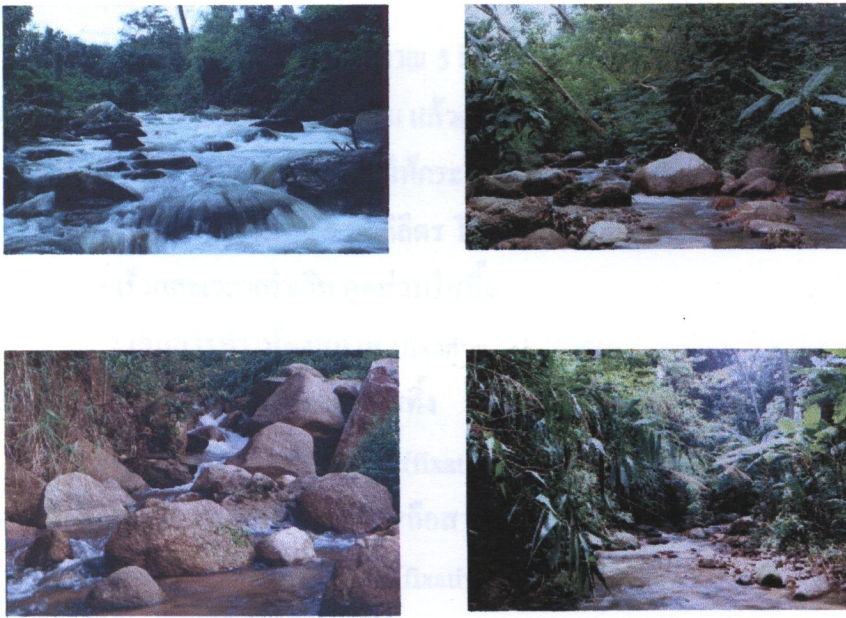
| ชื่อสุ่มน้ำสาขาอย่าง | อําเภอ | สถานี | ความสูงจากระดับน้ำทะเล (เมตร) |
|----------------------|----------|----------------------|----------------------------------|
| 9. สุ่มน้ำแม่กลาง | จอมทอง | ห้วยสนแอบ | 680 |
| | | น้ำแม่เตี้ยะ | 340 |
| | | น้ำแม่กลาง | 540 |
| | | น้ำแม่พง | 540 |
| | | น้ำแม่หอย | 500 |
| 10. สุ่มน้ำแม่แจ่ม | แม่แจ่ม | น้ำตกห้วยทรายขาว | 1,000 |
| | | น้ำแม่ปาน | 500 |
| | | ห้วยแม่ศึก | 490 |
| | | ห้วยน้ำริน | 480 |
| | | ห้วยพุย | 500 |
| 11. สุ่มน้ำแม่ตื่น | องครักษ์ | น้ำแม่ตื่น | 700 |
| | | ห้วยม่อนของ | 830 |
| | | น้ำตกนางนอน | 950 |
| | | ห้วยนางนอน | 800 |
| | | ลำธารย้อยน้ำตกนางนอน | 900 |

2. การเก็บตัวอย่าง

เนื่องจากจุดเก็บตัวอย่างเป็นลำน้ำสาขาซึ่งมีน้ำไหลตลอดเวลา (รูป 5) และปลาไม่ขนาดเล็กจึงขับปลาโดยใช้ชุดอุปกรณ์ซึ่งติดปลาที่มีกำลังไฟฟ้า เพื่อให้ปลาสลบจากน้ำจนใช้สิ่งทักปลาที่ให้ไปตามน้ำพักไว้ให้พื้น แล้วจึงเลือกปลาชนิดที่มีจำนวนไม่ต่ำกว่า 30 ตัว จากสุ่มน้ำสาขาต่างๆ กลับมาเลี้ยงที่ห้องปฏิการภาควิชาชีววิทยา คณะวิทยาศาสตร์ มหาวิทยาลัยเชียงใหม่ เสียงปลาตัวอย่างไว้ในตู้กระจกให้ออกซิเจนตลอดเวลา และให้อาหารปลาวันละ 2 ครั้งด้วยอาหารปลาที่มีขายทั่วไป พักปลาไว้อย่างน้อย 3 สัปดาห์ จึงนำมาทำการทดลอง



รูป 4 จุดเก็บตัวอย่างปลาค้อจากกลุ่มน้ำสาขาของแม่น้ำปิงในจังหวัดเชียงใหม่



รูป 5 ลักษณะลุ่มน้ำสาขาบางจุดที่ทำการเก็บตัวอย่างปลาค้อ

3. เวลาที่ทำการศึกษา

เก็บตัวอย่างปลาค้อตั้งแต่เดือนสิงหาคม 2542 ถึงเดือนมกราคม 2544 และนำมาศึกษาที่ภาควิชาชีววิทยา คณะวิทยาศาสตร์ มหาวิทยาลัยเชียงใหม่

การศึกษาการอิ่มตัว

1. การเตรียมโครโนไซน์ ดัดแปลงจากวิธีของ Chen and Ebeling (1968), Magtoon and Arai (1990) และ Nanda *et al.* (1995)

1.1 นำปลาที่ต้องการตรวจหาโครโนไซน์มาฉีดด้วย colchicine เป็นขั้น 0.01% (นิด 0.3 มิลลิลิตรต่อน้ำหนัก 100 กรัม)

1.2 หลังจากฉีดแล้วนำปลาไปไว้ในตู้เย็นอุณหภูมิ室温 เป็นระยะเวลา 1-2 ชั่วโมง

1.3 นำปลาดังกล่าวมาทำให้สลบโดยแช่ในน้ำแข็งประมาณ 5 นาที จากนั้นจึงผ่าเอ่าไถ และเหงือกน้ำแข็งในสารละลายโพแทสเซียมคลอไรด์ (KCl) 0.075 M นาน 10 นาที (จะมีฟองน้ำฟูๆ ที่มีค่าตัดสับไถ และเหงือกให้เป็นชิ้นเล็กๆ) สำหรับปลาทุกตัวที่ผ่าเอ่าไถ และเหงือกแล้วจะนำมาราขีและอัดทุกอย่างที่ใช้ในการจำแนกชนิด และทำการติดหมายเลขไว้ แล้วนำไปเก็บรักษาไว้ใน 10% formalin

1.4 คุณไถ และเหงือกในสารละลายน้ำเก็บไว้ในหลอด centrifuge เมื่อครบ 10 นาที จึงนำไปหมุนเร็วๆ ความเร็ว 1,000 รอบ/นาที เป็นเวลา 8-10 นาที แล้วคุณส่วนใสทิ้ง

1.5 เติม 0.075 M KCl ปริมาณ 5 มิลลิลิตร อีกครั้งโดยใช้ vortex mixer ช่วยปั่น แล้วนำไปหมุนเหวี่ยงที่ความเร็วและเวลาเท่าเดิม แล้วคูดส่วนใสทิ้ง

1.6 ปั่นด้วย vortex mixer ให้กระจายออกจากกัน แล้วค่อยๆ เติมสารทำให้คงสภาพ (fixative 3:1 (ภาคผนวก ก)) ปริมาณ 5 มิลลิลิตร โดยที่ 1 มิลลิลิตรแรกหยดช้าๆ ทีละหยด แล้วนำไปหมุนเหวี่ยงที่ความเร็วและเวลาเท่าเดิม คูดส่วนใสทิ้ง

1.7 เติมสารทำให้คงสภาพ (fixative 2:1 (ภาคผนวก ข)) 5 มิลลิลิตร แล้วนำไปหมุนเหวี่ยงที่ความเร็วและเวลาเท่าเดิม คูดส่วนใสทิ้ง

1.8 เติมสารทำให้คงสภาพ (fixative 3:1) 5 มิลลิลิตร แล้วจึงนำไปหมุนเหวี่ยงที่ความเร็วและเวลาเท่าเดิม คูดส่วนใสทิ้งให้เหลือสารทำให้คงสภาพอยู่ในหลอดให้น้อยที่สุด

1.9 เติมสารทำให้คงสภาพ (fixative 3:1) ใหม่เพื่อเจือจางส่วนผสมให้เหมาะสมกับการเตรียมสไลด์

2. การเตรียมสไลด์

2.1 วางสไลด์ใหม่ลงบนโต๊ะบริเวณที่เรียบๆ หยดสารทำให้คงสภาพที่เย็นลงบนสไลด์ 1-2 หยด แล้วเช็ดด้วยผ้าก๊อชให้สะอาด

2.2 หยดส่วนผสมของเซลล์กับสารทำให้คงสภาพลงบนสไลด์ 1 หยด

2.3 เมื่อสไลด์แห้งหมดๆ มองเห็นเป็นสีรุ้ง หยดสารทำให้คงสภาพทับลงไปบนหยดเซลล์อีก 1 หยด

2.4 เมื่อสไลด์แห้งสนิทแล้วจึงนำมาตรวจดูบนกล้องจุลทรรศน์แบบ phase contrast เลือกสไลด์ที่มีคุณภาพดีไว้ข้อมูลต่อไป

3. การข้อมูล

วิธีการข้อมูล Giemsa stained

1. นำสไลด์ (จากข้อ 2. การเตรียมสไลด์) มาข้อมูลใน 5 % Giemsa เป็นเวลา 10-15 นาที
2. ล้างสไลด์ด้วยน้ำกลั่น ตั้งทิ้งไว้ให้แห้ง

วิธีการย้อมสีแบบ Q-banding

1. นำสไลด์ (จากข้อ 2. การเตรียมสไลด์) ที่มีอายุระหว่าง 2-7 วัน
2. แช่สไลด์ใน Methanol (absolute, 75% และ 50%) ขึ้นลง 5 นาที (เวลาที่เหมาะสม ได้จากการพนวก ก) ตามลำดับ
3. แช่ในน้ำกลั่น 5 นาที แล้วล้างด้วย McIlvain buffer (pH 7)
4. ข้อมในสารละลาย 10 % Quinacrine 20 นาที
5. ล้างด้วย McIlvain buffer 4 ครั้ง

ปิดคั่ว Cover glass โดยใช้ McIlvain buffer เป็นตัวกลาง แล้วใช้ยาทาเล็บทาตามขอบ Cover glass เพื่อผนึก

วิธีการย้อมสีแบบ G-banding

1. สไลด์ที่ต้องการย้อมควรมีอายุ 1-3 วัน นำไปปอกในตู้อบอุณหภูมิ 80 องศาเซลเซียส นาน 1 ชั่วโมง
2. แช่สไลด์ใน 0.05% Trypsin ที่อุณหภูมิห้องนาน 1-2 วินาที (เวลาและความเข้มข้นที่เหมาะสม ได้จากการพนวก ก)
3. ล้างสไลด์โดยจุ่มผ่าน Weise buffer (pH 7.2)
4. ข้อมใน 5 % Giemsa นาน 10-15 นาที
5. ล้างสไลด์ด้วยน้ำกลั่น ตั้งทิ้งไว้ให้แห้ง

วิธีการย้อมสีแบบ C-banding คัดแปลงจากวิธีของ Gustashaw (1991)

1. สไลด์ที่ต้องการย้อมควรมีอายุ 2-3 วัน นำมาแช่ใน 0.2 N HCl เป็นเวลา 1 ชั่วโมง (เวลาที่เหมาะสม ได้จากการพนวก ก) ที่อุณหภูมิห้อง
2. ล้างผ่านน้ำกลั่นที่อุณหภูมิห้อง ทิ้งให้แห้ง
3. นำสไลด์ดังกล่าวมาแช่ใน 1% Ba(OH)₂ ที่อุณหภูมิ 50 องศาเซลเซียส เป็นเวลา 20-40 วินาที (เวลาและความเข้มข้นที่เหมาะสม ได้จากการพนวก ก)
4. ล้างด้วยน้ำกลั่นอุ่นๆ 2 ครั้ง (แกว่งแรงๆ และล้างทันทีให้หมดตะกอน)
5. แช่ใน 2XSSC (pH 7.0) (ภาชนะ ก) ที่อุณหภูมิ 60 องศาเซลเซียส นาน 1 ชั่วโมง
6. ล้างด้วยน้ำกลั่นที่อุณหภูมิห้อง
7. ข้อมด้วย 5% Giemsa (เตรียมและกรองใหม่) นาน 8-15 นาที

8. ล้างน้ำกลันทิ้งให้แห้งที่อุณหภูมิห้อง

วิธีการย้อมสีแบบ NOR banding คัดแปลงจากวิธีของ Goodpasture and Bloom (1975) ข้างตาม Verma (1989)

1. หยด 2% Gelatin solution 2 หยด และ 50% AgNO₃ solution 4 หยด ผสมกัน หลังจากนั้นหยดลงบนสไลด์ปิดด้วย Cover glass
2. วางสไลด์บน Warmer ที่อุณหภูมิ 70 องศาเซลเซียส ทิ้งไว้จนสารละลายมีสีน้ำตาลทอง (ประมาณ 2 นาที)
3. เอากลีช์ออก และล้างด้วยน้ำกลัน ทิ้งให้แห้งที่อุณหภูมิห้อง

4 การนับจำนวนโครโนโซมของปลาค้อแต่ละชนิดที่ศึกษา

ทำการนับจำนวนโครโนโซมในระยะ metaphase ทั้งหมด 100 เซลล์ของปลาแต่ละชนิดที่ทำการศึกษา โดยทำการนับภายใต้กล้องจุลทรรศน์และใช้ camera lucida ช่วยเพื่อความถูกต้องของจำนวนพระโครโนโซมมีขนาดเด็กมาก เมื่อนับโครโนโซมครบ 100 เซลล์แล้วจึงทำการเปรียบเทียบเป็นเปอร์เซ็นต์ โดยถือตามจำนวนโครโนโซมที่มีเปอร์เซนต์สูงสุดในแต่ละชนิดเป็นจำนวนโครโนโซมของปลาค้อชนิดนั้นๆ

5 เปรียบเทียบแบบสีของโครโนโซม

ทำการเปรียบเทียบแบบสีทั้ง 4 แบบ ได้แก่ Q-banding, G-banding, C-banding และ NOR banding ของปลาทุกชนิดที่ทำการศึกษา

6 การถ่ายรูปโครโนโซม

ใช้กล้องจุลทรรศน์ Olympus BH2 โดยใช้ objective lens ที่มีขนาดกำลังขยาย X100 และ eye piece ของกล้องถ่ายรูปกำลังขยาย X3.5 ถ่ายด้วยฟิล์มขาวดำ (Kodak technical pan film ASA160) โดยเลือกถ่ายรูปโครโนโซมในระยะ metaphase ที่กระจายตัวดี และมีจำนวนโครโนโซมอย่างน้อย 10 เซลล์ของปลาแต่ละชนิด

7 การจัดการวิโภไท

นำฟลัมที่โครโน่โชน์กระชาขด้วยตัวดีและซักเงนที่สุดในแต่ละชนิดมากินคละ 10 เชลล์ นำไปอัดขยาย วัดความยาวของแขนงข้างสัน (Ls) และความยาวของแขนงข้างขวา (Lr) ซึ่งมีหน่วยเป็น ความยาวเริงสันพัธ์ โดยวัดจากตำแหน่ง centromere ไปยังปลายโครโน่โชน์ทั้ง 2 ด้าน คำนวณค่า Centromeric index (CI) = Lr/Lt (โดยที่ Lt = total length) ดัดแปลงจากวิธีของ Chen and Ruddle (1970) และ Chen (1971) เรียงลำดับตามความยาว และแบ่งชนิดโครโน่โชน์ (ดังตาราง 2) ขึ้นๆ โครโน่โชน์โดยอาศัยค่า CI ประกอบกับการข้อมูลแบบ G-banding ที่คล้ายกันมากที่สุด จัดเรียง วิโภไทป์โดยเรียงลำดับจากโครโน่โชน์ที่ยาวที่สุดไปหาครู่ที่สั้นที่สุด

ตาราง 2 การแยกชนิดโครโน่โชน์ป้าค้อโดยใช้ค่า Centromeric index (CI)

| ชนิดโครโน่โชน์ | สัญลักษณ์ | ช่วง Centromeric Index |
|----------------|-----------|------------------------|
| Metacentric | m | 0.5-0.59 |
| Submetacentric | sm | 0.6-0.75 |
| Acrocentric | a | 0.76-0.8 |
| Telocentric | t | มากกว่า 0.8 |

8 การเปรียบเทียบวิโภไทป้าค้อแต่ละชนิด

8.1 จำนวนโครโน่โชน์ของเชลล์ร่างกาย

8.2 ชนิดโครโน่โชน์ (chromosome type)

การตรวจเชื้อวิทยาศาสตร์ (Identification)

การตรวจสอบเชื้อวิทยาศาสตร์ของป้าค้อจะนำตัวอย่างปลาที่เก็บรักษาไว้ใน 10% formalin จากข้อ 1.1 มาทำการตรวจสอบโดยใช้เอกสารของ Smith (1945), Kottelat (1990), Rainboth (1996) และ Kottelat (1998) ดังแสดงในภาคผนวก ก

การจัดกลุ่มความใกล้ชิดของป้าค้อ

จัดกลุ่มความใกล้ชิดป้าค้อโดยใช้ลักษณะภายนอกที่ใช้ในการจัดจำแนกชนิด และใช้ชนิดของโครโน่โชน์ป้าค้อแต่ละชนิด โดยใช้วิธี hierarchical cluster analysis จากโปรแกรม SPSS

บทที่ 4

ผลการศึกษา

1. ผลการสำรวจ และเก็บตัวอย่างปลาค้อ

พบปลาค้อสกุล *Schistura* จากการสำรวจเป็นจำนวนมากจึงเก็บตัวอย่างปลาที่มีชูกชุมจากคุ่นน้ำสาขาของแม่น้ำปิง ระหว่างเดือนสิงหาคม 2542 ถึงเดือนกรกฎาคม 2544 ได้ 11 ชนิด น้ำตรวจสอบเชื้อวิทยาศาสตร์ ตามวิธีในภาคพนวก ฯ ได้ผลดังแสดงในตาราง 3

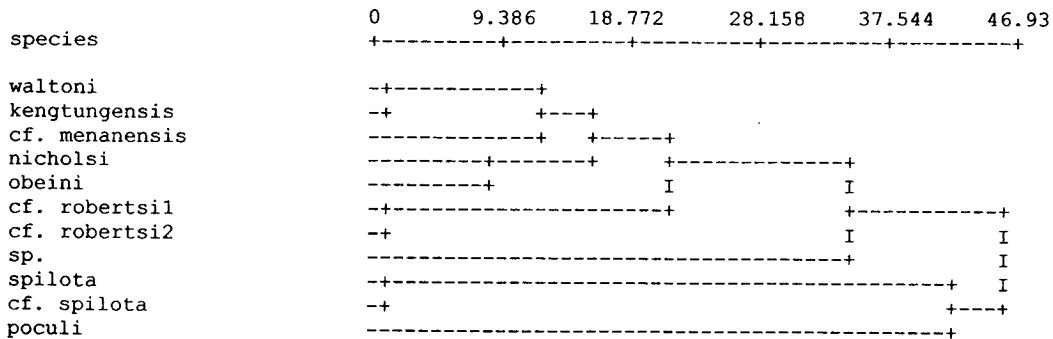
ตาราง 3 ชนิด และแหล่งที่พบปลาค้อที่ใช้ในการศึกษาคริโอล่าปิง

| ชนิดปลาค้อ | คุ่นน้ำ | หมายเหตุ |
|-----------------------------------|-------------------------------|-------------------------|
| <i>Schistura kengtungensis</i> | 6 | 1= คุ่นน้ำแม่ปิงตอนบน |
| <i>Schistura cf. menanensis</i> | 2 | 2= คุ่นน้ำแม่จัด |
| <i>Schistura nicholsi</i> | 11 | 3= คุ่นน้ำแม่แตง |
| <i>Schistura obeini</i> | 1, 3 | 4= คุ่นน้ำแม่ริน |
| <i>Schistura poculi</i> | 1, 2, 3, 4, 5, 6, 7, 8, 9, 10 | 5= คุ่นน้ำแม่รินตอนกลาง |
| <i>Schistura cf. robertsi 1 *</i> | 8 | 6= คุ่นน้ำแม่กววง |
| <i>Schistura cf. robertsi 2 *</i> | 5 | 7= คุ่นน้ำขาน |
| <i>Schistura spilota</i> | 9 | 8= คุ่นน้ำแม่ปิงตอนล่าง |
| <i>Schistura cf. spilota</i> | 1, 3, 6, 10 | 9= คุ่นน้ำแม่กลาง |
| <i>Schistura waltoni</i> | 1 | 10= คุ่นน้ำแม่แจ่ม |
| <i>Schistura sp. **</i> | 1 | 11= คุ่นน้ำแม่ตื่น |

หมายเหตุ * ยังไม่มีรายงานว่าพบที่จังหวัดเชียงใหม่

** คาดว่าเป็นชนิดใหม่

จากลักษณะภายนอก (ภาคผนวก ก) นำมาจัดกลุ่มความใกล้ชิดของปลาค้อโดยใช้โปรแกรม SPSS ด้วยวิธี hierarchical cluster analysis ได้ผลตามรูป 6



รูป 6 การวิเคราะห์การจัดกลุ่มปลาค้อ 11 ชนิด โดยใช้ลักษณะภายนอก ด้วยโปรแกรม SPSS วิธี hierarchical cluster analysis

- จากรูป 6 สามารถจัดกลุ่มความใกล้ชิดตามลักษณะภายนอกได้ 6 กลุ่ม คือ
 - กลุ่มที่ 1 ประกอบด้วย *S. waltoni*, *S. kengtungensis* และ *S. cf. menanensis*
 - กลุ่มที่ 2 ประกอบด้วย *S. nicholsi* และ *S. obeini*
 - กลุ่มที่ 3 ประกอบด้วย *S. cf. robertsi* 1 และ *S. cf. robertsi* 2
 - กลุ่มที่ 4 ประกอบด้วย *Schistura* sp.
 - กลุ่มที่ 5 ประกอบด้วย *S. spilota* และ *S. cf. spilota*
 - กลุ่มที่ 6 ประกอบด้วย *S. poculi*

2. การศึกษาจำนวนโครโนมของปลาค้อที่พนจากกลุ่มน้ำสาขาของแม่น้ำปิง

จากการตรวจนับจำนวนโครโนมที่ย้อมสีแบบ Giemsa stained ของปลาค้อทุกชนิดจากจำนวนเชลล์ทั้งหมด 100 เชลล์ในปลาแต่ละชนิด พบร่วมๆ ว่าโครโนมของปลาค้อที่นับได้มีความแปรปรวนอยู่ในช่วง 48-54 แท่ง (ตาราง 4) อย่างไรก็ตามเมื่อพิจารณาจากจำนวนโครโนมที่มีเปอร์เซ็นต์สูงสุดในแต่ละชนิดแล้ว พบร่วมๆ ว่าปลาค้อส่วนมากมีจำนวนโครโนมทั้งหมดเท่ากัน 50 แท่ง ยกเว้น *S. kengtungensis* มีจำนวนโครโนมทั้งหมดเท่ากัน 52 แท่ง

ตาราง 4 ผลการวิเคราะห์จำนวนโครโนไซมของปลาค้อที่ตรวจพบจากกลุ่มน้ำสาขาของแม่น้ำปิงในระหว่างเดือนสิงหาคม 2542 ถึงเดือนกรกฎาคม 2544

| ชนิดปลาค้อ | จำนวน เซลล์ที่นับ | จำนวนเซลล์ที่นับ โครโนไซมได้ | | | | | | |
|--------------------------|----------------------|------------------------------|----|----|----|----|----|----|
| | | 48 | 49 | 50 | 51 | 52 | 53 | 54 |
| <i>S. waltoni</i> | 100 | 3 | 2 | 92 | 1 | 2 | | |
| <i>S. kengtungensis</i> | 100 | 1 | | 4 | 1 | 90 | 3 | 1 |
| <i>S. cf. menanensis</i> | 100 | 5 | 3 | 91 | 1 | | | |
| <i>S. nicholsi</i> | 100 | 2 | 1 | 95 | 1 | 1 | | |
| <i>S. obeini</i> | 100 | 5 | 3 | 92 | | | | |
| <i>S. cf. robertsi</i> 1 | 100 | 2 | | 96 | 2 | | | |
| <i>S. cf. robertsi</i> 2 | 100 | 2 | 1 | 94 | 3 | | | |
| <i>Schistura</i> sp. | 100 | 4 | 1 | 95 | | | | |
| <i>S. spilota</i> | 100 | 3 | 2 | 93 | 2 | | | |
| <i>S. cf. spilota</i> | 100 | 3 | 1 | 96 | | | | |
| <i>S. poculi</i> | 100 | 2 | 3 | 94 | 1 | | | |

3. ชนิดของโครโนไซม และรูปแบบคาริโอไทป์ของปลาค้อ

ชนิดของโครโนไซมของปลาค้อซึ่งจัดโดยค่า Centromeric index (CI) แบ่งออกได้เป็น 4 ชนิด คือ metacentric, submetacentric, acrocentric และ telocentric อย่างไรก็ตามโครโนไซมของปลาค้อแต่ละชนิดจะมีความแตกต่างกันในด้านของรูปแบบคาริโอไทป์ และรูปแบบการติดแอบสีชนิดต่างๆ ดังนี้

1. Schistura waltoni

1.1 จากตารางที่ 4 จะเห็นว่าร้อยละ 92 ของจำนวนเซลล์ที่ตรวจพบในโครโนไซม มีจำนวนโครโนไซมเท่ากับ 50 สรุปว่าปลาชนิดนี้มีจำนวนโครโนไซม $2n=50$ มีความยาวในช่วง 2.0-1.0 μm

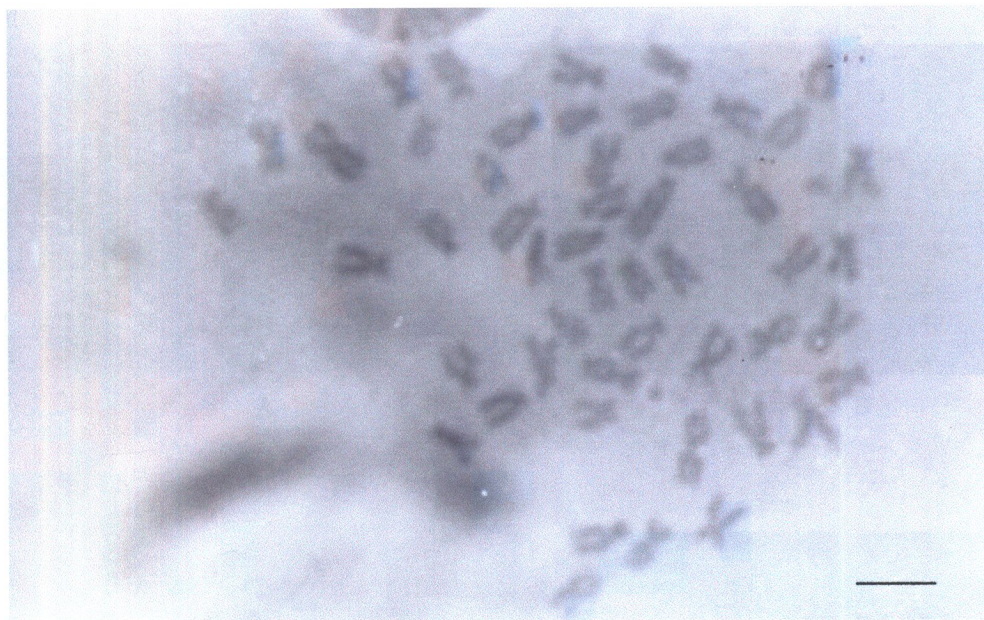
1.2 มีการจัดแบ่งโครโนไซมแบบ metacentric จำนวน 4 คู่ ได้แก่ โครโนไซมคู่ที่ 1, 10, 11 และ 12 โครโนไซมแบบ submetacentric จำนวน 6 คู่ ได้แก่ โครโนไซมคู่ที่ 3, 4, 5, 8, 9 และ 24 โครโนไซมแบบ acrocentric จำนวน 7 คู่ ได้แก่ โครโนไซมคู่ที่ 6, 7, 13, 14, 15, 16 และ 21 โครโนไซมแบบ telocentric จำนวน 8 คู่ ได้แก่ โครโนไซมคู่ที่ 2, 17, 18, 19, 20, 22, 23 และ 25 (รูป 7, 8 และตาราง 5)

1.3 จากการข้อมูลแบบ Q-banding ไม่พบ band ที่ชัดเจนเกิดขึ้น (รูป 9 B)

1.4 จากการข้อมูลแบบ G-banding พบร่วมๆ โครโนไซมแบบ metacentric, submetacentric และ acrocentric บางคู่มี band ทั้ง 2 แขนที่กระจายทั่วในรูปแบบที่เหมือนกันเป็นคู่ๆ ได้แก่ โครโนไซมคู่ที่ 1, 3, 4, 5, 6, 7, 8, 9, 10, 11, 12, 13, 14, 15 และ 21 โครโนไซมแบบ telocentric บางคู่มี band กระจายทั่วในรูปแบบที่เหมือนกันเป็นคู่ๆ ได้แก่ โครโนไซมคู่ที่ 2, 17, 18, 19, 22, 23 และ 25 (รูป 9 C และ 10)

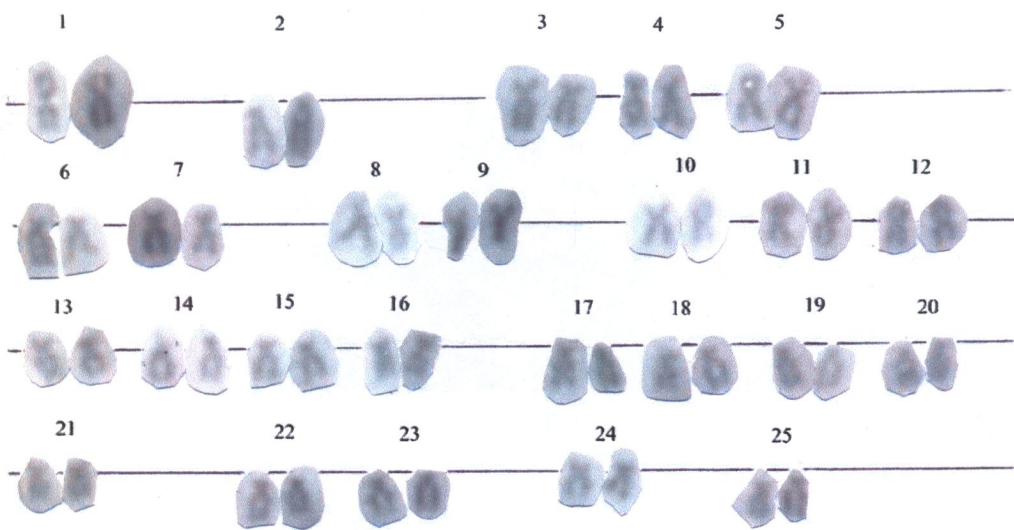
1.5 จากการข้อมูลแบบ C-banding พบร่วมๆ โครโนไซมบางคู่มี band เกิดขึ้นชัดเจน ได้แก่ โครโนไซมคู่ที่ 1, 2, 4, 10 และ 11 พบร่วมๆ band เกิดขึ้นบริเวณ centromere และ โครโนไซมคู่ที่ 3, 5, 6 และ 7 พบร่วมๆ band บริเวณแขนข้างสั้นของโครโนไซม (รูป 9 D และ 10)

1.6 จากการข้อมูลแบบ NOR banding พบร่วมๆ แขนข้างสั้นของโครโนไซมคู่ที่ 3 ปรากฏ NOR band ซึ่งตำแหน่งคังกล่าวเมื่อข้อมูลด้วยวิธี C-banding จะติดสีเข้มที่บริเวณเดียวกัน (รูป 9 E และ 10)

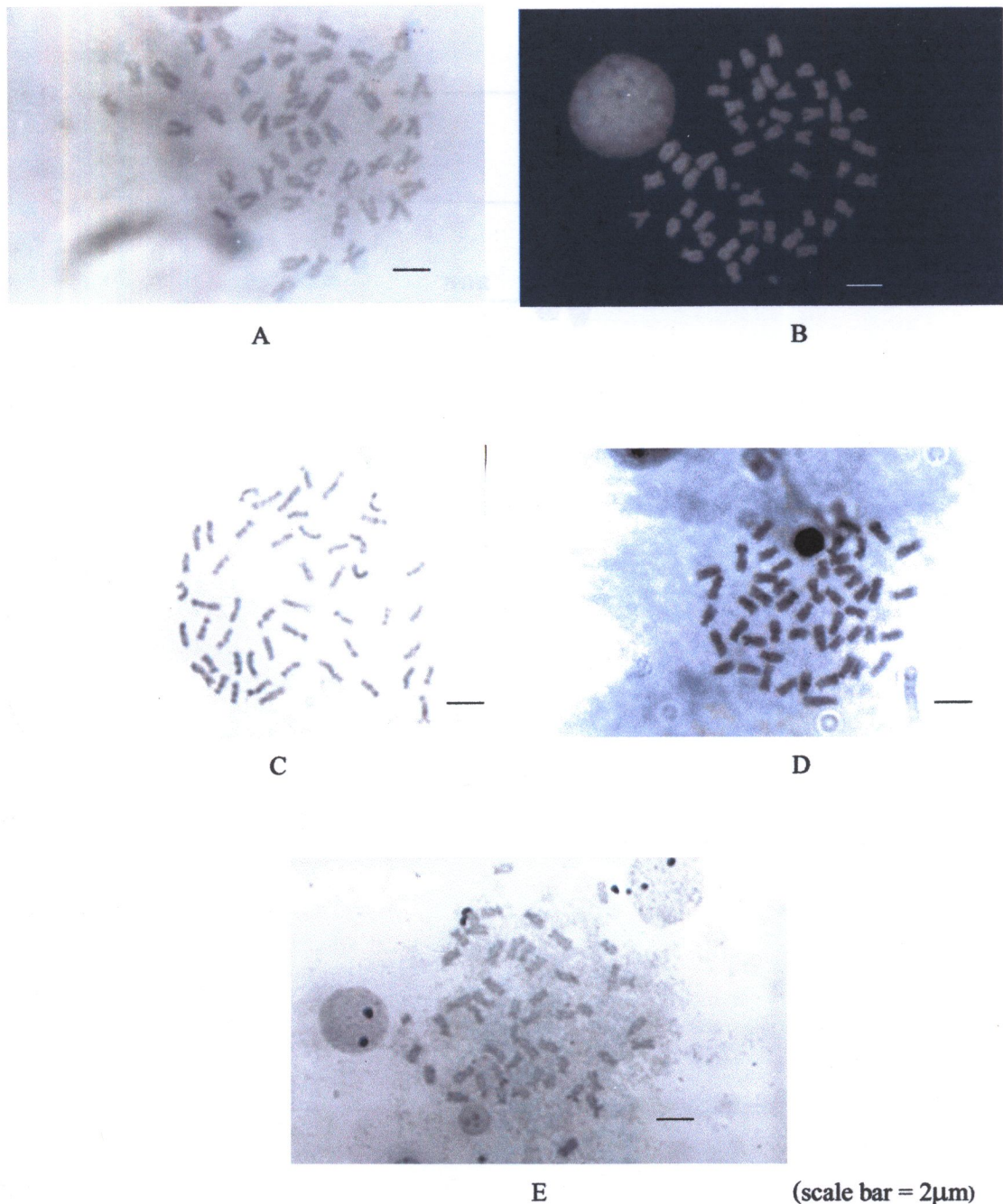


(scale bar = 2μm)

รูป 7 โครโนโซมระยะ metaphase ของ *Schistura waltoni* ที่้อมสีแบบ Giemsa stained

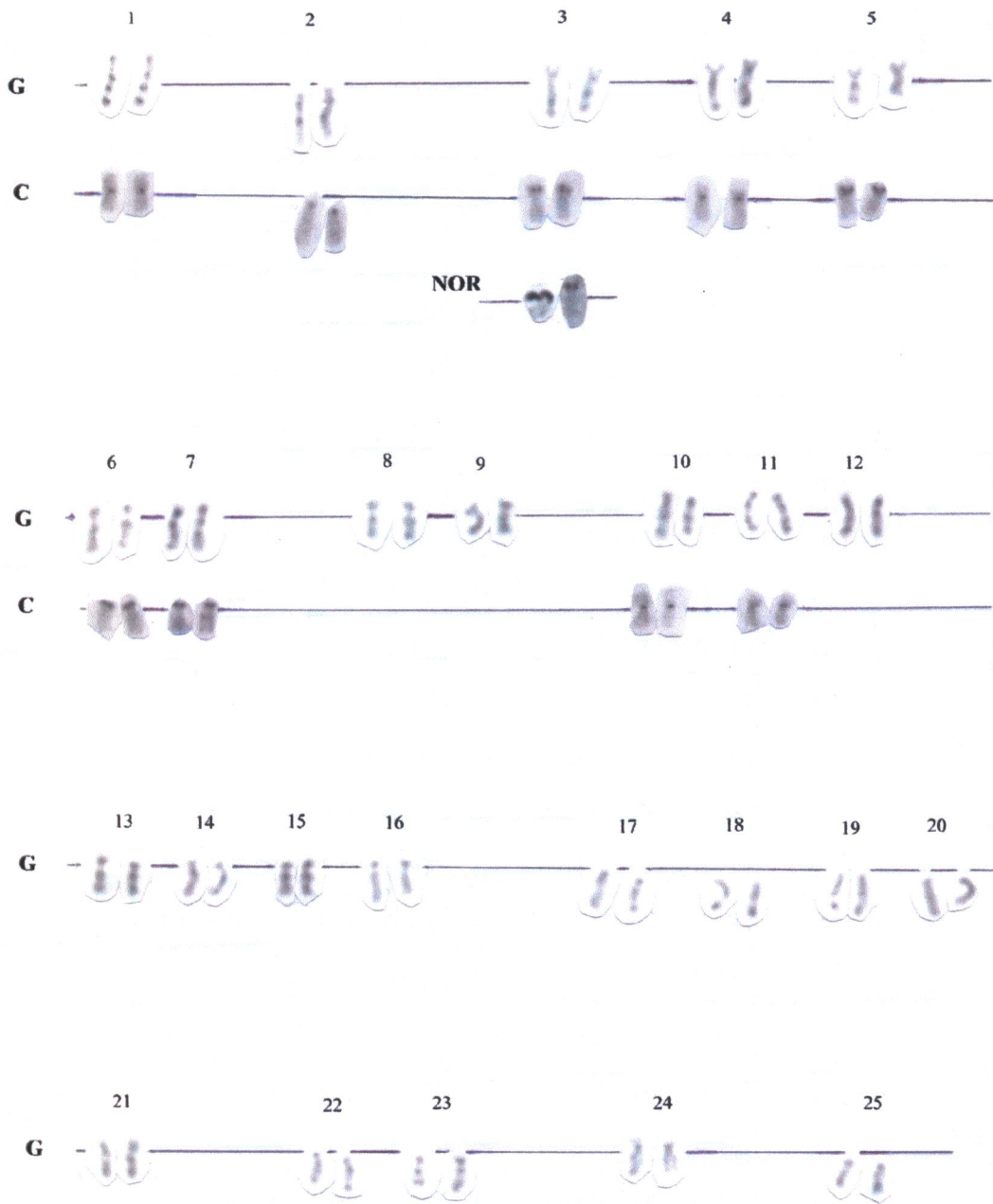


รูป 8 คาริโอไทป์ของ *Schistura waltoni* ซึ่งประกอบด้วย 8m+12sm+14a+16t (2n=50)



รูป 9 โครงโน้มโขนระยະ metaphase ของ *Schistura waltoni*

A) Giemsa stained, B) Q-banding, C) G-banding, D) C-banding, E) NOR banding



รูป 10 かりໂໄທປົງຂອງ *Schistura waltoni* ຂໍອນສືບພິເສຍ

G: G-banding, C: C-banding และ NOR: NOR banding

ตาราง 5 ความยาวเฉลี่ย (หน่วยสัมพทธ์) ของโครงโน้มจากเซลล์ของ *Schistura waltoni* จำนวน 10 เซลล์

| Chromosome pair | Ls ± SD | Li ± SD | Lt ± SD | CI ± SD | Type |
|-----------------|---------------|---------------|---------------|---------------|------|
| 1 | 5.180 ± 0.040 | 5.220 ± 0.040 | 10.40 ± 0.063 | 0.502 ± 0.204 | m |
| 2 | 0.000 ± 0.000 | 10.28 ± 0.040 | 10.28 ± 0.040 | 1.000 ± 0.408 | t |
| 3 | 2.960 ± 0.120 | 6.840 ± 0.080 | 9.800 ± 0.126 | 0.698 ± 0.281 | sm |
| 4 | 3.060 ± 0.080 | 6.360 ± 0.080 | 9.420 ± 0.117 | 0.675 ± 0.273 | sm |
| 5 | 2.460 ± 0.120 | 6.340 ± 0.080 | 8.800 ± 0.126 | 0.721 ± 0.290 | sm |
| 6 | 1.800 ± 0.000 | 6.660 ± 0.049 | 8.460 ± 0.049 | 0.787 ± 0.321 | a |
| 7 | 1.780 ± 0.040 | 6.460 ± 0.080 | 8.240 ± 0.102 | 0.784 ± 0.319 | a |
| 8 | 2.320 ± 0.194 | 5.600 ± 0.000 | 7.920 ± 0.194 | 0.707 ± 0.281 | sm |
| 9 | 3.000 ± 0.000 | 4.740 ± 0.080 | 7.740 ± 0.080 | 0.612 ± 0.249 | sm |
| 10 | 3.400 ± 0.167 | 4.200 ± 0.000 | 7.600 ± 0.167 | 0.553 ± 0.220 | m |
| 11 | 3.420 ± 0.040 | 4.000 ± 0.000 | 7.420 ± 0.040 | 0.539 ± 0.219 | m |
| 12 | 3.100 ± 0.000 | 4.300 ± 0.000 | 7.400 ± 0.000 | 0.581 ± 0.237 | m |
| 13 | 1.700 ± 0.000 | 5.660 ± 0.049 | 7.360 ± 0.049 | 0.769 ± 0.313 | a |
| 14 | 1.600 ± 0.000 | 5.700 ± 0.063 | 7.300 ± 0.063 | 0.781 ± 0.318 | a |
| 15 | 1.500 ± 0.000 | 5.660 ± 0.080 | 7.160 ± 0.080 | 0.790 ± 0.322 | a |
| 16 | 1.440 ± 0.049 | 5.500 ± 0.063 | 6.940 ± 0.102 | 0.793 ± 0.321 | a |
| 17 | 0.000 ± 0.000 | 6.880 ± 0.098 | 6.880 ± 0.098 | 1.000 ± 0.408 | t |
| 18 | 0.000 ± 0.000 | 6.540 ± 0.080 | 6.540 ± 0.080 | 1.000 ± 0.408 | t |
| 19 | 0.000 ± 0.000 | 6.480 ± 0.040 | 6.480 ± 0.040 | 1.000 ± 0.408 | t |
| 20 | 0.000 ± 0.000 | 6.400 ± 0.000 | 6.400 ± 0.000 | 1.000 ± 0.408 | t |
| 21 | 1.500 ± 0.000 | 4.820 ± 0.040 | 6.320 ± 0.040 | 0.763 ± 0.311 | a |
| 22 | 0.000 ± 0.000 | 6.140 ± 0.049 | 6.140 ± 0.049 | 1.000 ± 0.408 | t |
| 23 | 0.000 ± 0.000 | 5.980 ± 0.040 | 5.980 ± 0.040 | 1.000 ± 0.408 | t |
| 24 | 1.940 ± 0.120 | 3.900 ± 0.089 | 5.840 ± 0.102 | 0.668 ± 0.264 | sm |
| 25 | 0.000 ± 0.000 | 5.260 ± 0.120 | 5.260 ± 0.120 | 1.000 ± 0.408 | t |

2. *Schistura kengtungensis*

2.1 จากตารางที่ 4 จะเห็นว่าร้อยละ 90 ของจำนวนเซลล์ที่ตรวจนับโครงโน้มโชน มีจำนวนโครงโน้มโชนเท่ากับ 52 สรุปว่าปลาชนิดนี้มีจำนวนโครงโน้ม $2n=52$ มีความยาวในช่วง 1.5-0.6 μm

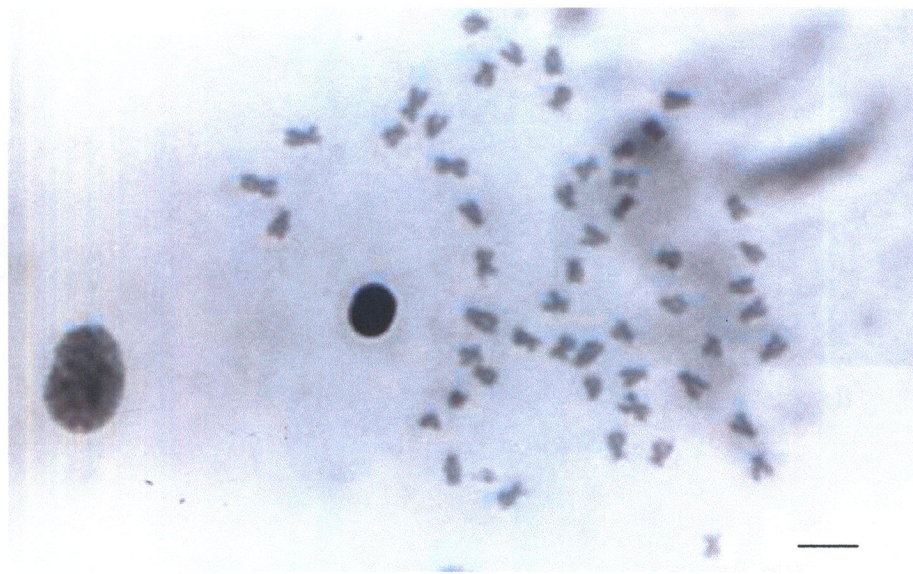
2.2 มีการวิเคราะห์ประกอบด้วยโครงโน้มโชนแบบ metacentric จำนวน 3 คู่ ได้แก่ โครงโน้มโชนคู่ที่ 2, 3 และ 12 โครงโน้มโชนแบบ submetacentric จำนวน 5 คู่ ได้แก่ โครงโน้มโชนคู่ที่ 1, 13, 14, 22 และ 23 โครงโน้มโชนแบบ acrocentric จำนวน 4 คู่ ได้แก่ โครงโน้มโชนคู่ที่ 9, 15, 16 และ 17 โครงโน้มโชนแบบ telocentric จำนวน 14 คู่ ได้แก่ โครงโน้มโชนคู่ที่ 4, 5, 6, 7, 8, 10, 18, 19, 20, 21, 24, 25 และ 26 (รูป 11, 12 และตาราง 6)

2.3 จากการข้อมูลแบบ Q-banding ไม่พบ band ที่ชัดเจนเกิดขึ้น (รูป 13 B)

2.4 จากการข้อมูลแบบ G-banding พบร่วมกันว่าโครงโน้มโชนแบบ metacentric, submetacentric และ acrocentric บางคู่มี band ทั้ง 2 แบบที่กระจายทั่วในรูปแบบที่เหมือนกันเป็นคู่ๆ ได้แก่ โครงโน้มโชนคู่ที่ 1, 2, 3, 9, 12, 15 และ 17 โครงโน้มโชนแบบ telocentric บางคู่มี band กระจายทั่วในรูปแบบที่เหมือนกันเป็นคู่ๆ ได้แก่ โครงโน้มโชนคู่ที่ 4, 5, 6, 7, 8, 11, 19, 21 และ 25 (รูป 13 C และ 14)

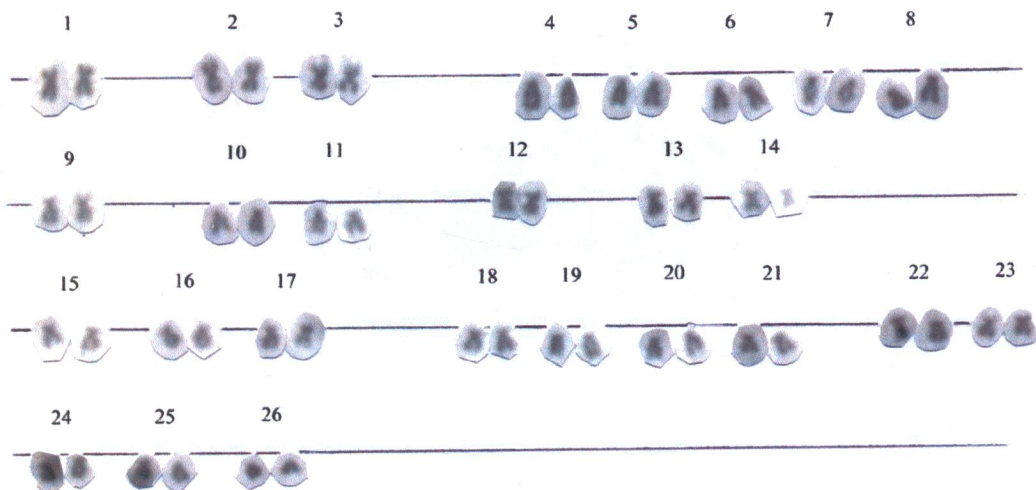
2.5 จากการข้อมูลแบบ C-banding พบร่วมกันว่าโครงโน้มบางคู่มี band เกิดขึ้นชัดเจน ได้แก่ โครงโน้มโชนคู่ที่ 1, 2, 5, 6 และ 12 พบร่วมกันที่บริเวณ centromere โครงโน้มโชนคู่ที่ 15 มี band เกิดขึ้นบริเวณตรงกลางของแขนข้างยาวของโครงโน้ม โครงโน้มโชนคู่ที่ 4 พบร่วมกันที่บริเวณ telomere และโครงโน้มโชนคู่ที่ 9 และ 13 พบร่วมกันที่บริเวณแขนข้างสั้นของโครงโน้ม (รูป 13 D และ 14)

2.6 จากการข้อมูลแบบ NOR banding พบร่วมกันว่าโครงโน้มคู่ที่ 4 ปรากฏ NOR band บริเวณปลายแขนของโครงโน้มแบบ telocentric ซึ่งตำแหน่งดังกล่าวเมื่อข้อมูลคัวบาร์ชี C-banding จะติดต่อเข้ากันที่บริเวณเดียวกัน (รูป 13 E และ 14)

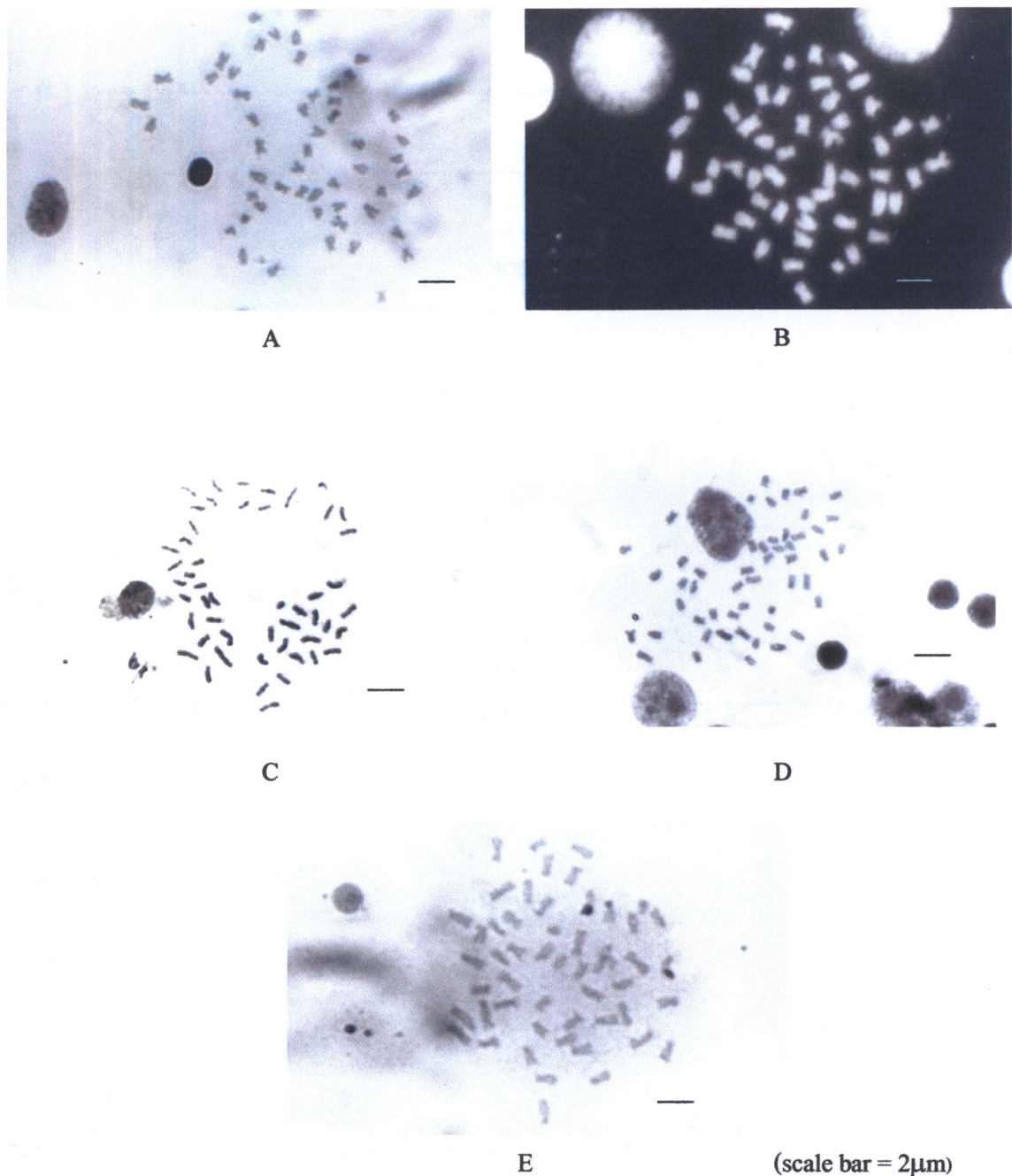


(scale bar = 2μm)

รูป 11 โครโนโซนระยะ metaphase ของ *Schistura kengtungensis* ข้อมูลแบบ Giemsa stained

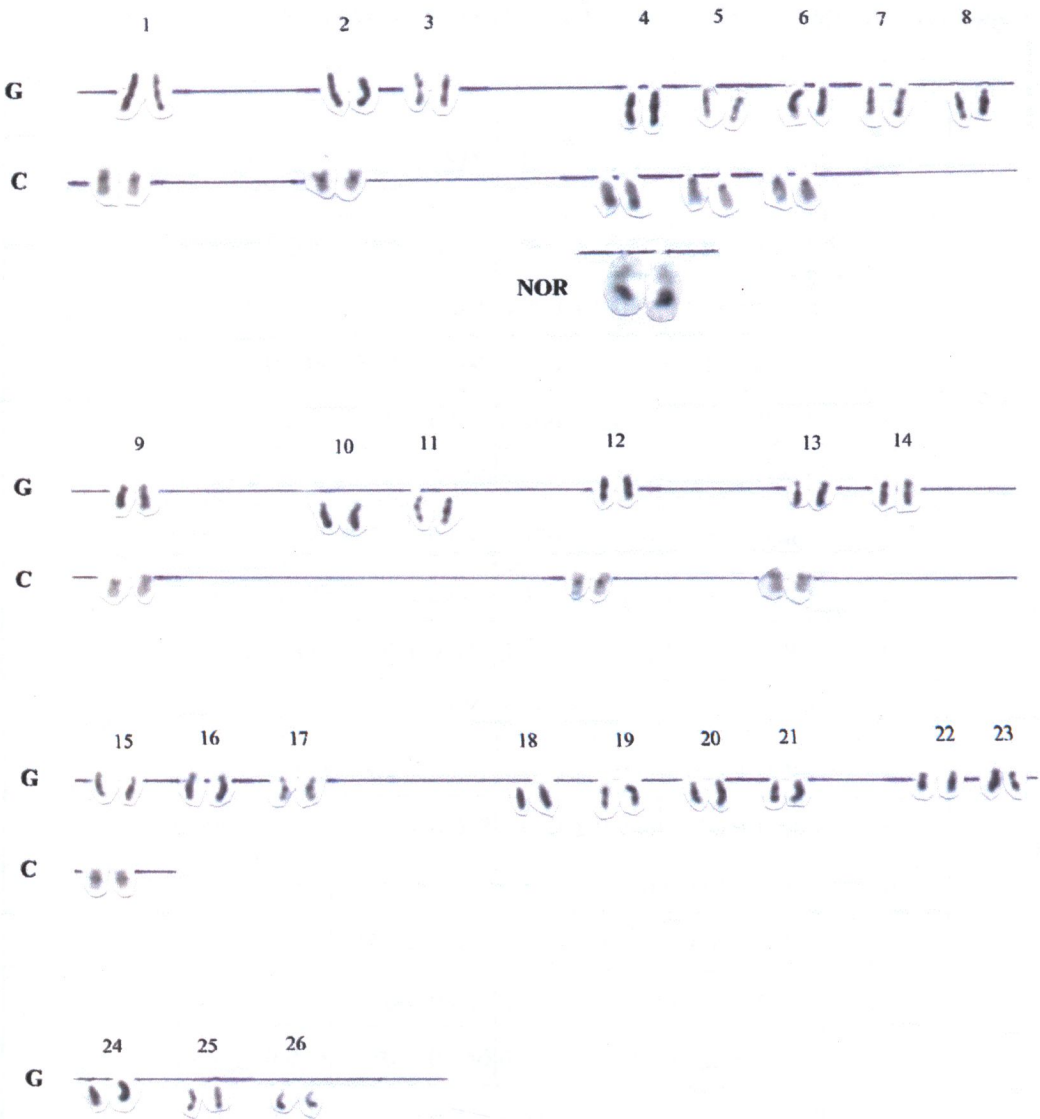


รูป 12 คาริโอไทป์ของ *Schistura kengtungensis* ซึ่งประกอบด้วย 6m+10sm+8a+28t (2n=52)



รูป 13 โครโนมโน้มระยะ metaphase ของ *Schistura kengtungensis*

A) Giemsa stained, B) Q-banding, C) G-banding, D) C-banding, E) NOR banding



รูป 14 かりໂອໄທປີຂອງ *Schistura kengtungensis* ພ້ອມສືແບນພິເສດ

G: G-banding, C: C-banding และ NOR: NOR banding

ตาราง 6 ความยาวเฉลี่ย (หน่วยสัมพัทธ์) ของโครงโน้มจากเซลล์ของ *Schistura kengtungensis*
จำนวน 10 เซลล์

| Chromosome pair | Ls ± SD | Li ± SD | Lt ± SD | CI ± SD | Type |
|-----------------|---------------|---------------|---------------|---------------|------|
| 1 | 2.700 ± 0.000 | 4.360 ± 0.136 | 7.060 ± 0.136 | 0.617 ± 0.250 | sm |
| 2 | 3.400 ± 0.000 | 3.500 ± 0.089 | 6.900 ± 0.089 | 0.507 ± 0.205 | m |
| 3 | 3.060 ± 0.049 | 3.320 ± 0.040 | 6.380 ± 0.075 | 0.520 ± 0.211 | m |
| 4 | 0.000 ± 0.000 | 6.060 ± 0.080 | 6.060 ± 0.080 | 1.000 ± 0.408 | t |
| 5 | 0.000 ± 0.000 | 5.840 ± 0.120 | 5.840 ± 0.120 | 1.000 ± 0.408 | t |
| 6 | 0.000 ± 0.000 | 5.720 ± 0.040 | 5.720 ± 0.040 | 1.000 ± 0.408 | t |
| 7 | 0.000 ± 0.000 | 5.440 ± 0.049 | 5.440 ± 0.049 | 1.000 ± 0.408 | t |
| 8 | 0.000 ± 0.000 | 5.320 ± 0.040 | 5.320 ± 0.040 | 1.000 ± 0.408 | t |
| 9 | 1.200 ± 0.000 | 4.080 ± 0.075 | 5.280 ± 0.075 | 0.773 ± 0.314 | a |
| 10 | 0.000 ± 0.000 | 5.080 ± 0.098 | 5.080 ± 0.098 | 1.000 ± 0.408 | t |
| 11 | 0.000 ± 0.000 | 5.000 ± 0.063 | 5.000 ± 0.063 | 1.000 ± 0.408 | t |
| 12 | 2.400 ± 0.000 | 2.520 ± 0.040 | 4.920 ± 0.040 | 0.512 ± 0.208 | m |
| 13 | 1.220 ± 0.040 | 3.580 ± 0.040 | 4.800 ± 0.000 | 0.746 ± 0.301 | sm |
| 14 | 1.320 ± 0.040 | 3.380 ± 0.040 | 4.700 ± 0.000 | 0.719 ± 0.290 | sm |
| 15 | 1.000 ± 0.000 | 3.680 ± 0.040 | 4.680 ± 0.040 | 0.786 ± 0.320 | a |
| 16 | 1.000 ± 0.000 | 3.580 ± 0.075 | 4.580 ± 0.075 | 0.782 ± 0.318 | a |
| 17 | 0.960 ± 0.080 | 3.580 ± 0.040 | 4.540 ± 0.102 | 0.789 ± 0.316 | a |
| 18 | 0.000 ± 0.000 | 4.480 ± 0.040 | 4.480 ± 0.040 | 1.000 ± 0.408 | t |
| 19 | 0.000 ± 0.000 | 4.380 ± 0.040 | 4.380 ± 0.040 | 1.000 ± 0.408 | t |
| 20 | 0.000 ± 0.000 | 4.240 ± 0.080 | 4.240 ± 0.080 | 1.000 ± 0.408 | t |
| 21 | 0.000 ± 0.000 | 4.180 ± 0.075 | 4.180 ± 0.075 | 1.000 ± 0.408 | t |
| 22 | 1.420 ± 0.040 | 2.660 ± 0.049 | 4.080 ± 0.075 | 0.652 ± 0.263 | sm |
| 23 | 1.120 ± 0.040 | 2.820 ± 0.040 | 3.940 ± 0.049 | 0.716 ± 0.289 | sm |
| 24 | 0.000 ± 0.000 | 3.780 ± 0.040 | 3.780 ± 0.040 | 1.000 ± 0.408 | t |
| 25 | 0.000 ± 0.000 | 3.540 ± 0.174 | 3.540 ± 0.174 | 1.000 ± 0.408 | t |
| 26 | 0.000 ± 0.000 | 3.040 ± 0.174 | 3.040 ± 0.174 | 1.000 ± 0.408 | t |

3. *Schistura cf. menanensis*

3.1 จากตารางที่ 4 จะเห็นว่าร้อยละ 91 ของจำนวนเซลล์ที่ตรวจนับโครโนโซม มีจำนวนโครโนโซมเท่ากัน 50 สรุปว่าปลาชนิดนี้มีจำนวนโครโนโซม $2n=50$ มีความกว้างในช่วง $2.0\text{--}1.2 \mu\text{m}$

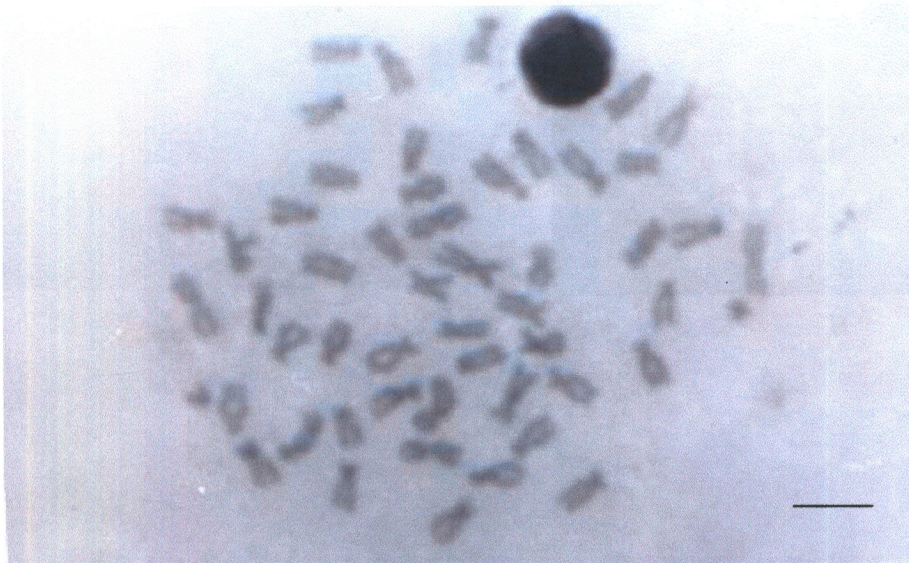
3.2 มีคริโอไทดีประกอบด้วยโครโนโซมแบบ metacentric จำนวน 4 คู่ ได้แก่ โครโนโซมคู่ที่ 1, 2, 15 และ 25 โครโนโซมแบบ submetacentric จำนวน 6 คู่ ได้แก่ โครโนโซมคู่ที่ 3, 4, 5, 9, 10 และ 22 โครโนโซมแบบ acrocentric จำนวน 8 คู่ ได้แก่ โครโนโซมคู่ที่ 6, 8, 11, 12, 14, 16, 17 และ 18 โครโนโซมแบบ telocentric จำนวน 7 คู่ ได้แก่ โครโนโซมคู่ที่ 7, 13, 19, 20, 21, 23 และ 24 (รูป 15, 16 และตาราง 7)

3.3 จากการข้อมูลแบบ Q-banding ไม่พบ band ที่ชัดเจนเกิดขึ้น (รูป 17 B)

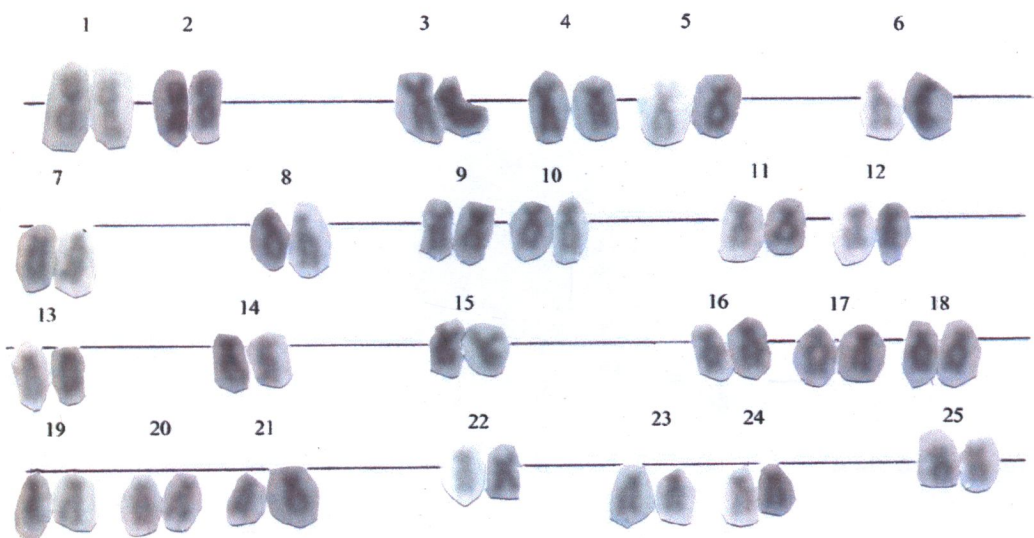
3.4 จากการข้อมูลแบบ G-banding พบร่วมกับโครโนโซมแบบ metacentric, submetacentric และ acrocentric บางคู่มี band ทั้ง 2 แขนที่กระจายหัวในรูปแบบที่เหมือนกันเป็นคู่ๆ ได้แก่ โครโนโซมคู่ที่ 1, 2, 3, 4, 5, 6, 8, 9, 10, 11, 12, 14, 16, 18 และ 25 โครโนโซมแบบ telocentric บางคู่มี band กระจายหัวในรูปแบบที่เหมือนกันเป็นคู่ๆ ได้แก่ โครโนโซมคู่ที่ 13, 20, 21 และ 23 (รูป 17 C และ 18)

3.5 จากการข้อมูลแบบ C-banding พบร่วมกับโครโนโซมบางคู่มี band เกิดขึ้นชัดเจน ได้แก่ โครโนโซมคู่ที่ 1, 2, 5, 7 และ 15 พบร่วมกับ band เกิดขึ้นบริเวณ centromere และ โครโนโซมคู่ที่ 3, 4, 6 และ 8 พบร่วมกับ band บริเวณข้างสันของโครโนโซม (รูป 17 D และ 18)

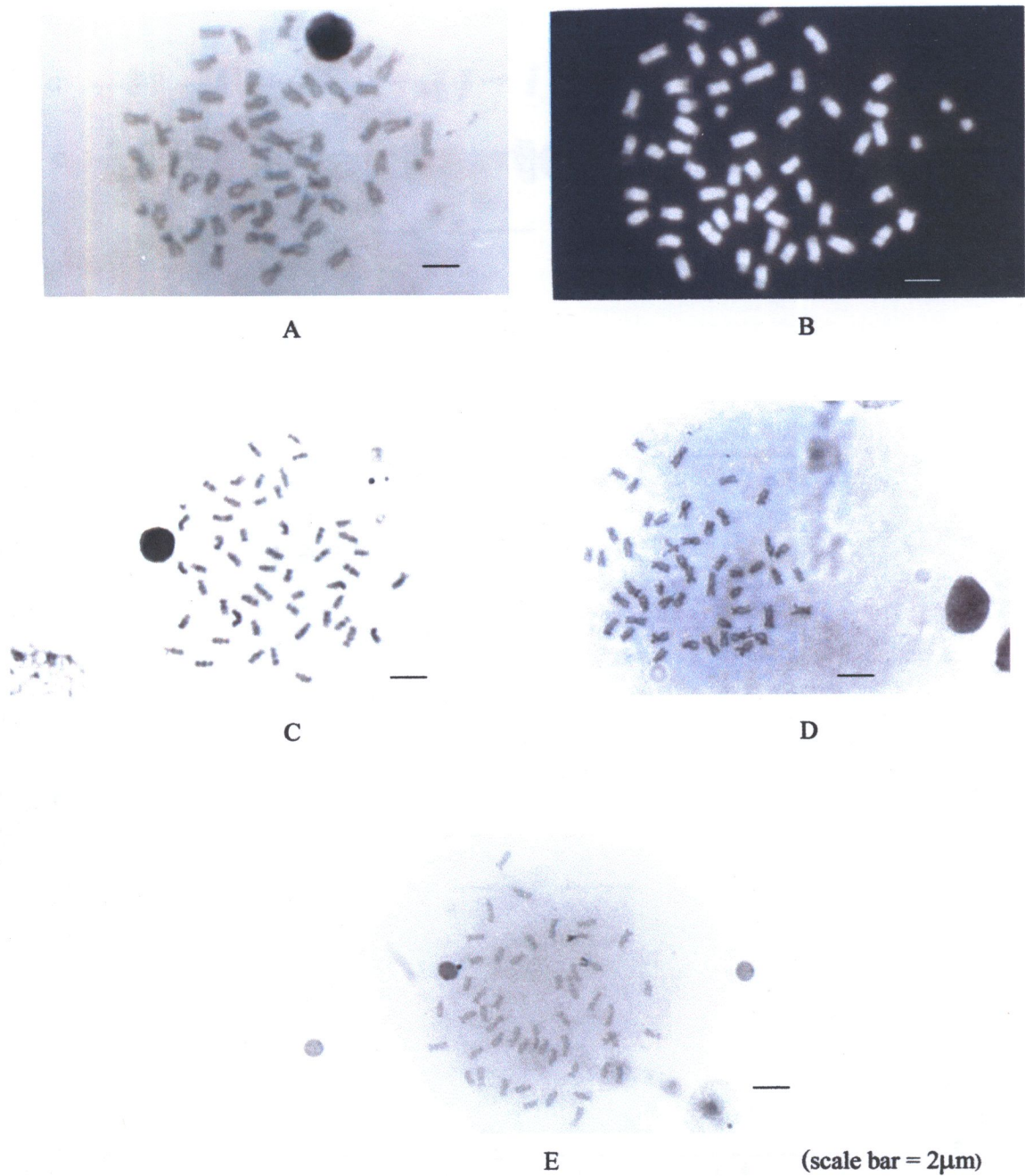
3.6 จากการข้อมูลแบบ NOR banding พบร่วมกับ band บริเวณข้างสันของโครโนโซมคู่ที่ 3 ปรากฏ NOR band ซึ่งตำแหน่งดังกล่าวมีอยู่บนด้านขวาของ C-banding จะติดสีเข้มที่บริเวณเดียวกัน (รูป 17 E และ 18)

(scale bar = $2\mu\text{m}$)

รูป 15 โครโนโซมระยะ metaphase ของ *Schistura cf. menanensis* ข้อมูลแบบ Giemsa stained

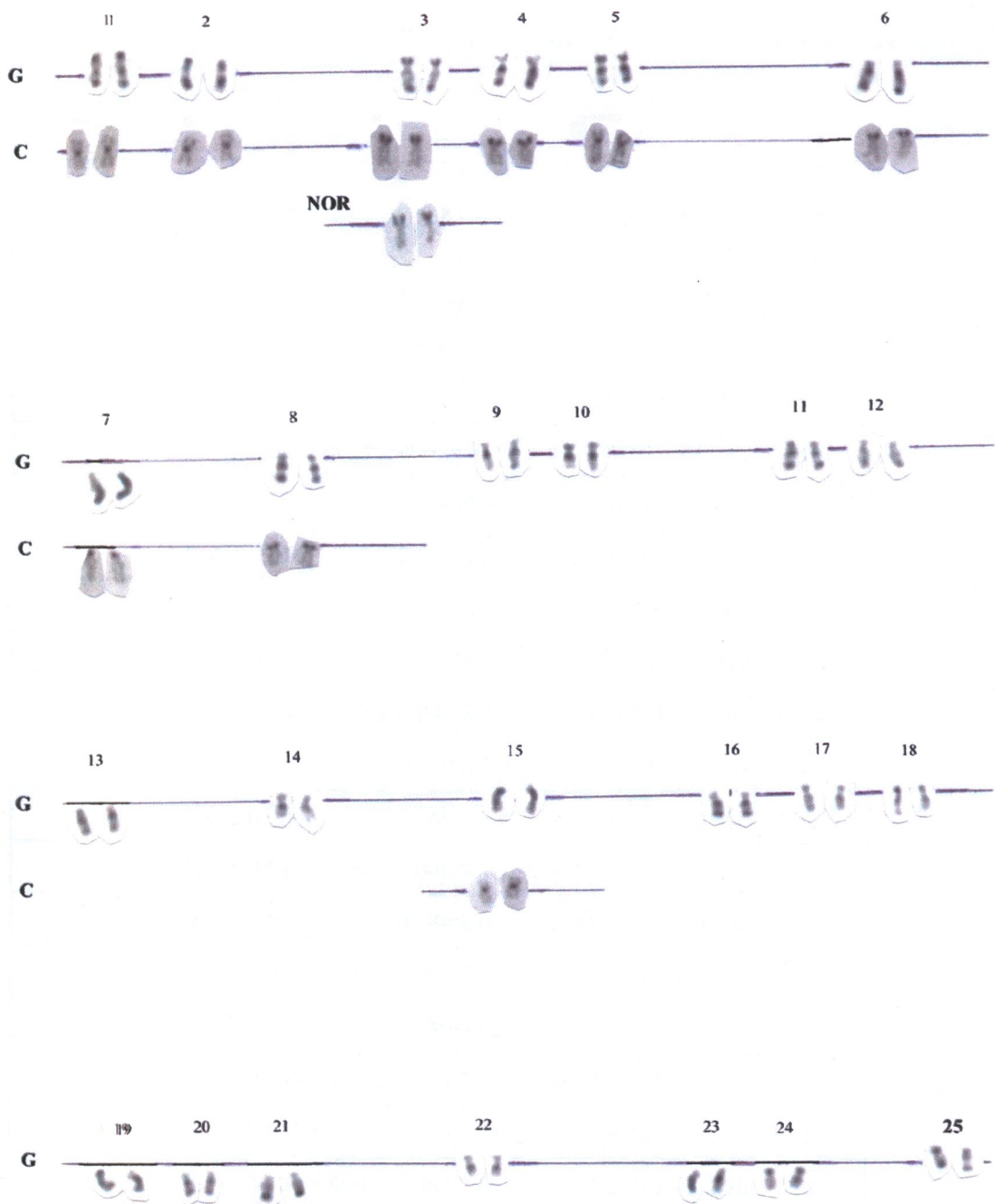


รูป 16 คาริโอไทป์ของ *Schistura cf. menanensis* ซึ่งประกอบด้วย $8\text{m}+12\text{sm}+16\text{a}+14\text{t}$ ($2n=50$)



รูป 17 โครงโน้มโขมระยะ metaphase ของ *Schistura* cf. *menanensis*

A) Giemsa stained, B) Q-banding, C) G-banding, D) C-banding, E) NOR banding



รูป 18 คาริโอไทป์ของ *Schistura cf. menanensis* ข้อมูลแบบพิเศษ

G: G-banding, C: C-banding และ NOR: NOR banding

ตาราง 7 ความยาวเฉลี่ย (หน่วยสัมพัทธ์) ของโครงโน้มจากเซลล์ของ *Schistura cf. menanensis*
จำนวน 10 เซลล์

| Chromosome pair | Ls ± SD | Li ± SD | Lt ± SD | Cl ± SD | Type |
|-----------------|---------------|---------------|---------------|---------------|------|
| 1 | 5.580 ± 0.075 | 5.780 ± 0.075 | 11.36 ± 0.150 | 0.509 ± 0.208 | m |
| 2 | 4.840 ± 0.102 | 5.720 ± 0.040 | 10.56 ± 0.102 | 0.542 ± 0.218 | m |
| 3 | 4.020 ± 0.040 | 6.320 ± 0.075 | 10.34 ± 0.102 | 0.611 ± 0.248 | sm |
| 4 | 3.320 ± 0.040 | 6.760 ± 0.102 | 10.08 ± 0.117 | 0.671 ± 0.272 | sm |
| 5 | 3.120 ± 0.147 | 6.660 ± 0.080 | 9.780 ± 0.133 | 0.681 ± 0.273 | sm |
| 6 | 1.940 ± 0.049 | 7.360 ± 0.080 | 9.300 ± 0.089 | 0.791 ± 0.321 | a |
| 7 | 0.000 ± 0.000 | 8.940 ± 0.049 | 8.940 ± 0.049 | 1.000 ± 0.408 | t |
| 8 | 2.020 ± 0.040 | 6.580 ± 0.133 | 8.600 ± 0.167 | 0.765 ± 0.312 | a |
| 9 | 3.420 ± 0.040 | 5.020 ± 0.040 | 8.440 ± 0.080 | 0.595 ± 0.242 | sm |
| 10 | 2.500 ± 0.063 | 5.820 ± 0.040 | 8.320 ± 0.098 | 0.700 ± 0.284 | sm |
| 11 | 1.900 ± 0.000 | 6.340 ± 0.049 | 8.240 ± 0.049 | 0.769 ± 0.314 | a |
| 12 | 1.720 ± 0.040 | 6.380 ± 0.040 | 8.100 ± 0.063 | 0.788 ± 0.320 | a |
| 13 | 0.000 ± 0.000 | 8.040 ± 0.049 | 8.040 ± 0.049 | 1.000 ± 0.408 | t |
| 14 | 1.800 ± 0.000 | 6.180 ± 0.040 | 7.980 ± 0.040 | 0.774 ± 0.316 | a |
| 15 | 3.420 ± 0.040 | 4.480 ± 0.040 | 7.900 ± 0.063 | 0.567 ± 0.230 | m |
| 16 | 1.700 ± 0.000 | 6.100 ± 0.063 | 7.800 ± 0.063 | 0.782 ± 0.319 | a |
| 17 | 1.800 ± 0.000 | 5.940 ± 0.049 | 7.740 ± 0.049 | 0.767 ± 0.313 | a |
| 18 | 1.700 ± 0.000 | 5.900 ± 0.063 | 7.600 ± 0.063 | 0.776 ± 0.316 | a |
| 19 | 0.000 ± 0.000 | 7.520 ± 0.040 | 7.520 ± 0.040 | 1.000 ± 0.408 | t |
| 20 | 0.000 ± 0.000 | 7.480 ± 0.040 | 7.480 ± 0.040 | 1.000 ± 0.408 | t |
| 21 | 0.000 ± 0.000 | 7.340 ± 0.049 | 7.340 ± 0.049 | 1.000 ± 0.408 | t |
| 22 | 2.020 ± 0.040 | 5.060 ± 0.080 | 7.080 ± 0.098 | 0.715 ± 0.290 | sm |
| 23 | 0.000 ± 0.000 | 7.040 ± 0.049 | 7.040 ± 0.049 | 1.000 ± 0.408 | t |
| 24 | 0.000 ± 0.000 | 7.000 ± 0.000 | 6.980 ± 0.040 | 1.003 ± 0.407 | t |
| 25 | 3.300 ± 0.000 | 3.520 ± 0.040 | 6.820 ± 0.040 | 0.516 ± 0.210 | m |

4. *Schistura nicholsi*

4.1 จากตารางที่ 4 จะเห็นว่าร้อยละ 95 ของจำนวนเซลล์ที่ตรวจนับโครโนโซม มีจำนวนโครโนโซมเท่ากับ 50 สรุปว่าปลาชนิดนี้มีจำนวนโครโนโซม $2n=50$ มีความยาวในช่วง 2.2- $1.0 \mu\text{m}$

4.2 มีการໂອໄກປประกอบด้วยโครโนโซมแบบ metacentric จำนวน 3 คู่ ได้แก่ โครโนโซมคู่ที่ 4, 8 และ 12 โครโนโซมแบบ submetacentric จำนวน 8 คู่ ได้แก่ โครโนโซมคู่ที่ 1, 2, 5, 6, 10, 13, 19 และ 24 โครโนโซมแบบ acrocentric จำนวน 4 คู่ ได้แก่ โครโนโซมคู่ที่ 9, 17, 18 และ 25 โครโนโซมแบบ telocentric จำนวน 10 คู่ ได้แก่ โครโนโซมคู่ที่ 3, 7, 11, 14, 15, 16, 20, 21, 22 และ 23 (รูป 19, 20 และตาราง 8)

4.3 จากการข้อมูลแบบ Q-banding ไม่พบ band ที่ชัดเจนเกิดขึ้น (รูป 21 B)

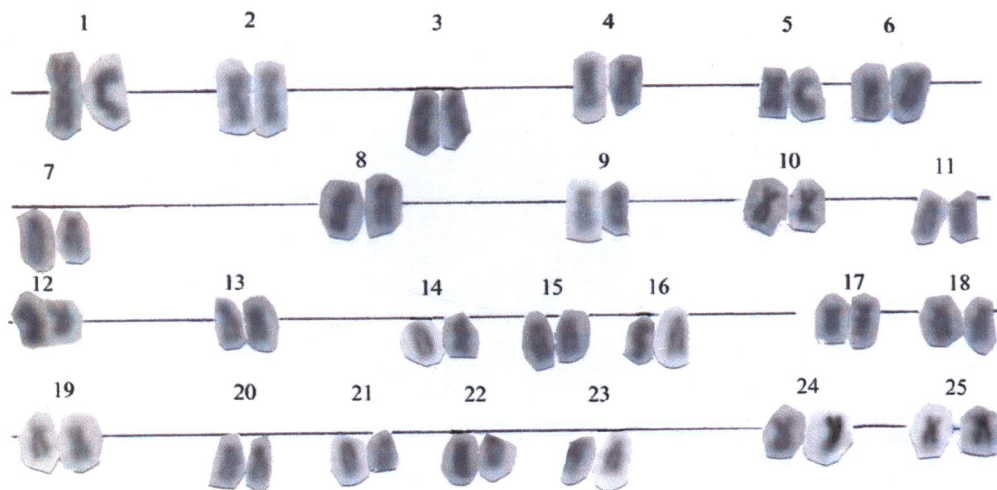
4.4 จากการข้อมูลแบบ G-banding พบร่วมๆ โครโนโซมแบบ metacentric และ submetacentric บางคู่มี band ทั้ง 2 แบบที่กระจายตัวในรูปแบบที่เหมือนกันเป็นคู่ๆ ได้แก่ โครโนโซมคู่ที่ 1, 6, 19 และ 24 โครโนโซมแบบ telocentric บางคู่มี band กระจายตัวในรูปแบบที่เหมือนกันเป็นคู่ๆ ได้แก่ โครโนโซมคู่ที่ 3, 11, 15, 16, 21 และ 22 (รูป 21 C และ 22)

4.5 จากการข้อมูลแบบ C-banding พบร่วมๆ โครโนโซมบางคู่มี band เกิดขึ้นชัดเจน ได้แก่ โครโนโซมคู่ที่ 3, 4, 6, 7 และ 8 พบร่วมๆ band เกิดขึ้นบริเวณ centromere โครโนโซมคู่ที่ 1 พบร่วมๆ band ขนาดใหญ่ตลอดความยาวของแขนข้างยาวของโครโนโซม และ โครโนโซมคู่ที่ 2, 5, 9 และ 10 พบร่วมๆ band บริเวณแขนข้างสั้นของโครโนโซม (รูป 21 D และ 22)

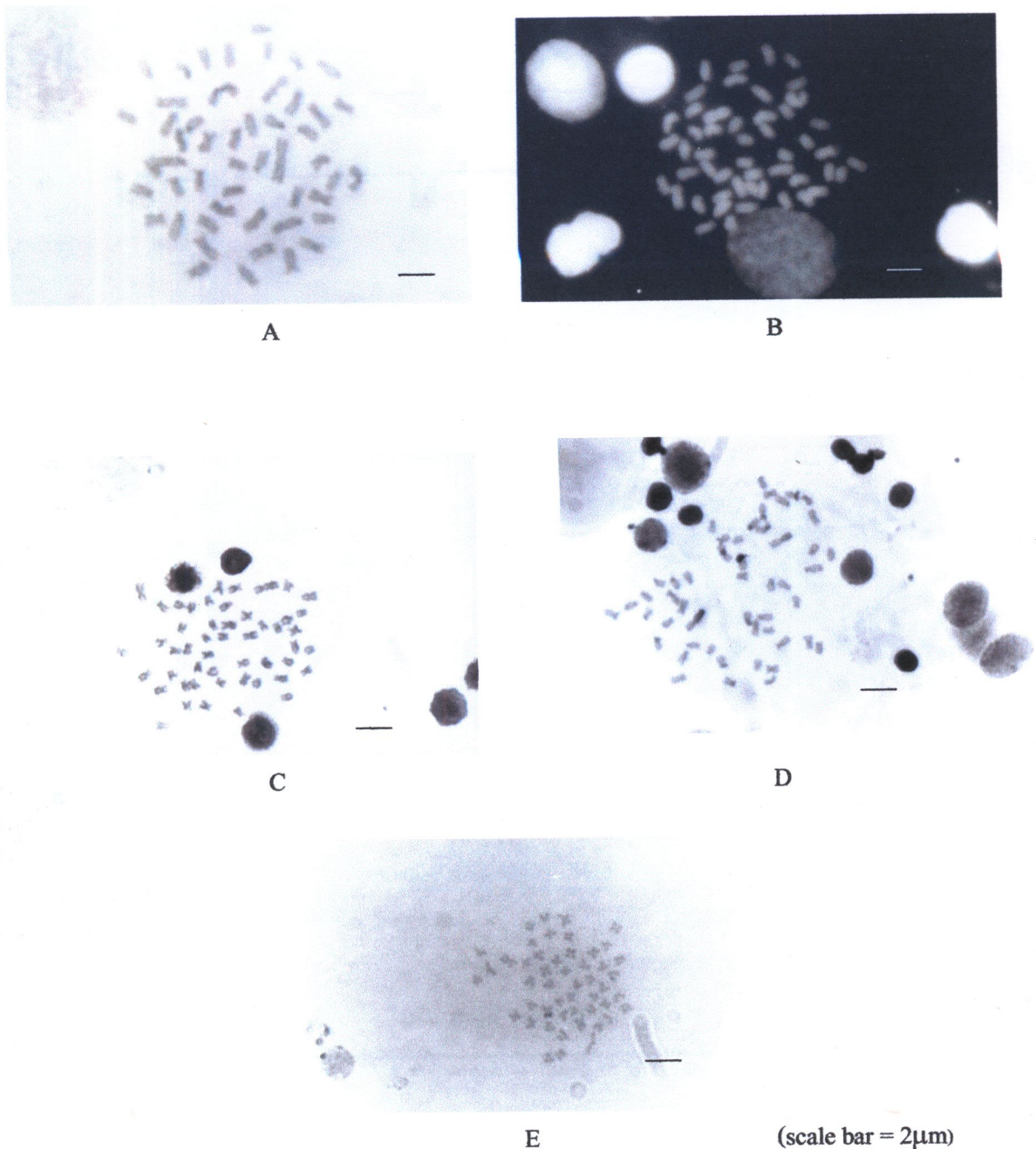
4.6 จากการข้อมูลแบบ NOR banding พบร่วมๆ แขนข้างสั้นของโครโนโซมคู่ที่ 2 ปรากฏ NOR band ซึ่งตำแหน่งดังกล่าวเมื่อข้อมูลด้วยวิธี C-banding จะติดสีเข้มที่บริเวณเดียวกัน (รูป 21 E และ 22)

(scale bar = 2 μ m)

รูป 19 โครโนโซมระยะ metaphase ของ *Schistura nicholsi* ที่อ่อนสีแบบ Giemsa stained

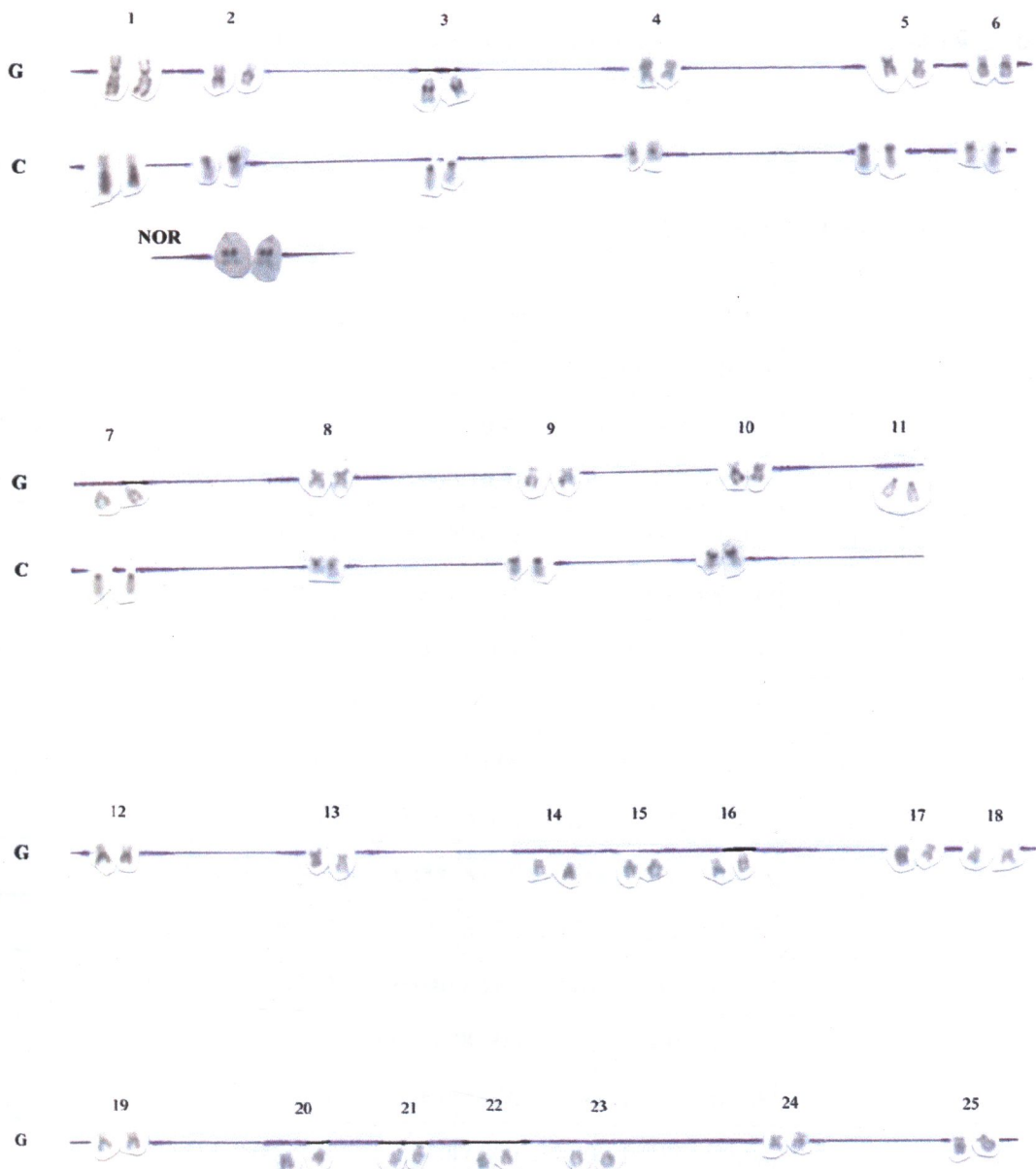


รูป 20 คาริโอไทป์ของ *Schistura nicholsi* ซึ่งประกอบด้วย 6m+16sm+8a+20t (2n=50)



รูป 21 โครโนมโซนาระยะ metaphase ของ *Schistura nicholsi*

A) Giemsa stained, B) Q-banding, C) G-banding, D) C-banding, E) NOR banding



รูป 22 карิโอไทป์ของ *Schistura nicholsi* ผู้อนุสัมบพิเศษ

G: G-banding, C: C-banding และ NOR: NOR banding

ตาราง 8 ความยาวเฉลี่ย (หน่วยสัมพัทธ์) ของโครโน่โซนจากเซลล์ของ *Schistura nicholsi* จำนวน 10 เซลล์

| Chromosome pair | Ls ± SD | Ll ± SD | Lt ± SD | Cl ± SD | Type |
|-----------------|---------------|---------------|---------------|---------------|------|
| 1 | 5.120 ± 0.248 | 8.820 ± 0.194 | 13.94 ± 0.102 | 0.633 ± 0.254 | sm |
| 2 | 3.840 ± 0.102 | 6.860 ± 0.080 | 10.70 ± 0.126 | 0.641 ± 0.259 | sm |
| 3 | 0.000 ± 0.000 | 10.42 ± 0.040 | 10.42 ± 0.040 | 1.000 ± 0.408 | t |
| 4 | 4.460 ± 0.080 | 5.800 ± 0.000 | 10.26 ± 0.080 | 0.565 ± 0.229 | m |
| 5 | 4.020 ± 0.040 | 6.140 ± 0.102 | 10.16 ± 0.102 | 0.604 ± 0.245 | sm |
| 6 | 3.580 ± 0.312 | 6.120 ± 0.312 | 9.700 ± 0.000 | 0.631 ± 0.248 | sm |
| 7 | 0.000 ± 0.000 | 9.440 ± 0.049 | 9.440 ± 0.049 | 1.000 ± 0.408 | t |
| 8 | 4.540 ± 0.049 | 4.600 ± 0.000 | 9.140 ± 0.049 | 0.503 ± 0.204 | m |
| 9 | 2.180 ± 0.040 | 6.880 ± 0.075 | 9.060 ± 0.102 | 0.759 ± 0.309 | a |
| 10 | 3.260 ± 0.120 | 5.560 ± 0.080 | 8.820 ± 0.117 | 0.630 ± 0.253 | sm |
| 11 | 0.000 ± 0.000 | 8.600 ± 0.000 | 8.600 ± 0.000 | 1.000 ± 0.408 | t |
| 12 | 4.120 ± 0.040 | 4.300 ± 0.063 | 8.420 ± 0.075 | 0.511 ± 0.207 | m |
| 13 | 3.040 ± 0.049 | 5.220 ± 0.040 | 8.260 ± 0.049 | 0.632 ± 0.256 | sm |
| 14 | 0.000 ± 0.000 | 8.000 ± 0.063 | 8.000 ± 0.063 | 1.000 ± 0.408 | t |
| 15 | 0.000 ± 0.000 | 7.920 ± 0.040 | 7.920 ± 0.040 | 1.000 ± 0.408 | t |
| 16 | 0.000 ± 0.000 | 7.800 ± 0.000 | 7.800 ± 0.000 | 1.000 ± 0.408 | t |
| 17 | 1.780 ± 0.040 | 6.000 ± 0.000 | 7.780 ± 0.040 | 0.771 ± 0.313 | a |
| 18 | 1.720 ± 0.040 | 5.920 ± 0.040 | 7.640 ± 0.049 | 0.775 ± 0.314 | a |
| 19 | 2.600 ± 0.000 | 4.820 ± 0.075 | 7.420 ± 0.075 | 0.650 ± 0.264 | sm |
| 20 | 0.000 ± 0.000 | 7.300 ± 0.000 | 7.300 ± 0.000 | 1.000 ± 0.408 | t |
| 21 | 0.000 ± 0.000 | 7.120 ± 0.040 | 7.120 ± 0.040 | 1.000 ± 0.408 | t |
| 22 | 0.000 ± 0.000 | 7.040 ± 0.049 | 7.040 ± 0.049 | 1.000 ± 0.408 | t |
| 23 | 0.000 ± 0.000 | 6.920 ± 0.040 | 6.920 ± 0.040 | 1.000 ± 0.408 | t |
| 24 | 1.920 ± 0.040 | 4.760 ± 0.080 | 6.680 ± 0.075 | 0.713 ± 0.288 | sm |
| 25 | 1.480 ± 0.040 | 4.880 ± 0.075 | 6.360 ± 0.102 | 0.767 ± 0.312 | a |

5. *Schistura obeini*

5.1 จากตารางที่ 4 จะเห็นว่าร้อยละ 92 ของจำนวนเซลล์ที่ตรวจนับโครโนโซม มีจำนวนโครโนโซมเท่ากับ 50 สรุปว่า平民นิคนี้มีจำนวนโครโนโซม $2n=50$ มีความยาวในช่วง 1.6-0.8 μm

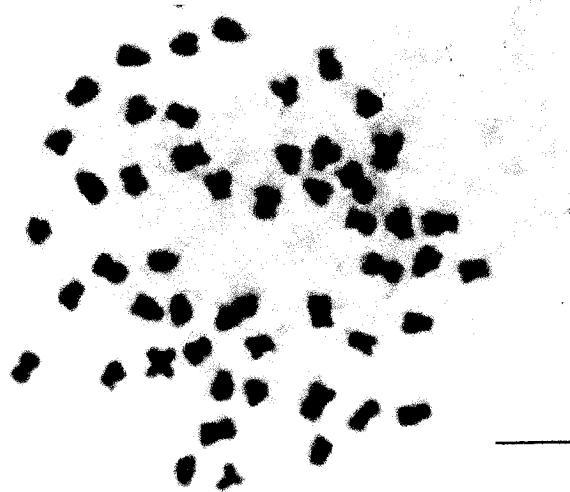
5.2 มีการไอโซไพรอกอนคัวย์โครโนโซมแบบ metacentric จำนวน 6 คู่ ได้แก่ โครโนโซมคู่ที่ 1, 2, 4, 5, 6 และ 12 โครโนโซมแบบ submetacentric จำนวน 5 คู่ ได้แก่ โครโนโซมคู่ที่ 3, 13, 19, 20 และ 21 โครโนโซมแบบ acrocentric จำนวน 2 คู่ ได้แก่ โครโนโซมคู่ที่ 7 และ 15 โครโนโซมแบบ telocentric จำนวน 12 คู่ ได้แก่ โครโนโซมคู่ที่ 8, 9, 10, 11, 14, 16, 17, 18, 22, 23, 24 และ 25 (รูป 23, 24 และตาราง 9)

5.3 จากการข้อมูลแบบ Q-banding ไม่พบ band ที่ชัดเจนเกิดขึ้น (รูป 25 B)

5.4 จากการข้อมูลแบบ G-banding พบร่วมกันของโครโนโซมแบบ metacentric, submetacentric และ acrocentric บางคู่มี band ทั้ง 2 แขนที่กระจายตัวในรูปแบบที่เหมือนกันเป็นคู่ๆ ได้แก่ โครโนโซมคู่ที่ 1, 2, 3, 4, 15 และ 20 โครโนโซมแบบ telocentric บางคู่มี band กระจายตัวในรูปแบบที่เหมือนกันเป็นคู่ๆ ได้แก่ โครโนโซมคู่ที่ 10, 16, 23 และ 24 (รูป 25 C และ 26)

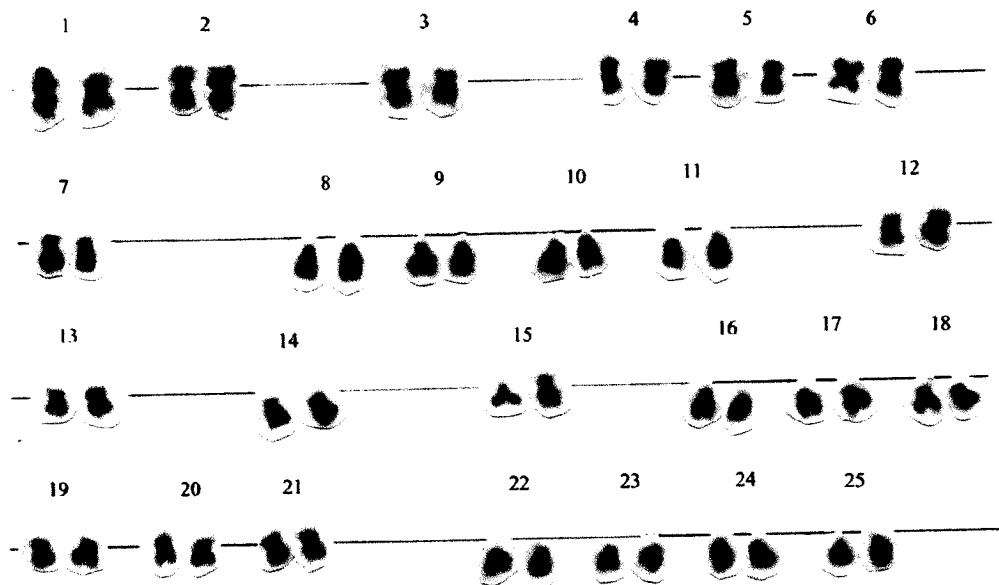
5.5 จากการข้อมูลแบบ C-banding พบร่วมกันของโครโนโซมบางคู่มี band เกิดขึ้นชัดเจน ได้แก่ โครโนโซมคู่ที่ 4, 5, 8, 9, 11 และ 23 พบร่วมกันบริเวณ centromere โครโนโซมคู่ที่ 10 มี band เกิดขึ้นบริเวณตรงกลางของแขนของโครโนโซม โครโนโซมคู่ที่ 1 และ 2 พบร่วมกัน band ตลอดความยาวของแขนข้างขวาของโครโนโซม โครโนโซมคู่ที่ 3, 13 และ 19 พบร่วมกันบริเวณแขนข้างสันของโครโนโซม และ โครโนโซมคู่ที่ 7 และ 15 พบร่วมกันบริเวณแขนข้างสันของโครโนโซมและบริเวณแขนข้างขวาของโครโนโซมใกล้ตำแหน่ง centromere (รูป 25 D และ 26)

5.6 จากการข้อมูลแบบ NOR banding พบร่วมกันบริเวณแขนข้างสันของโครโนโซมคู่ที่ 3 ปรากฏ NOR band ซึ่งตำแหน่งดังกล่าวเมื่อข้อมูลคัวย์ C-banding จะคิดสีเข้มที่บริเวณเดียวกัน (รูป 25 E และ 26)

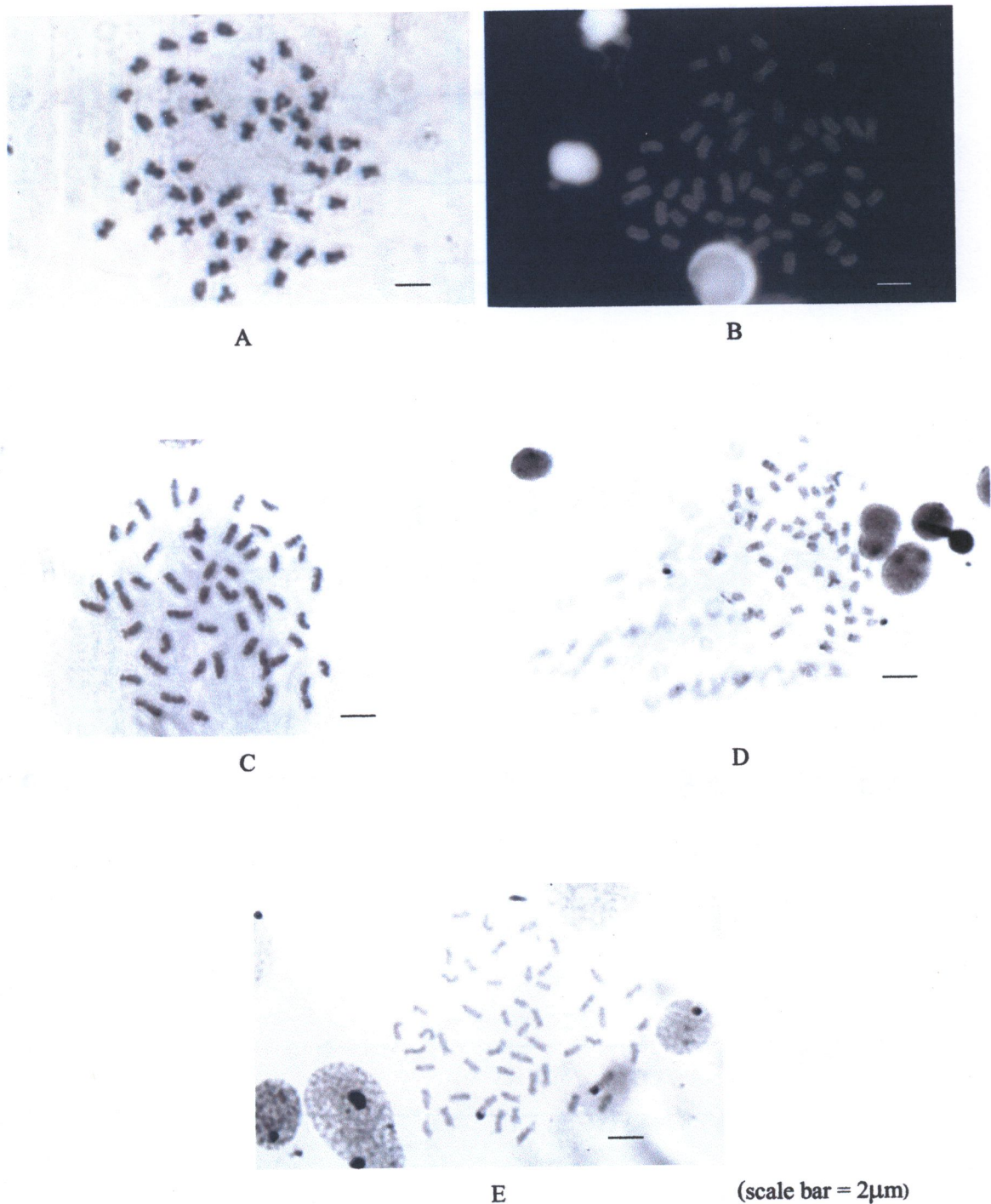


(scale bar = 2μm)

รูป 23 โครงโน้มระยะ metaphase ของ *Schistura obeini* ข้อมูลแบบ Giemsa stained

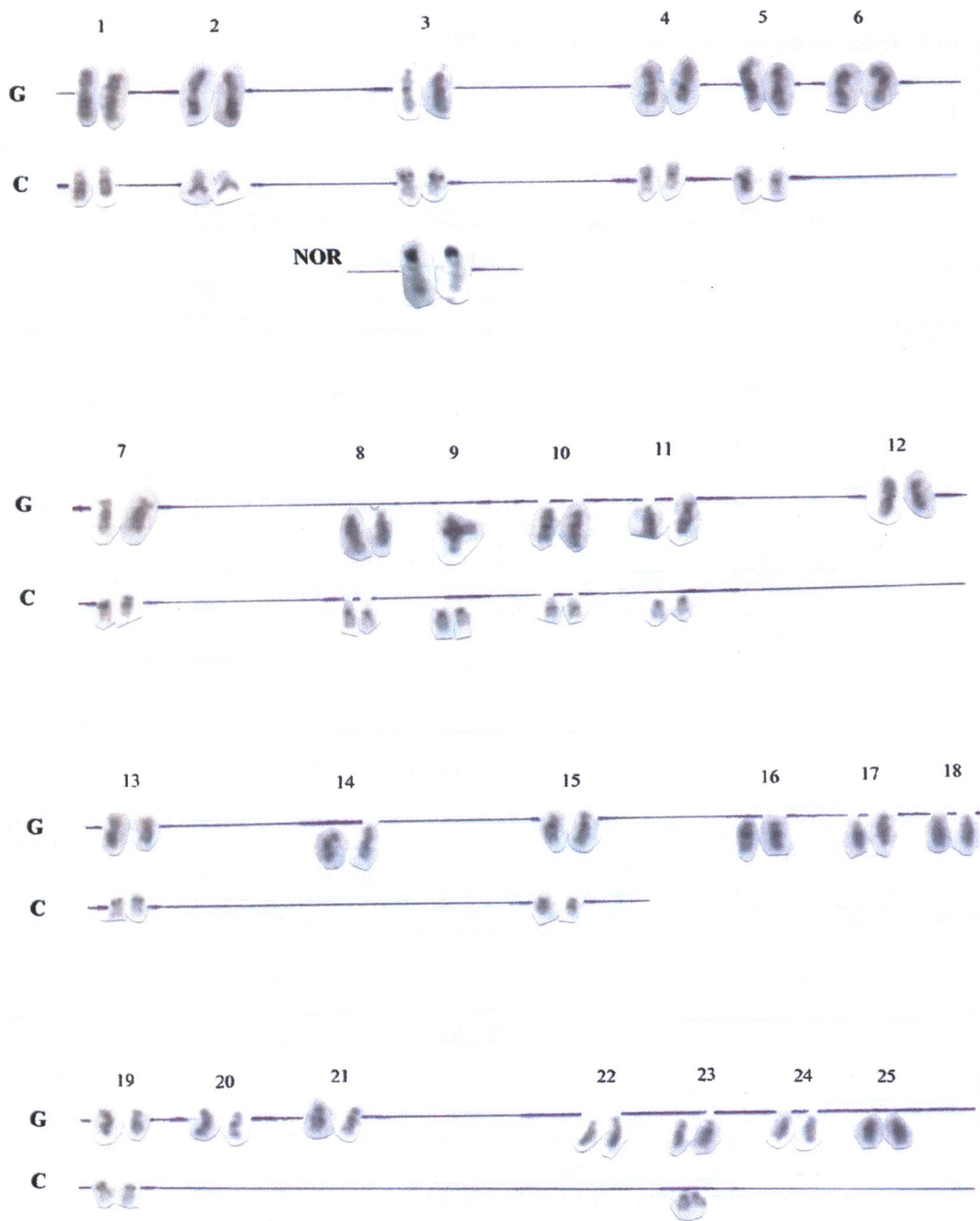


รูป 24 คาริโอไทร์ของ *Schistura obeini* ซึ่งประกอบด้วย 12m+10sm+4a+24t (2n=50)



รูป 25 โครงโน้มโชนะระยะ metaphase ของ *Schistura obeini*

A) Giemsa stained, B) Q-banding, C) G-banding, D) C-banding, E) NOR banding



รูป 26 คาร์บอไทด์ของ *Schistura obeini* ข้อมูลแบบพิเศษ

G: G-banding, C: C-banding และ NOR: NOR banding

ตาราง 9 ความยาวเฉลี่ย (หน่วยสัมพทธ.) ของโครโน่โซมจากเซลล์ของ *Schistura obeini* จำนวน 10 เซลล์

| Chromosome pair | Ls ± SD | Li ± SD | Lt ± SD | Cl ± SD | Type |
|-----------------|---------------|---------------|---------------|---------------|------|
| 1 | 5.080 ± 0.075 | 5.320 ± 0.147 | 10.40 ± 0.190 | 0.511 ± 0.207 | m |
| 2 | 4.100 ± 0.126 | 4.600 ± 0.167 | 8.700 ± 0.228 | 0.529 ± 0.212 | m |
| 3 | 3.060 ± 0.102 | 5.280 ± 0.098 | 8.340 ± 0.136 | 0.633 ± 0.255 | sm |
| 4 | 3.620 ± 0.160 | 4.300 ± 0.063 | 7.920 ± 0.147 | 0.543 ± 0.216 | m |
| 5 | 3.560 ± 0.080 | 4.140 ± 0.049 | 7.700 ± 0.126 | 0.538 ± 0.218 | m |
| 6 | 3.680 ± 0.040 | 3.800 ± 0.089 | 7.480 ± 0.098 | 0.508 ± 0.205 | m |
| 7 | 1.580 ± 0.040 | 5.760 ± 0.080 | 7.340 ± 0.102 | 0.785 ± 0.319 | a |
| 8 | 0.000 ± 0.000 | 7.220 ± 0.075 | 7.220 ± 0.075 | 1.000 ± 0.408 | t |
| 9 | 0.000 ± 0.000 | 7.160 ± 0.080 | 7.160 ± 0.080 | 1.000 ± 0.408 | t |
| 10 | 0.000 ± 0.000 | 7.060 ± 0.080 | 7.060 ± 0.080 | 1.000 ± 0.408 | t |
| 11 | 0.000 ± 0.000 | 6.940 ± 0.049 | 6.940 ± 0.049 | 1.000 ± 0.408 | t |
| 12 | 3.260 ± 0.080 | 3.560 ± 0.080 | 6.820 ± 0.098 | 0.522 ± 0.210 | m |
| 13 | 2.300 ± 0.063 | 4.340 ± 0.049 | 6.640 ± 0.102 | 0.654 ± 0.265 | sm |
| 14 | 0.000 ± 0.000 | 6.560 ± 0.080 | 6.560 ± 0.080 | 1.000 ± 0.408 | t |
| 15 | 1.360 ± 0.049 | 5.120 ± 0.098 | 6.480 ± 0.117 | 0.790 ± 0.319 | a |
| 16 | 0.000 ± 0.000 | 6.320 ± 0.075 | 6.320 ± 0.075 | 1.000 ± 0.408 | t |
| 17 | 0.000 ± 0.000 | 6.220 ± 0.040 | 6.220 ± 0.040 | 1.000 ± 0.408 | t |
| 18 | 0.000 ± 0.000 | 6.140 ± 0.102 | 6.140 ± 0.102 | 1.000 ± 0.408 | t |
| 19 | 2.060 ± 0.049 | 4.000 ± 0.110 | 6.060 ± 0.120 | 0.660 ± 0.266 | sm |
| 20 | 1.660 ± 0.080 | 4.360 ± 0.080 | 6.020 ± 0.133 | 0.724 ± 0.291 | sm |
| 21 | 1.640 ± 0.080 | 4.280 ± 0.098 | 5.920 ± 0.133 | 0.723 ± 0.291 | sm |
| 22 | 0.000 ± 0.000 | 5.820 ± 0.133 | 5.820 ± 0.133 | 1.000 ± 0.408 | t |
| 23 | 0.000 ± 0.000 | 5.720 ± 0.133 | 5.720 ± 0.133 | 1.000 ± 0.408 | t |
| 24 | 0.000 ± 0.000 | 5.420 ± 0.147 | 5.420 ± 0.147 | 1.000 ± 0.408 | t |
| 25 | 0.000 ± 0.000 | 5.060 ± 0.120 | 5.060 ± 0.120 | 1.000 ± 0.408 | t |

6. *Schistura cf. robertsi* 1

6.1 จากตารางที่ 4 จะเห็นว่าร้อยละ 96 ของจำนวนเซลล์ที่ตรวจพบในโครโนไซม มีจำนวนโครโนไซมเท่ากับ 50 สรุปว่าปลาชนิดนี้มีจำนวนโครโนไซม $2n=50$ มีความกว้างช่วง 1.6- $0.5 \mu\text{m}$

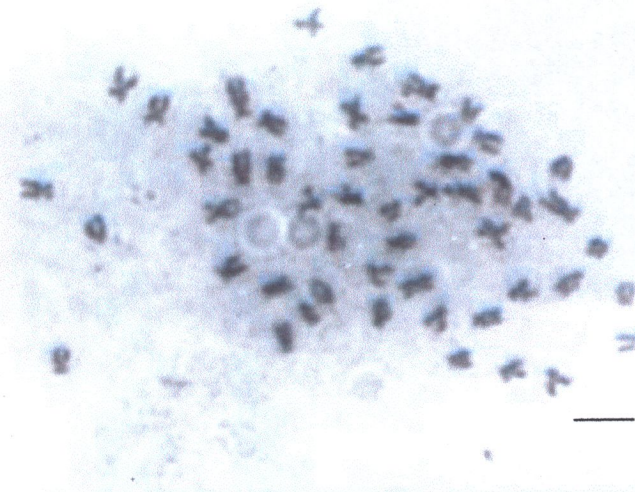
6.2 มีการໂອໄກປประกอบด้วยโครโนไซมแบบ metacentric จำนวน 2 คู่ ได้แก่ โครโนไซมคู่ที่ 2 และ 6 โครโนไซมแบบ submetacentric จำนวน 4 คู่ ได้แก่ โครโนไซมคู่ที่ 3, 7, 8 และ 10 โครโนไซมแบบ acrocentric จำนวน 4 คู่ ได้แก่ โครโนไซมคู่ที่ 1, 4, 15 และ 16 โครโนไซมแบบ telocentric จำนวน 15 คู่ ได้แก่ โครโนไซมคู่ที่ 5, 10, 11, 12, 13, 14, 17, 18, 19, 20, 21, 22, 23, 24 และ 25 (รูป 27, 28 และตาราง 10)

6.3 จากการข้อมูล Q-banding ไม่พบ band ที่ชัดเจนเกิดขึ้น (รูป 29 B)

6.4 จากการข้อมูล G-banding พบร่วมกันที่โครโนไซมแบบ metacentric, submetacentric และ acrocentric บางคู่มี band ทั้ง 2 แขนที่กระจายตัวในรูปแบบที่เหมือนกันเป็นคู่ๆ ได้แก่ โครโนไซมคู่ที่ 1, 2, 3, 4, 7, 8, 15 และ 16 โครโนไซมแบบ telocentric บางคู่มี band กระจายตัวในรูปแบบที่เหมือนกันเป็นคู่ๆ ได้แก่ โครโนไซมคู่ที่ 5, 10, 11, 12, 14, 18, 21, 23 และ 25 (รูป 29 C และ 30)

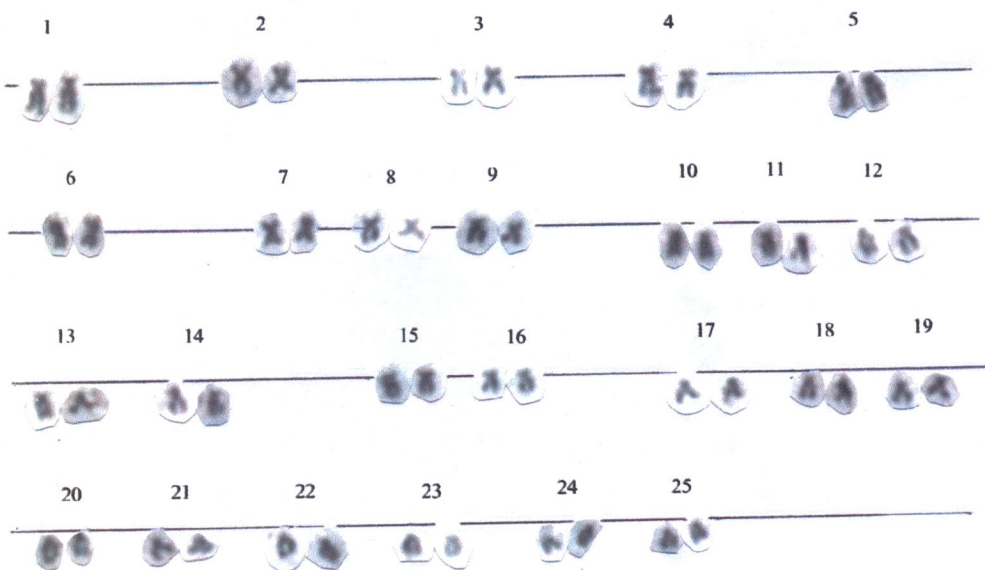
6.5 จากการข้อมูล C-banding พบร่วมกับโครโนไซมบางคู่มี band เกิดขึ้นชัดเจน ได้แก่ โครโนไซมคู่ที่ 2, 3, 5, 10 และ 18 พน band เกิดขึ้นบริเวณ centromere โครโนไซมคู่ที่ 1 และ 11 มี band เกิดขึ้นบริเวณตรงกลางของแขนข้างขวาของโครโนไซม โครโนไซมคู่ที่ 6 และ 7 พนร่วมกับ band ขนาดใหญ่ที่บริเวณปลายแขนข้างขวาของโครโนไซม (telomere) และโครโนไซมคู่ที่ 4 พน band บริเวณแขนข้างซ้ายของโครโนไซม (รูป 29 D และ 30)

6.6 จากการข้อมูล NOR banding พบร่วมกับโครโนไซมคู่ที่ 4 ปรากฏ NOR band ซึ่งตำแหน่งดังกล่าวเมื่อย้อมด้วยวิธี C-banding จะติดสีเข้มที่บริเวณเดียวกัน (รูป 29 E และ 30)

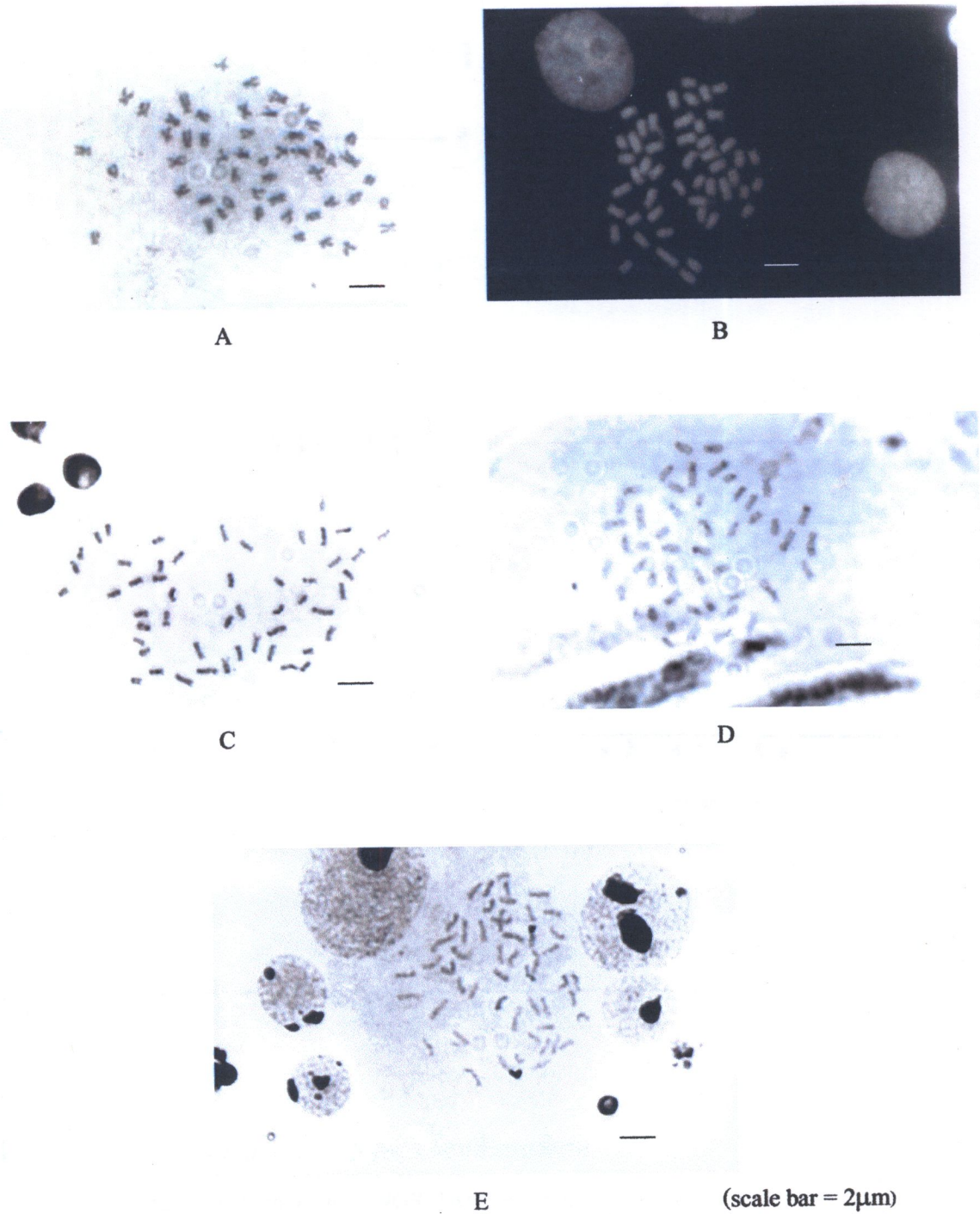


(scale bar = 2μm)

รูป 27 โครโนม ไชนาระยะ metaphase ของ *Schistura cf. robertsi* 1 ข้อมูลแบบ Giemsa stained

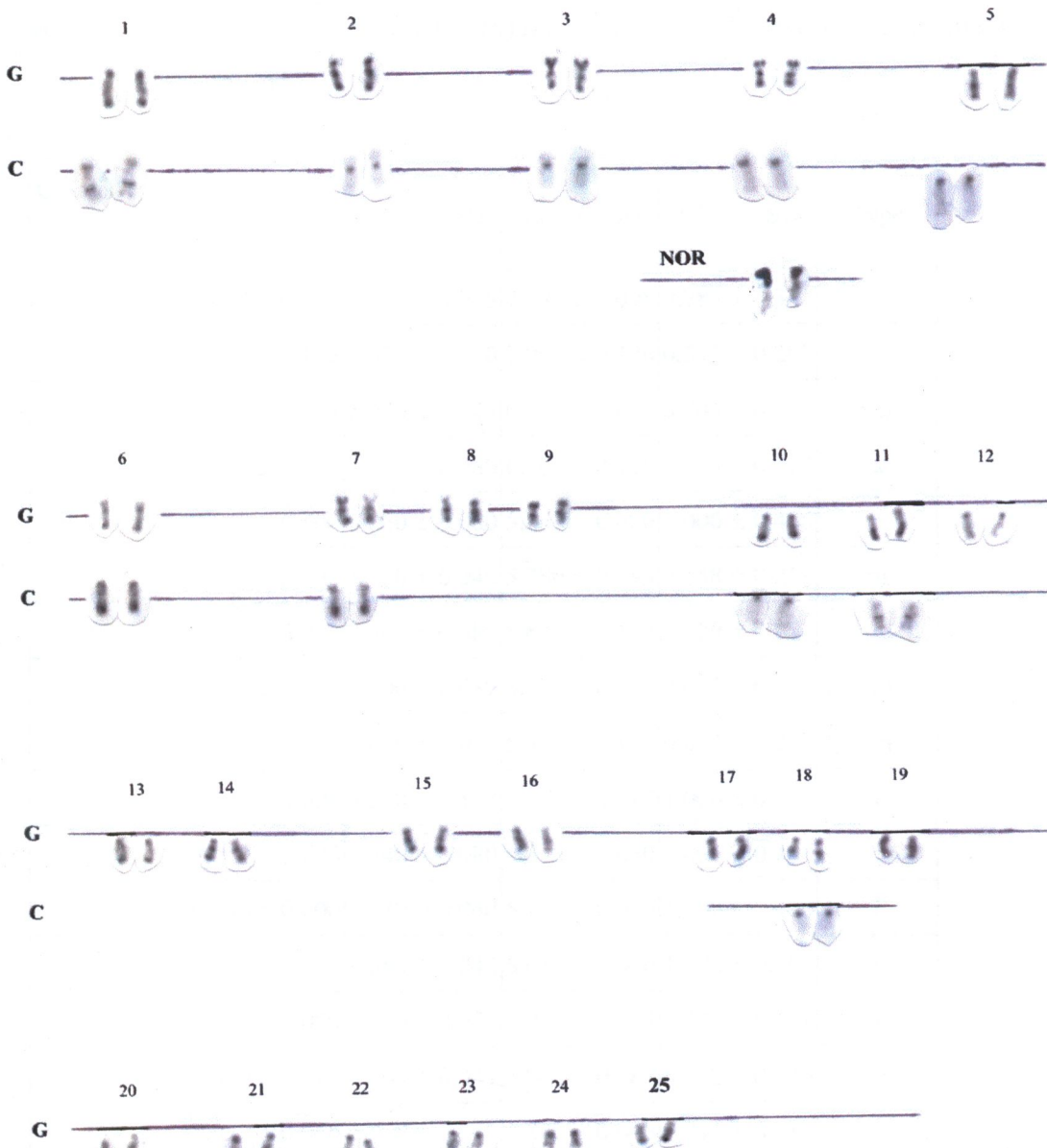


รูป 28 คาเริโอไทป์ของ *Schistura cf. robertsi* 1 ซึ่งประกอบด้วย 4m+8sm+8a+30t (2n=50)



รูป 29 โครโนม ไชมระยะ metaphase ของ *Schistura cf. robertsi* 1

A) Giemsa stained, B) Q-banding, C) G-banding, D) C-banding, E) NOR banding



รูป 30 คาร์บอโนฟิลของ *Schistura cf. robertsi* 1 ชื่อมตีแบบพิเศษ

G: G-banding, C: C-banding และ NOR: NOR banding

ตาราง 10 ความยาวเฉลี่ย (หน่วยสัมพัทธ์) ของโครโนไซนจากเซลล์ของ *Schistura cf. robertsi* 1
จำนวน 10 เซลล์

| Chromosome pair | Ls ± SD | L1 ± SD | Lt ± SD | CI ± SD | Type |
|-----------------|---------------|---------------|---------------|---------------|------|
| 1 | 1.600 ± 0.063 | 5.780 ± 0.075 | 7.380 ± 0.098 | 0.783 ± 0.317 | a |
| 2 | 3.380 ± 0.117 | 3.620 ± 0.040 | 7.000 ± 0.126 | 0.517 ± 0.207 | m |
| 3 | 1.740 ± 0.049 | 5.040 ± 0.049 | 6.780 ± 0.098 | 0.743 ± 0.302 | sm |
| 4 | 1.400 ± 0.063 | 4.760 ± 0.080 | 6.160 ± 0.120 | 0.773 ± 0.313 | a |
| 5 | 0.000 ± 0.000 | 5.860 ± 0.080 | 5.860 ± 0.080 | 1.000 ± 0.408 | t |
| 6 | 2.560 ± 0.196 | 3.220 ± 0.040 | 5.780 ± 0.183 | 0.558 ± 0.219 | m |
| 7 | 2.100 ± 0.063 | 3.560 ± 0.080 | 5.660 ± 0.120 | 0.629 ± 0.254 | sm |
| 8 | 2.200 ± 0.063 | 3.400 ± 0.089 | 5.600 ± 0.141 | 0.607 ± 0.246 | sm |
| 9 | 1.800 ± 0.063 | 3.680 ± 0.075 | 5.480 ± 0.133 | 0.672 ± 0.273 | sm |
| 10 | 0.000 ± 0.000 | 5.320 ± 0.117 | 5.320 ± 0.117 | 1.000 ± 0.408 | t |
| 11 | 0.000 ± 0.000 | 5.240 ± 0.080 | 5.240 ± 0.080 | 1.000 ± 0.408 | t |
| 12 | 0.000 ± 0.000 | 5.120 ± 0.040 | 5.120 ± 0.040 | 1.000 ± 0.408 | t |
| 13 | 0.000 ± 0.000 | 5.080 ± 0.040 | 5.080 ± 0.040 | 1.000 ± 0.408 | t |
| 14 | 0.000 ± 0.000 | 5.020 ± 0.075 | 5.020 ± 0.075 | 1.000 ± 0.408 | t |
| 15 | 1.040 ± 0.049 | 3.960 ± 0.049 | 5.000 ± 0.089 | 0.792 ± 0.320 | a |
| 16 | 1.020 ± 0.040 | 3.860 ± 0.049 | 4.880 ± 0.040 | 0.791 ± 0.319 | a |
| 17 | 0.000 ± 0.000 | 4.740 ± 0.049 | 4.740 ± 0.049 | 1.000 ± 0.408 | t |
| 18 | 0.000 ± 0.000 | 4.680 ± 0.040 | 4.680 ± 0.040 | 1.000 ± 0.408 | t |
| 19 | 0.000 ± 0.000 | 4.620 ± 0.075 | 4.620 ± 0.075 | 1.000 ± 0.408 | t |
| 20 | 0.000 ± 0.000 | 4.520 ± 0.040 | 4.520 ± 0.040 | 1.000 ± 0.408 | t |
| 21 | 0.000 ± 0.000 | 4.480 ± 0.040 | 4.480 ± 0.040 | 1.000 ± 0.408 | t |
| 22 | 0.000 ± 0.000 | 4.380 ± 0.075 | 4.380 ± 0.075 | 1.000 ± 0.408 | t |
| 23 | 0.000 ± 0.000 | 4.200 ± 0.126 | 4.200 ± 0.126 | 1.000 ± 0.408 | t |
| 24 | 0.000 ± 0.000 | 3.920 ± 0.075 | 3.920 ± 0.075 | 1.000 ± 0.408 | t |
| 25 | 0.000 ± 0.000 | 3.520 ± 0.183 | 3.520 ± 0.183 | 1.000 ± 0.408 | t |

7. *Schistura cf. robertsi* 2

7.1 จากตารางที่ 4 จะเห็นว่าร้อยละ 94 ของจำนวนเซลล์ที่ตรวจนับโครโน่โชน มีจำนวนโครโน่โชนเท่ากับ 50 สรุปว่าปลาชนิดนี้มีจำนวนโครโน่โชน $2n=50$ มีความกว้างในช่วง 1.5-0.5 μm

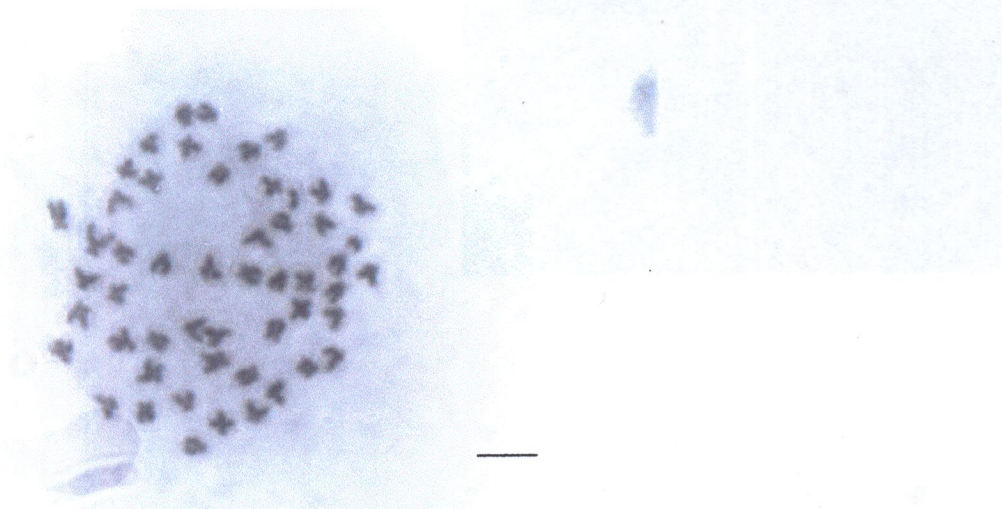
7.2 มีการໂອໄທປีประกอบด้วยโครโน่โชนแบบ metacentric จำนวน 3 คู่ ได้แก่ โครโน่โชนคู่ที่ 4, 5 และ 13 โครโน่โชนแบบ submetacentric จำนวน 6 คู่ ได้แก่ โครโน่โชนคู่ที่ 2, 8, 14, 15, 16 และ 25 โครโน่โชนแบบ acrocentric จำนวน 5 คู่ ได้แก่ โครโน่โชนคู่ที่ 1, 3, 9, 17 และ 21 โครโน่โชนแบบ telocentric จำนวน 11 คู่ ได้แก่ โครโน่โชนคู่ที่ 6, 7, 10, 11, 12, 18, 19, 20, 22, 23 และ 24 (รูป 31, 32 และตาราง 11)

7.3 จากการข้อมูลแบบ Q-banding ไม่พบ band ที่ชัดเจนเกิดขึ้น (รูป 33 B)

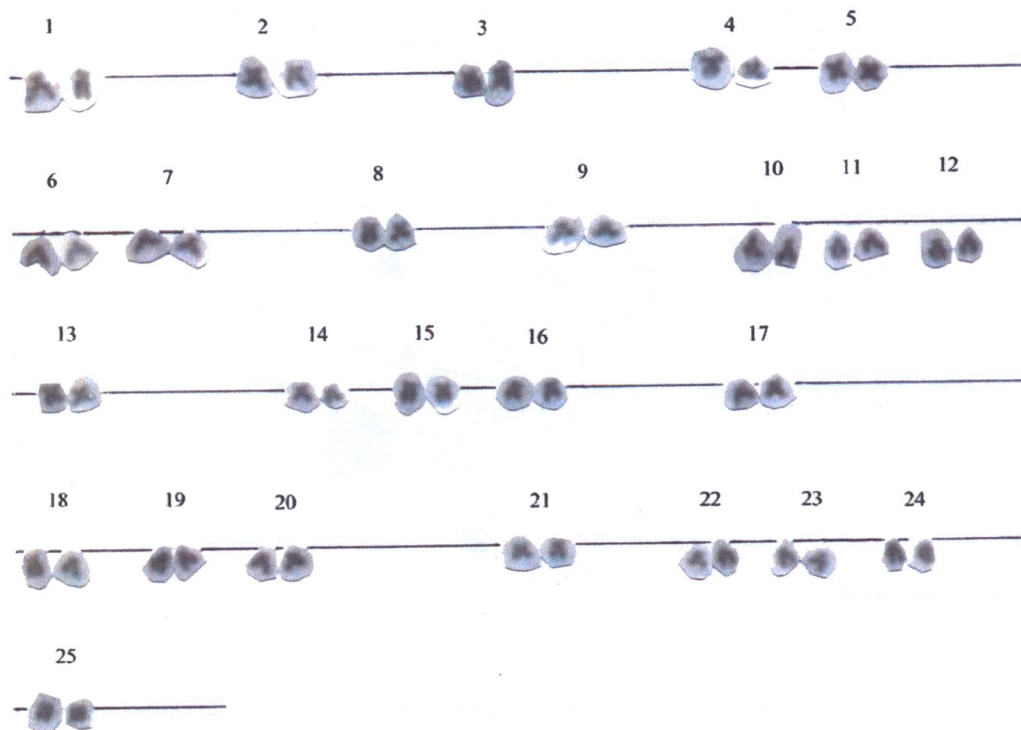
7.4 จากการข้อมูลแบบ G-banding พบร่วมๆ โครโน่โชนแบบ metacentric, submetacentric และ acrocentric บางคู่มี band ทั้ง 2 แขนที่กระจายทั่วในรูปแบบที่เหมือนกันเป็นคู่ๆ ได้แก่ โครโน่โชนคู่ที่ 1, 3, 8 และ 9 โครโน่โชนแบบ telocentric บางคู่มี band กระจายทั่วในรูปแบบที่เหมือนกันเป็นคู่ๆ ได้แก่ โครโน่โชนคู่ที่ 7 (รูป 33 C และ 34)

7.5 จากการข้อมูลแบบ C-banding พบร่วมๆ โครโน่โชนบางคู่มี band เกิดขึ้นชัดเจน ได้แก่ โครโน่โชนคู่ที่ 2, 4, 5, 6, 7 และ 8 พบร่วมๆ band เกิดขึ้นบริเวณ centromere และ โครโน่โชนคู่ที่ 1 และ 3 พบร่วมๆ บริเวณแขนข้างสันของโครโน่โชน (รูป 33 D และ 34)

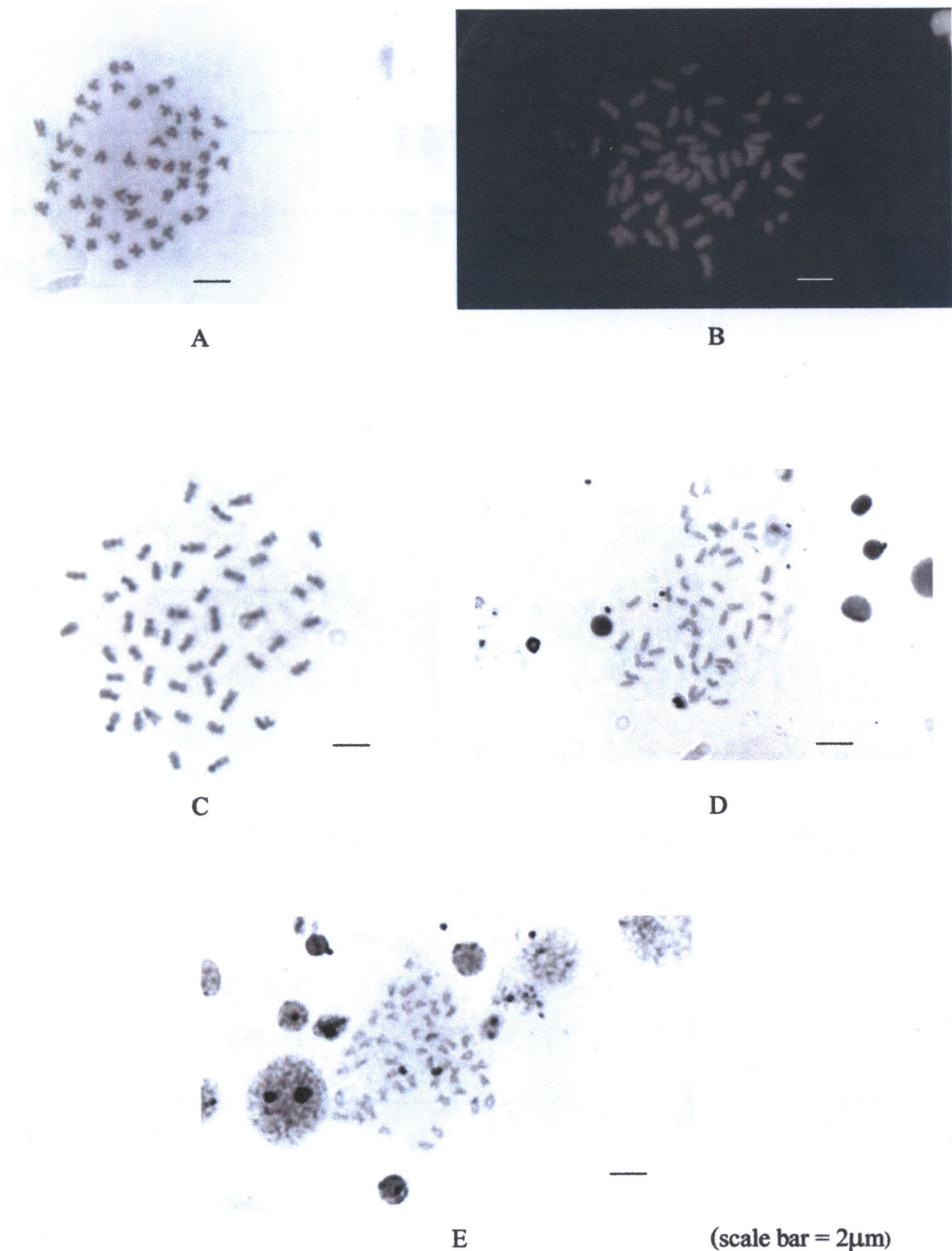
7.6 จากการข้อมูลแบบ NOR banding พบร่วมๆ แขนข้างสันของโครโน่โชนคู่ที่ 1 ปรากฏ NOR band ซึ่งตำแหน่งดังกล่าวเมื่อข้อมูลด้วยวิธี C-banding จะติดสีเข้มที่บริเวณเดียวกัน (รูป 33 E และ 34)

(scale bar = 2 μ m)

รูป 31 โครโนโซนระยะ metaphase ของ *Schistura cf. robertsi* 2 ข้อมูลแบบ Giemsa stained

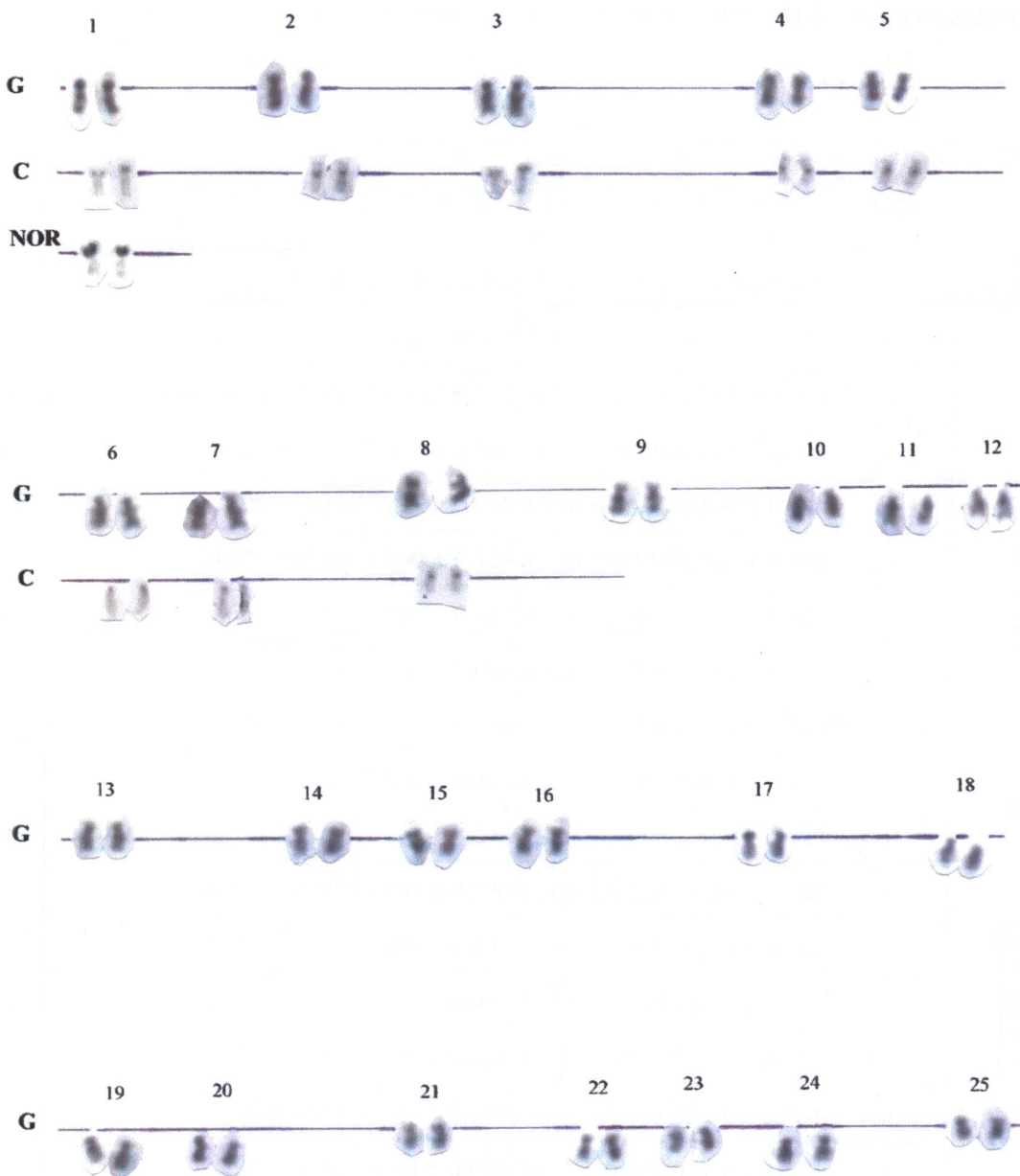


รูป 32 คาริโอไทป์ของ *Schistura cf. robertsi* 2 ซึ่งประกอบด้วย 6m+12sm+10a+22t (2n=50)



รูป 33 โครโนโซมระหะ metaphase ของ *Schistura cf. robertsi* 2

A) Giemsa stained, B) Q-banding, C) G-banding, D) C-banding, E) NOR banding



รูป 34 คาริโอไทป์ของ *Schistura cf. robertsi* 2 ข้อมตีแบบพิเศษ

G: G-banding, C: C-banding และ NOR: NOR banding

ตาราง 11 ความยาวเฉลี่ย (หน่วยสัมพทธ.) ของโครโนโซนจากเซลล์ของ *Schistura cf. robertsi* 2 จำนวน 10 เซลล์

| Chromosome pair | Ls ± SD | L1 ± SD | Lt ± SD | CI ± SD | Type |
|-----------------|---------------|---------------|---------------|---------------|------|
| 1 | 1.220 ± 0.040 | 4.520 ± 0.160 | 5.74 ± 0.196 | 0.787 ± 0.320 | a |
| 2 | 1.800 ± 0.126 | 3.68 ± 0.117 | 5.48 ± 0.240 | 0.672 ± 0.270 | sm |
| 3 | 0.940 ± 0.049 | 3.620 ± 0.147 | 4.56 ± 0.196 | 0.794 ± 0.323 | a |
| 4 | 2.160 ± 0.196 | 2.400 ± 0.000 | 4.56 ± 0.196 | 0.527 ± 0.206 | m |
| 5 | 2.200 ± 0.000 | 2.280 ± 0.098 | 4.480 ± 0.098 | 0.509 ± 0.204 | m |
| 6 | 0.000 ± 0.000 | 4.300 ± 0.126 | 4.300 ± 0.126 | 1.000 ± 0.408 | t |
| 7 | 0.000 ± 0.000 | 4.120 ± 0.147 | 4.120 ± 0.147 | 1.000 ± 0.408 | t |
| 8 | 1.280 ± 0.098 | 2.740 ± 0.080 | 4.020 ± 0.160 | 0.682 ± 0.272 | sm |
| 9 | 0.900 ± 0.000 | 3.080 ± 0.098 | 3.980 ± 0.098 | 0.774 ± 0.314 | a |
| 10 | 0.000 ± 0.000 | 3.880 ± 0.098 | 3.880 ± 0.098 | 1.000 ± 0.408 | t |
| 11 | 0.000 ± 0.000 | 3.780 ± 0.098 | 3.780 ± 0.098 | 1.000 ± 0.408 | t |
| 12 | 0.000 ± 0.000 | 3.700 ± 0.126 | 3.700 ± 0.126 | 1.000 ± 0.408 | t |
| 13 | 1.680 ± 0.098 | 2.000 ± 0.000 | 3.680 ± 0.098 | 0.544 ± 0.216 | m |
| 14 | 1.300 ± 0.000 | 2.280 ± 0.098 | 3.580 ± 0.098 | 0.637 ± 0.257 | sm |
| 15 | 1.300 ± 0.000 | 2.180 ± 0.098 | 3.480 ± 0.098 | 0.626 ± 0.252 | sm |
| 16 | 1.200 ± 0.000 | 2.240 ± 0.049 | 3.440 ± 0.049 | 0.651 ± 0.264 | sm |
| 17 | 0.800 ± 0.000 | 2.640 ± 0.049 | 3.440 ± 0.049 | 0.767 ± 0.312 | a |
| 18 | 0.000 ± 0.000 | 3.280 ± 0.098 | 3.280 ± 0.098 | 1.000 ± 0.408 | t |
| 19 | 0.000 ± 0.000 | 3.240 ± 0.049 | 3.240 ± 0.049 | 1.000 ± 0.408 | t |
| 20 | 0.000 ± 0.000 | 3.100 ± 0.126 | 3.100 ± 0.126 | 1.000 ± 0.408 | t |
| 21 | 0.700 ± 0.000 | 2.360 ± 0.080 | 3.060 ± 0.080 | 0.771 ± 0.313 | a |
| 22 | 0.000 ± 0.000 | 3.040 ± 0.049 | 3.040 ± 0.049 | 1.000 ± 0.408 | t |
| 23 | 0.000 ± 0.000 | 3.020 ± 0.040 | 3.020 ± 0.040 | 1.000 ± 0.408 | t |
| 24 | 0.000 ± 0.000 | 2.880 ± 0.098 | 2.880 ± 0.098 | 1.000 ± 0.408 | t |
| 25 | 0.880 ± 0.117 | 1.700 ± 0.141 | 2.580 ± 0.223 | 0.660 ± 0.262 | sm |

8. *Schistura* sp.

8.1 จากตารางที่ 4 จะเห็นว่าร้อยละ 95 ของจำนวนเซลล์ที่ตรวจนับโครโนโซม มีจำนวนโครโนโซมเท่ากับ 50 สรุปว่าปลาชนิดนี้มีจำนวนโครโนโซม $2n=50$ มีความกว้างในช่วง 1.8-0.6 μm

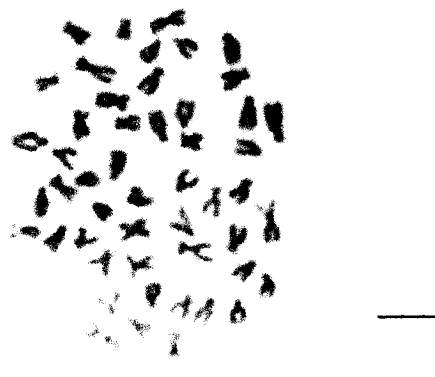
8.2 มีการไอโทไบป์ประกอบด้วยโครโนโซมแบบ metacentric จำนวน 3 คู่ ได้แก่ โครโนโซมคู่ที่ 1, 2 และ 6 โครโนโซมแบบ submetacentric จำนวน 4 คู่ ได้แก่ โครโนโซมคู่ที่ 5, 7, 15 และ 24 โครโนโซมแบบ acrocentric จำนวน 4 คู่ ได้แก่ โครโนโซมคู่ที่ 3, 8, 11 และ 16 โครโนโซมแบบ telocentric จำนวน 14 คู่ ได้แก่ โครโนโซมคู่ที่ 4, 9, 10, 12, 13, 14, 17, 18, 19, 20, 21, 22, 23 และ 25 (รูป 35, 36 และตาราง 12)

8.3 จากการซ้อมสีแบบ Q-banding ไม่พบ band ที่ชัดเจนเกิดขึ้น (รูป 37 B)

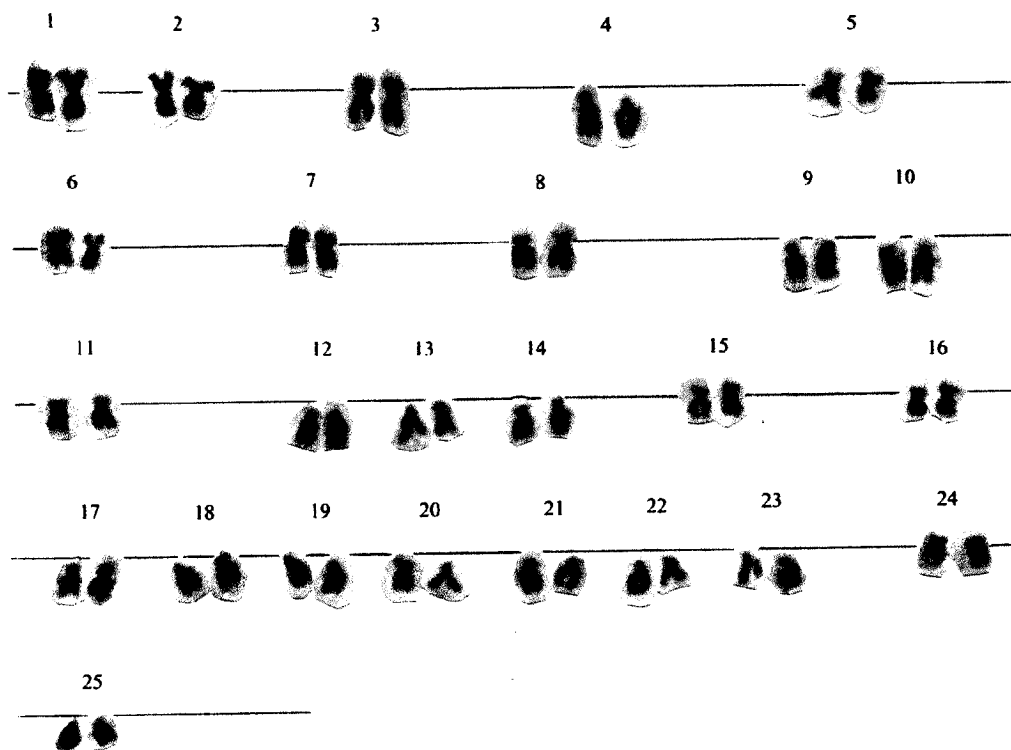
8.4 จากการซ้อมสีแบบ G-banding พบร้าว่าโครโนโซมแบบ metacentric, submetacentric และ acrocentric บางคู่มี band ทั้ง 2 แขนที่กระชาขั้วในรูปแบบที่เหมือนกันเป็นคู่ๆ ได้แก่ โครโนโซมคู่ที่ 1, 2, 3, 5, 8, 11 และ 15 โครโนโซมแบบ telocentric บางคู่มี band กระชาขั้วในรูปแบบที่เหมือนกันเป็นคู่ๆ ได้แก่ โครโนโซมคู่ที่ 9, 12, 13, 18, 20, 23, 24 และ 25 (รูป 37 C และ 38)

8.5 จากการซ้อมสีแบบ C-banding พบร้าว่ามีโครโนโซมบางคู่มี band เกิดขึ้นชัดเจน ได้แก่ โครโนโซมคู่ที่ 1 และ 2 พบร้า band เกิดขึ้นบริเวณ centromere โครโนโซมคู่ที่ 4 พบร้ามี band บริเวณปลายแขนข้างขวาของโครโนโซม และ โครโนโซมคู่ที่ 3 และ 5 พบร้า band บริเวณแขนข้างสันของโครโนโซม (รูป 37 D และ 38)

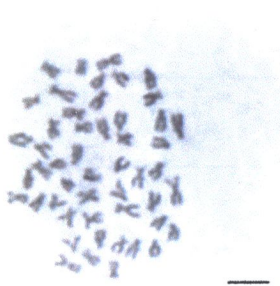
8.6 จากการซ้อมสีแบบ NOR banding พบร้าแขนข้างสันของโครโนโซมคู่ที่ 3 ปรากฏ NOR band ซึ่งตำแหน่งตั้งกล้าวเมื่อซ้อมด้วยวิธี C-banding จะติดกันเข้มที่บริเวณเดียวกัน (รูป 37 E และ 38)

(scale bar = 2 μ m)

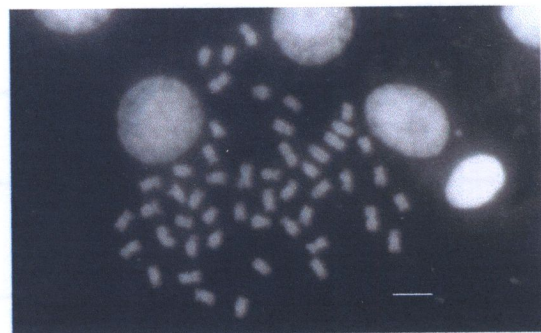
รูป 35 โครโนโซมระยะ metaphase ของ *Schistura* sp. ข้อมูลแบบ Giemsa stained



รูป 36 คาริโตไกเปรีของ *Schistura* sp. ซึ่งประกอบด้วย 6m+8sm+8a+28t (2n=50)



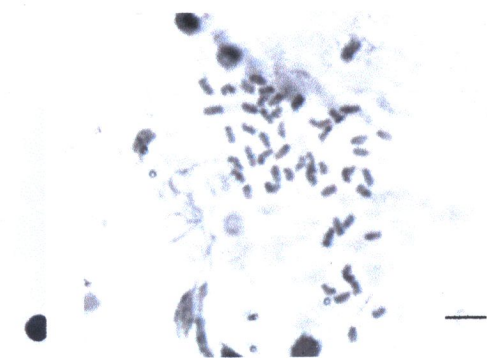
A



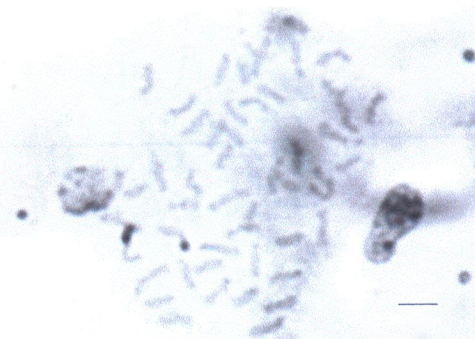
B



C



D

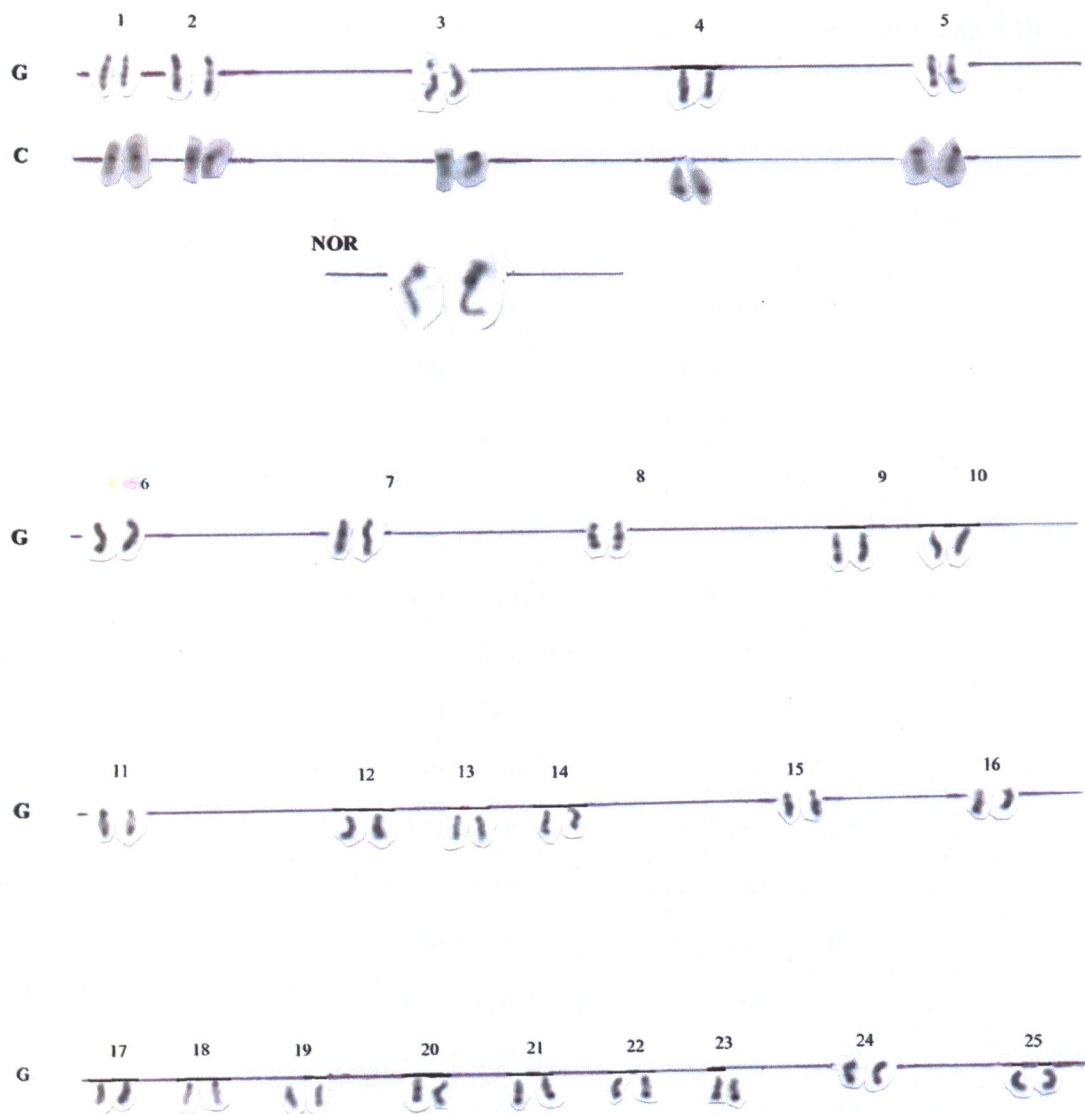


E

(scale bar = 2μm)

รูป 37 โครโนมิโฉนธรรมะของ *Schistura* sp.

A) Giemsa stained, B) Q-banding, C) G-banding, D) C-banding, E) NOR banding



รูป 38 คาร์บอไทป์ของ *Schistura* sp. ชื่อมตีแบบพิเศษ

G: G-banding, C: C-banding และ NOR banding

ตาราง 12 ความยาวเฉลี่ย (หน่วยสัมพัทธ์) ของโครโนมโซนจากเซลล์ของ *Schistura* sp. จำนวน 10 เซลล์

| Chromosome pair | Ls ± SD | Li ± SD | Lt ± SD | Cl ± SD | Type |
|-----------------|---------------|---------------|---------------|---------------|------|
| 1 | 4.300 ± 0.063 | 4.400 ± 0.063 | 8.700 ± 0.126 | 0.506 ± 0.206 | m |
| 2 | 3.480 ± 0.040 | 4.700 ± 0.063 | 8.180 ± 0.098 | 0.575 ± 0.234 | m |
| 3 | 1.800 ± 0.063 | 6.220 ± 0.075 | 8.020 ± 0.133 | 0.776 ± 0.315 | a |
| 4 | 0.000 ± 0.000 | 8.020 ± 0.075 | 8.020 ± 0.075 | 1.000 ± 0.408 | t |
| 5 | 2.220 ± 0.075 | 5.600 ± 0.063 | 7.820 ± 0.133 | 0.716 ± 0.290 | sm |
| 6 | 3.700 ± 0.063 | 3.900 ± 0.063 | 7.600 ± 0.126 | 0.513 ± 0.209 | m |
| 7 | 2.420 ± 0.040 | 4.560 ± 0.080 | 6.980 ± 0.098 | 0.653 ± 0.265 | sm |
| 8 | 1.620 ± 0.040 | 5.220 ± 0.040 | 6.840 ± 0.080 | 0.763 ± 0.310 | a |
| 9 | 0.000 ± 0.000 | 6.540 ± 0.102 | 6.540 ± 0.102 | 1.000 ± 0.408 | t |
| 10 | 0.000 ± 0.000 | 6.500 ± 0.063 | 6.500 ± 0.063 | 1.000 ± 0.408 | t |
| 11 | 1.520 ± 0.040 | 4.840 ± 0.049 | 6.360 ± 0.080 | 0.761 ± 0.309 | a |
| 12 | 0.000 ± 0.000 | 6.300 ± 0.063 | 6.300 ± 0.063 | 1.000 ± 0.408 | t |
| 13 | 0.000 ± 0.000 | 6.060 ± 0.102 | 6.060 ± 0.102 | 1.000 ± 0.408 | t |
| 14 | 0.000 ± 0.000 | 5.920 ± 0.075 | 5.920 ± 0.075 | 1.000 ± 0.408 | t |
| 15 | 1.920 ± 0.040 | 4.000 ± 0.063 | 5.920 ± 0.098 | 0.676 ± 0.275 | sm |
| 16 | 1.220 ± 0.040 | 4.620 ± 0.040 | 5.840 ± 0.080 | 0.791 ± 0.321 | a |
| 17 | 0.000 ± 0.000 | 5.800 ± 0.063 | 5.800 ± 0.063 | 1.000 ± 0.408 | t |
| 18 | 0.000 ± 0.000 | 5.700 ± 0.063 | 5.700 ± 0.063 | 1.000 ± 0.408 | t |
| 19 | 0.000 ± 0.000 | 5.660 ± 0.049 | 5.660 ± 0.049 | 1.000 ± 0.408 | t |
| 20 | 0.000 ± 0.000 | 5.520 ± 0.040 | 5.520 ± 0.040 | 1.000 ± 0.408 | t |
| 21 | 0.000 ± 0.000 | 5.420 ± 0.040 | 5.420 ± 0.040 | 1.000 ± 0.408 | t |
| 22 | 0.000 ± 0.000 | 5.320 ± 0.075 | 5.320 ± 0.075 | 1.000 ± 0.408 | t |
| 23 | 0.000 ± 0.000 | 5.220 ± 0.040 | 5.220 ± 0.040 | 1.000 ± 0.408 | t |
| 24 | 1.700 ± 0.063 | 3.300 ± 0.089 | 5.000 ± 0.141 | 0.660 ± 0.267 | sm |
| 25 | 0.000 ± 0.000 | 4.500 ± 0.063 | 4.500 ± 0.063 | 1.000 ± 0.408 | t |

9. *Schistura spilota*

9.1 จากตารางที่ 4 จะเห็นว่าร้อยละ 93 ของจำนวนเซลล์ที่ตรวจนับโครโนโซม มีจำนวนโครโนโซมเท่ากับ 50 สรุปว่าปลาชนิดนี้มีจำนวนโครโนโซม $2n=50$ มีความกว้างในช่วง 1.8-0.6 μm

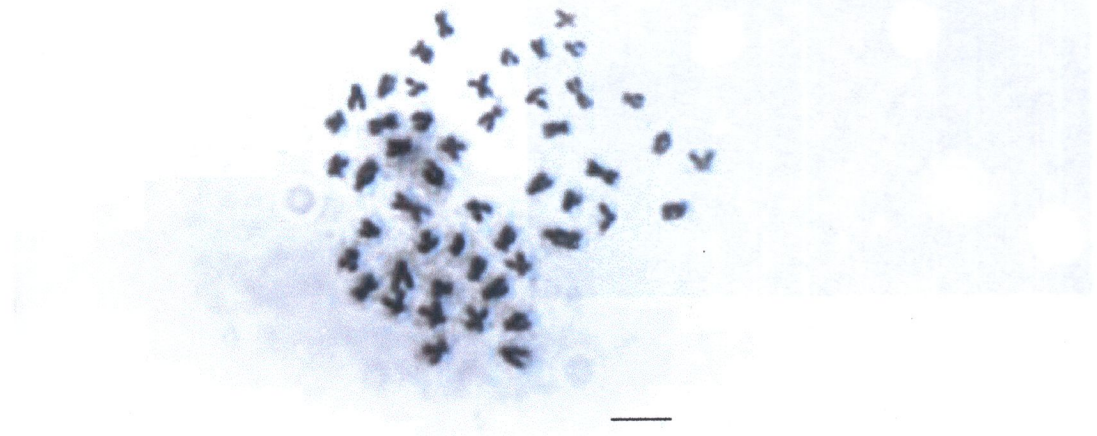
9.2 มีการวิจัยไปประกอบด้วยโครโนโซมแบบ metacentric จำนวน 6 คู่ ได้แก่ โครโนโซมคู่ที่ 1, 4, 5, 10, 19 และ 20 โครโนโซมแบบ submetacentric จำนวน 4 คู่ ได้แก่ โครโนโซมคู่ที่ 6, 11, 12 และ 21 โครโนโซมแบบ acrocentric จำนวน 2 คู่ ได้แก่ โครโนโซมคู่ที่ 7 และ 13 โครโนโซมแบบ telocentric จำนวน 13 คู่ ได้แก่ โครโนโซมคู่ที่ 2, 3, 8, 9, 14, 15, 16, 17, 18, 22, 23, 24 และ 25 (รูป 39, 40 และตาราง 13)

9.3 จากการข้อมูลแบบ Q-banding พบร band บริเวณปลายแขนข้างขวาของ โครโนโซมคู่ที่ 3 (รูป 41 B และ 42)

9.4 จากการข้อมูลแบบ G-banding พบร ว่า โครโนโซมแบบ metacentric, submetacentric และ acrocentric บางคู่มี band ทั้ง 2 แขนที่กระจายทั่วในรูปแบบที่เหมือนกันเป็นคู่ๆ ได้แก่ โครโนโซมคู่ที่ 1, 4, 6, 7, 10, 11, 13, 19 และ 21 โครโนโซมแบบ telocentric บางคู่มี band กระจายทั่วในรูปแบบที่เหมือนกันเป็นคู่ๆ ได้แก่ โครโนโซมคู่ที่ 2, 3, 8, 9, 14, 15, 17, 18 และ 23 (รูป 41 C และ 42)

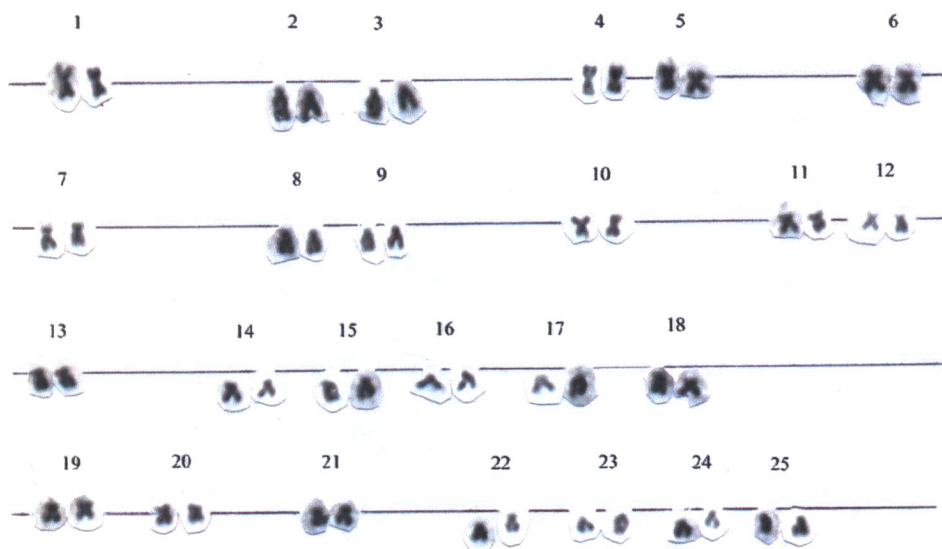
9.5 จากการข้อมูลแบบ C-banding พบร ว่า มี โครโนโซมบางคู่มี band เกิดขึ้นชัดเจน ได้แก่ โครโนโซมคู่ที่ 3, 10, 14, 15 และ 16 พบร band เกิดขึ้นบริเวณ centromere โครโนโซมคู่ที่ 7 มี band เกิดขึ้นบริเวณส่วนบนใกล้กับ centromere ของแขนข้างขวาของ โครโนโซม โครโนโซมคู่ที่ 1 และ 4 พบร ว่า มี band ขนาดใหญ่ที่ตกลงแขนข้างขวาของ โครโนโซม โครโนโซมคู่ที่ 6 และ 13 พบร band บริเวณแขนสั้นของ โครโนโซม และ โครโนโซมคู่ที่ 2 พบร band 2 ส่วน คือ บริเวณส่วนบน ของแขนข้างขวาของ โครโนโซมใกล้กับ centromere และ ส่วนปลายของแขนข้างเดียวกัน (รูป 41 D และ 42)

9.6 จากการข้อมูลแบบ NOR banding พบร ว่า แขนข้างสั้นของ โครโนโซมคู่ที่ 6 ปรากฏ NOR band ซึ่ง ตำแหน่ง ดังกล่าว เมื่อ ข้อมูลวิธี C-banding จะ ติดสีเข้มที่บริเวณเดียวกัน (รูป 41 E และ 42)

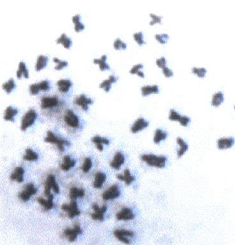


(scale bar = 2μm)

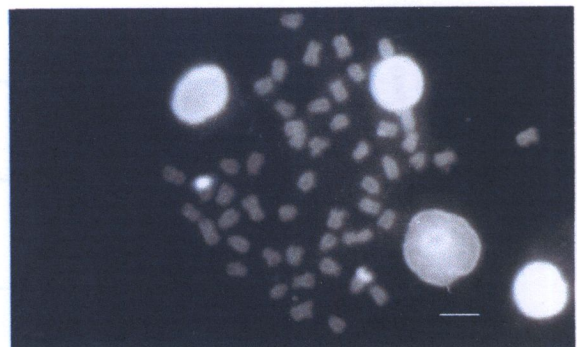
รูป 39 โครโนโซมระยะ metaphase ของ *Schistura spilota* ข้อมูลแบบ Giemsa stained



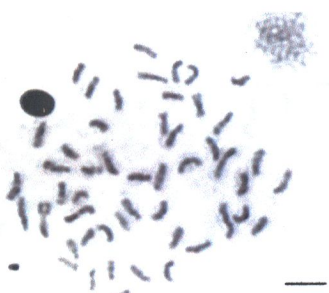
รูป 40 カリโอยาทีบีของ *Schistura spilota* ซึ่งประกอบด้วย $12m+8sm+4a+26t$ ($2n=50$)



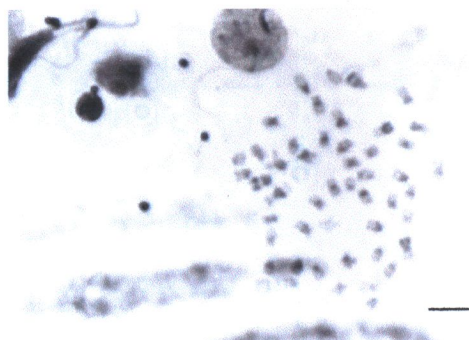
A



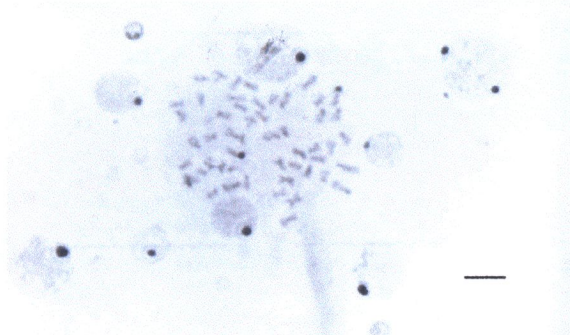
B



C



D

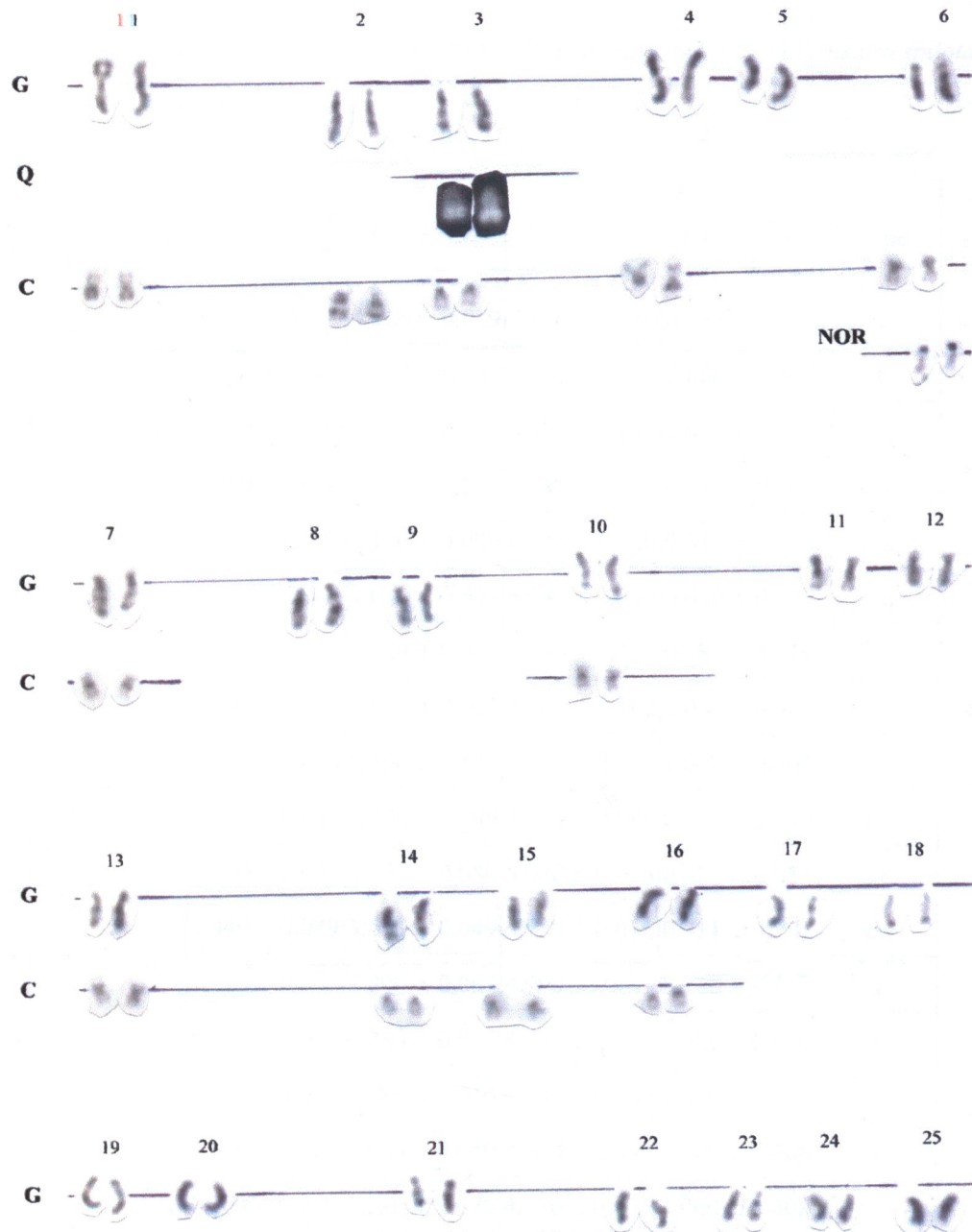


E

(scale bar = 2μm)

รูป 41 โครโนมโน้มระยะ metaphase ของ *Schistura spilota*

A) Giemsa stained, B) Q-banding, C) G-banding, D) C-banding, E) NOR banding



รูป 42 คาริโอไทป์ของ *Schistura spilota* ย้อมสีแบบพิเศษ

G: G-banding, C: C-banding, Q: Q-banding และ NOR: NOR banding

ตาราง 13 ความยาวเฉลี่ย (หน่วยสัมพทธ.) ของโครโน่โชนจากเซลล์ของ *Schistura spilota* จำนวน 10 เซลล์

| Chromosome pair | Ls ± SD | LI ± SD | Lt ± SD | CI ± SD | Type |
|-----------------|---------------|---------------|---------------|---------------|------|
| 1 | 3.800 ± 0.063 | 4.000 ± 0.089 | 7.800 ± 0.110 | 0.513 ± 0.207 | m |
| 2 | 0.000 ± 0.000 | 7.640 ± 0.102 | 7.640 ± 0.102 | 1.000 ± 0.408 | t |
| 3 | 0.000 ± 0.000 | 6.820 ± 0.147 | 6.820 ± 0.147 | 1.000 ± 0.408 | t |
| 4 | 3.220 ± 0.040 | 3.420 ± 0.117 | 6.640 ± 0.136 | 0.515 ± 0.208 | m |
| 5 | 2.980 ± 0.098 | 3.160 ± 0.080 | 6.140 ± 0.120 | 0.515 ± 0.207 | m |
| 6 | 1.900 ± 0.063 | 4.040 ± 0.049 | 5.940 ± 0.049 | 0.680 ± 0.274 | sm |
| 7 | 1.220 ± 0.040 | 4.520 ± 0.075 | 5.740 ± 0.102 | 0.787 ± 0.319 | a |
| 8 | 0.000 ± 0.000 | 5.560 ± 0.102 | 5.560 ± 0.102 | 1.000 ± 0.408 | t |
| 9 | 0.000 ± 0.000 | 5.300 ± 0.126 | 5.300 ± 0.126 | 1.000 ± 0.408 | t |
| 10 | 2.580 ± 0.040 | 2.700 ± 0.089 | 5.280 ± 0.098 | 0.511 ± 0.206 | m |
| 11 | 1.520 ± 0.040 | 3.560 ± 0.080 | 5.080 ± 0.075 | 0.701 ± 0.283 | sm |
| 12 | 1.440 ± 0.049 | 3.540 ± 0.049 | 4.980 ± 0.075 | 0.711 ± 0.287 | sm |
| 13 | 1.100 ± 0.063 | 3.800 ± 0.063 | 4.900 ± 0.063 | 0.776 ± 0.312 | a |
| 14 | 0.000 ± 0.000 | 4.780 ± 0.075 | 4.780 ± 0.075 | 1.000 ± 0.408 | t |
| 15 | 0.000 ± 0.000 | 4.680 ± 0.040 | 4.680 ± 0.040 | 1.000 ± 0.408 | t |
| 16 | 0.000 ± 0.000 | 4.620 ± 0.040 | 4.620 ± 0.040 | 1.000 ± 0.408 | t |
| 17 | 0.000 ± 0.000 | 4.520 ± 0.075 | 4.520 ± 0.075 | 1.000 ± 0.408 | t |
| 18 | 0.000 ± 0.000 | 4.460 ± 0.080 | 4.460 ± 0.080 | 1.000 ± 0.408 | t |
| 19 | 2.200 ± 0.000 | 2.260 ± 0.080 | 4.460 ± 0.080 | 0.507 ± 0.204 | m |
| 20 | 2.140 ± 0.049 | 2.300 ± 0.063 | 4.440 ± 0.102 | 0.518 ± 0.209 | m |
| 21 | 1.500 ± 0.000 | 2.920 ± 0.075 | 4.420 ± 0.075 | 0.661 ± 0.267 | sm |
| 22 | 0.000 ± 0.000 | 4.260 ± 0.080 | 4.260 ± 0.080 | 1.000 ± 0.408 | t |
| 23 | 0.000 ± 0.000 | 4.100 ± 0.110 | 4.100 ± 0.110 | 1.000 ± 0.408 | t |
| 24 | 0.000 ± 0.000 | 4.060 ± 0.080 | 4.060 ± 0.080 | 1.000 ± 0.408 | t |
| 25 | 0.000 ± 0.000 | 3.920 ± 0.172 | 3.920 ± 0.172 | 1.000 ± 0.408 | t |

10. *Schistura cf. spilota*

10.1 จากตารางที่ 4 จะเห็นว่าอย่างละ 96 ของจำนวนชุดโครโมโซม มีจำนวนโครโนโซมเท่ากับ 50 สรุปว่าปลาชนิดนี้มีจำนวนโครโนโซม $2n=50$ มีความยาวในช่วง 1.6-0.8 μm

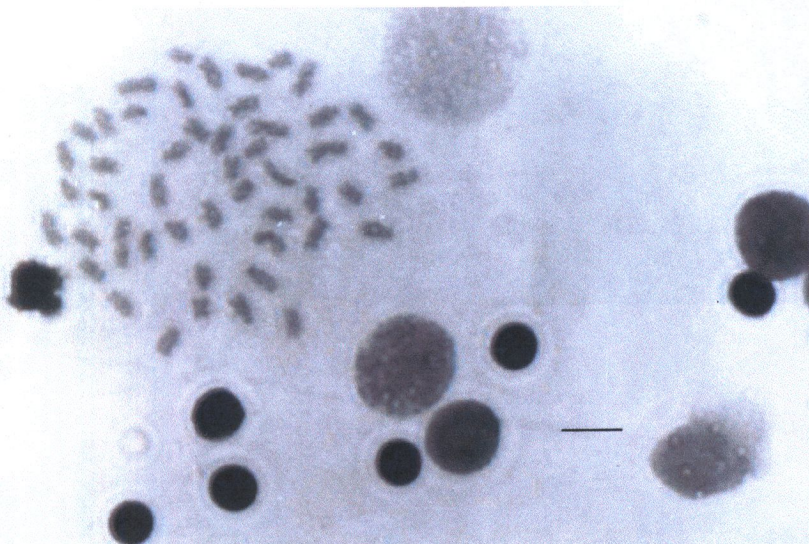
10.2 มีการໂອໄທປະກອບด้วยโครโนโซมแบบ metacentric จำนวน 3 คู่ ได้แก่ โครโนโซมคู่ที่ 1, 3 และ 16 โครโนโซมแบบ submetacentric จำนวน 2 คู่ ได้แก่ โครโนโซมคู่ที่ 10 และ 13 โครโนโซมแบบ acrocentric จำนวน 6 คู่ ได้แก่ โครโนโซมคู่ที่ 2, 6, 9, 14, 15 และ 20 โครโนโซมแบบ telocentric จำนวน 14 คู่ ได้แก่ โครโนโซมคู่ที่ 4, 5, 7, 8, 11, 12, 17, 18, 19, 21, 22, 23, 24 และ 25 (รูป 43, 44 และตาราง 14)

10.3 จากการข้อมูลแบบ Q-banding ไม่พบ band ที่ชัดเจนเกิดขึ้น (รูป 45 B)

10.4 จากการข้อมูลแบบ G-banding พบร่วมกันของโครโนโซมแบบ metacentric, submetacentric และ acrocentric บางคู่มี band ทั้ง 2 แขนที่กระจายตัวในรูปแบบที่เหมือนกันเป็นคู่ๆ ได้แก่ โครโนโซมคู่ที่ 2, 9, 13, 14 และ 16 โครโนโซมแบบ telocentric บางคู่มี band กระจายตัวในรูปแบบที่เหมือนกันเป็นคู่ๆ ได้แก่ โครโนโซมคู่ที่ 5, 6, 7, 8, 11, 22, 24 และ 25 (รูป 45 C และ 46)

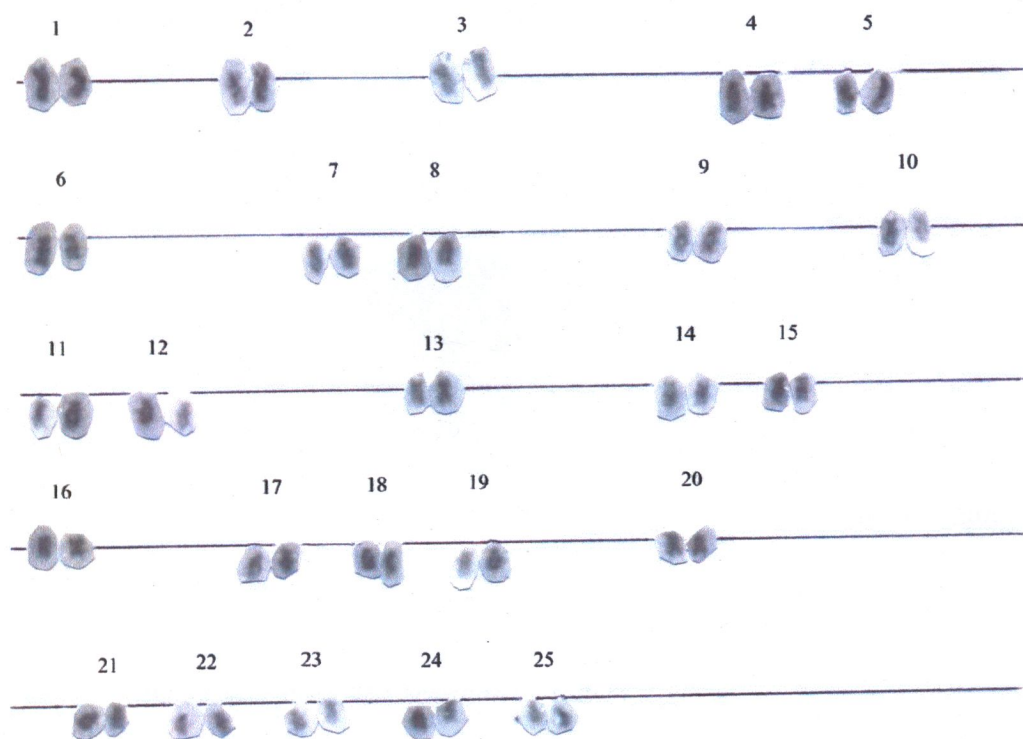
10.5 จากการข้อมูลแบบ C-banding พบร่วมกับโครโนโซมบางคู่มี band เกิดขึ้นชัดเจน ได้แก่ โครโนโซมคู่ที่ 3, 4, 7, 8 และ 9 พบร่วมกับ band เกิดขึ้นบริเวณ centromere โครโนโซมคู่ที่ 13 พบร่วมกับ band เกิดขึ้นบริเวณแขนข้างยาวของ centromere โครโนโซมคู่ที่ 5 พบร่วมกับ band ขนาดใหญ่ที่บริเวณ centromere และปลายแขนข้างยาวของโครโนโซม โครโนโซมคู่ที่ 2, 6 และ 10 พบร่วมกับ band บริเวณแขนข้างสั้นของโครโนโซม และโครโนโซมคู่ที่ 1 พบร่วมกับ band ลดลงความยาวของแขนข้างยาวของโครโนโซม (รูป 45 D และ 46)

10.6 จากการข้อมูลแบบ NOR banding พบร่วมกับโครโนโซมคู่ที่ 2 ปรากฏ NOR band ซึ่งตำแหน่งดังกล่าวเมื่อข้อมูลด้วยวิธี C-banding จะติดสีเข้มที่บริเวณเดียวกัน (รูป 45 E และ 46)

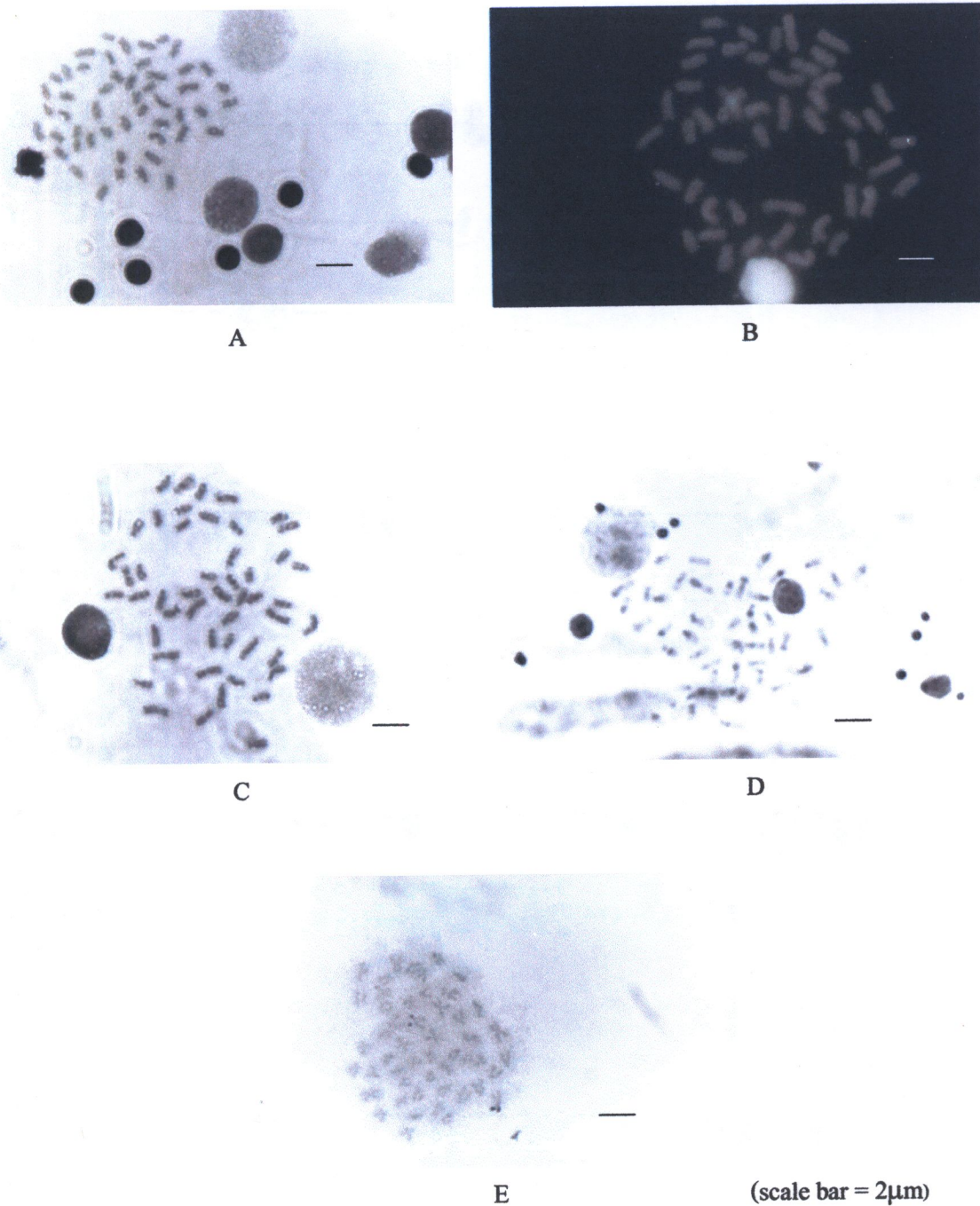


(scale bar = 2μm)

รูป 43 โครงโน้มโชนะระยะ metaphase ของ *Schistura cf. spilota* ข้อมูลแบบ Giemsa stained

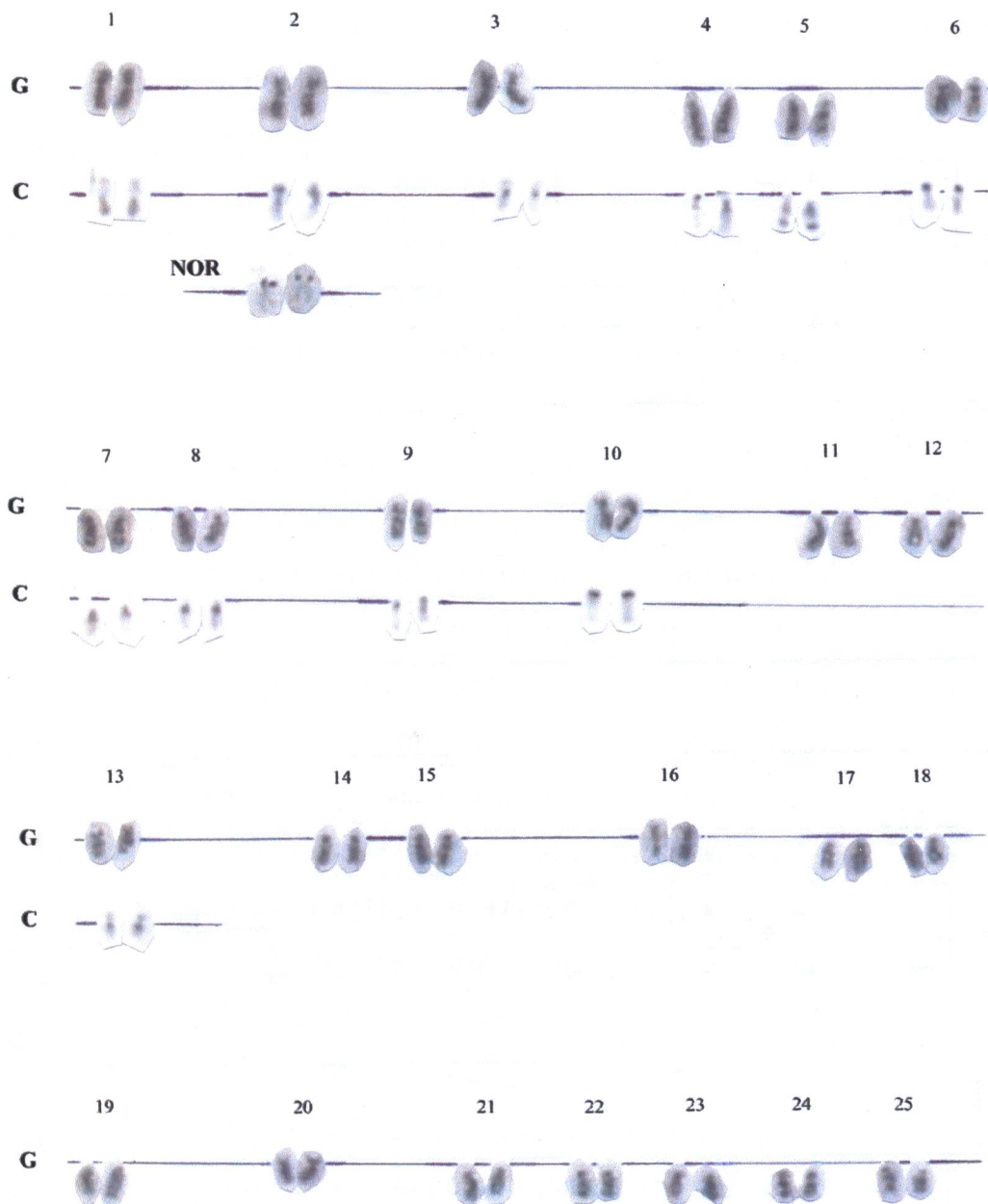


รูป 44 คาร์โนโนมของ *Schistura cf. spilota* ซึ่งประกอบด้วย 6m+4sm+12a+28t (2n=50)



รูป 45 โครโนโซนระหะ metaphase ของ *Schistura cf. spilota*

A) Giemsa stained, B) Q-banding, C) G-banding, D) C-banding, E) NOR banding



รูป 46 คาร์บอไทด์ของ *Schistura cf. spilota* ข้อมูลแบบพิเศษ

G: G-banding, C: C-banding และ NOR: NOR banding

ตาราง 14 ความยาวเฉลี่ย (หน่วยสัมพัทธ์) ของโครงโน้มจากเซลล์ของ *Schistura cf. spilota*
จำนวน 10 เซลล์

| Chromosome pair | Ls ± SD | Ll ± SD | Lt ± SD | CI ± SD | Type |
|-----------------|---------------|---------------|---------------|---------------|------|
| 1 | 3.120 ± 0.160 | 3.360 ± 0.120 | 6.48 ± 0.271 | 0.519 ± 0.209 | m |
| 2 | 1.500 ± 0.000 | 4.94 ± 0.196 | 6.44 ± 0.196 | 0.767 ± 0.311 | a |
| 3 | 3.060 ± 0.080 | 3.100 ± 0.126 | 6.16 ± 0.206 | 0.503 ± 0.204 | m |
| 4 | 0.000 ± 0.000 | 5.680 ± 0.349 | 5.68 ± 0.349 | 1.000 ± 0.408 | t |
| 5 | 0.000 ± 0.000 | 5.620 ± 0.271 | 5.620 ± 0.271 | 1.000 ± 0.408 | t |
| 6 | 1.200 ± 0.000 | 4.260 ± 0.206 | 5.460 ± 0.206 | 0.780 ± 0.316 | a |
| 7 | 0.000 ± 0.000 | 5.300 ± 0.253 | 5.300 ± 0.253 | 1.000 ± 0.408 | t |
| 8 | 0.000 ± 0.000 | 5.180 ± 0.223 | 5.180 ± 0.223 | 1.000 ± 0.408 | t |
| 9 | 1.200 ± 0.000 | 3.840 ± 0.174 | 5.040 ± 0.174 | 0.762 ± 0.308 | a |
| 10 | 1.540 ± 0.049 | 3.300 ± 0.126 | 4.840 ± 0.174 | 0.682 ± 0.277 | sm |
| 11 | 0.000 ± 0.000 | 4.800 ± 0.126 | 4.800 ± 0.126 | 1.000 ± 0.408 | t |
| 12 | 0.000 ± 0.000 | 4.620 ± 0.147 | 4.620 ± 0.147 | 1.000 ± 0.408 | t |
| 13 | 1.540 ± 0.049 | 2.980 ± 0.098 | 4.520 ± 0.147 | 0.659 ± 0.269 | sm |
| 14 | 0.940 ± 0.049 | 3.540 ± 0.049 | 4.480 ± 0.098 | 0.790 ± 0.320 | a |
| 15 | 1.000 ± 0.000 | 3.380 ± 0.098 | 4.380 ± 0.098 | 0.772 ± 0.313 | a |
| 16 | 2.120 ± 0.040 | 2.160 ± 0.080 | 4.280 ± 0.117 | 0.505 ± 0.204 | m |
| 17 | 0.000 ± 0.000 | 4.180 ± 0.117 | 4.180 ± 0.117 | 1.000 ± 0.408 | t |
| 18 | 0.000 ± 0.000 | 4.080 ± 0.117 | 4.080 ± 0.117 | 1.000 ± 0.408 | t |
| 19 | 0.000 ± 0.000 | 3.980 ± 0.117 | 3.980 ± 0.117 | 1.000 ± 0.408 | t |
| 20 | 0.900 ± 0.000 | 3.060 ± 0.080 | 3.960 ± 0.080 | 0.773 ± 0.314 | a |
| 21 | 0.000 ± 0.000 | 3.860 ± 0.080 | 3.860 ± 0.080 | 1.000 ± 0.408 | t |
| 22 | 0.000 ± 0.000 | 3.680 ± 0.117 | 3.680 ± 0.117 | 1.000 ± 0.408 | t |
| 23 | 0.000 ± 0.000 | 3.640 ± 0.080 | 3.640 ± 0.080 | 1.000 ± 0.408 | t |
| 24 | 0.000 ± 0.000 | 3.460 ± 0.080 | 3.460 ± 0.080 | 1.000 ± 0.408 | t |
| 25 | 0.000 ± 0.000 | 3.440 ± 0.049 | 3.440 ± 0.049 | 1.000 ± 0.408 | t |

11. *Schistura poculi*

11.1 จากตารางที่ 4 จะเห็นว่าร้อยละ 94 ของจำนวนเซลล์ที่ตรวจพบโครงโน้มโชน มีจำนวนโครงโน้มโชนเท่ากับ 50 สรุปว่าปลาชนิดนี้มีจำนวนโครงโน้มโชน $2n=50$ มีความกว้างในช่วง 2.0-0.8 μm

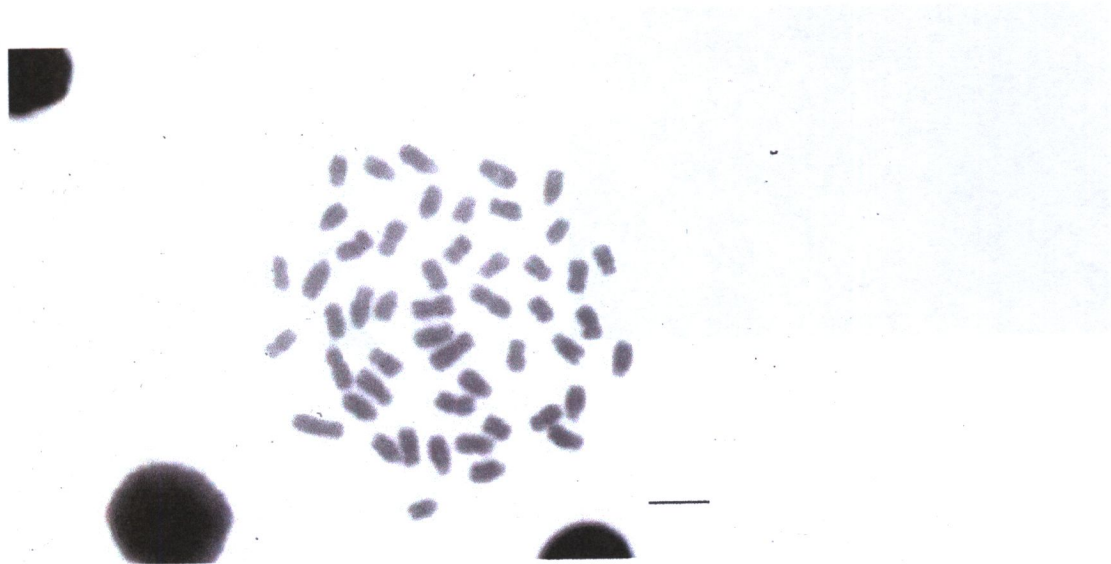
11.2 มีการໂອໄທປีประกอบด้วยโครงโน้มโชนแบบ metacentric จำนวน 4 คู่ ได้แก่ โครงโน้มโชนคู่ที่ 2, 5, 14 และ 20 โครงโน้มโชนแบบ submetacentric จำนวน 4 คู่ ได้แก่ โครงโน้มโชนคู่ที่ 1, 3, 8 และ 22 โครงโน้มโชนแบบ acrocentric จำนวน 6 คู่ ได้แก่ โครงโน้มโชนคู่ที่ 4, 9, 15, 16, 17 และ 21 โครงโน้มโชนแบบ telocentric จำนวน 11 คู่ ได้แก่ โครงโน้มโชนคู่ที่ 6, 7, 10, 11, 12, 13, 18, 19, 23, 24 และ 25 (รูป 47, 48 และตาราง 15)

11.3 จากการข้อมูลแบบ Q-banding ไม่พบ band ที่ชัดเจนเกิดขึ้น (รูป 49 B)

11.4 จากการข้อมูลแบบ G-banding พบร่วมๆ โครงโน้มโชนแบบ metacentric, submetacentric และ acrocentric บางคู่มี band ทั้ง 2 แขนที่กระจายทั่วในรูปแบบที่เหมือนกันเป็นคู่ๆ ได้แก่ โครงโน้มโชนคู่ที่ 1, 2, 3, 9, 16, 17 และ 21 โครงโน้มโชนแบบ telocentric บางคู่มี band กระจายทั่วในรูปแบบที่เหมือนกันเป็นคู่ๆ ได้แก่ โครงโน้มโชนคู่ที่ 6, 10, 11 และ 23 (รูป 49 C และ 50)

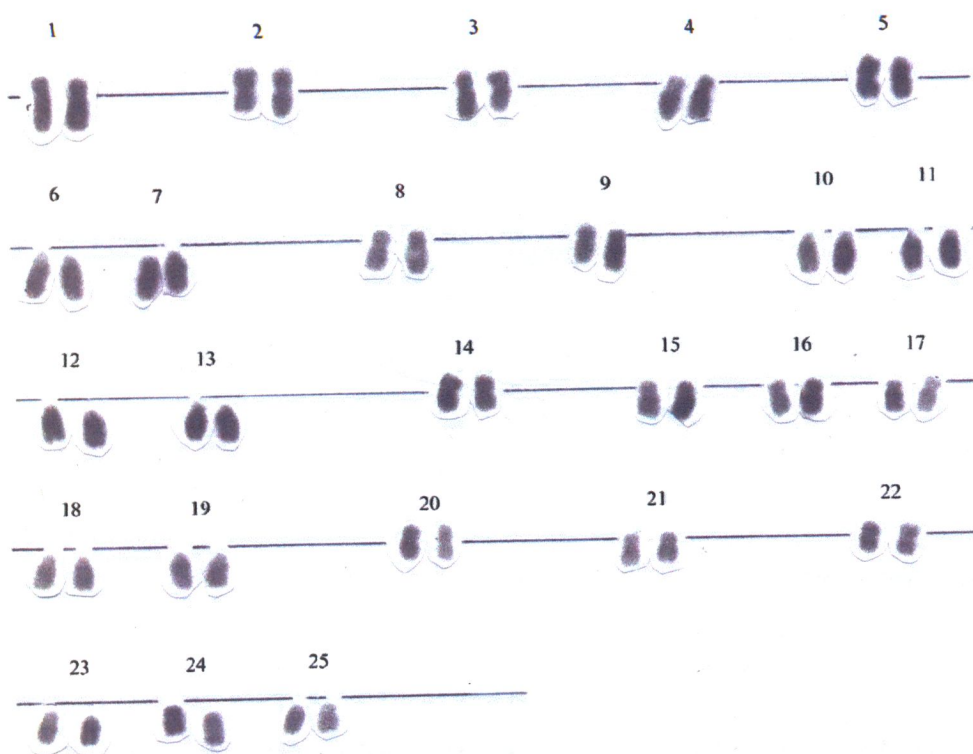
11.5 จากการข้อมูลแบบ C-banding พบร่วมๆ โครงโน้มบางคู่มี band เกิดขึ้นชัดเจน ได้แก่ โครงโน้มคู่ที่ 1, 5, 6, 7, 10, 11, 12, 13, 14, 18, 19, 20, 23, 24 และ 25 พบร่วมๆ band เกิดขึ้นบริเวณ centromere และ โครงโน้มคู่ที่ 2, 3 และ 4 พบร่วมๆ band บริเวณแขนข้างสั้นของโครงโน้ม (รูป 49 D และ 50)

11.6 จากการข้อมูลแบบ NOR banding พบร่วมๆ แขนสั้นของโครงโน้มคู่ที่ 2 ปรากฏ NOR band ซึ่งตำแหน่งดังกล่าวเมื่อย้อมด้วยวิธี C-banding จะติดสีเข้มที่บริเวณเดียวกัน (รูป 49 E และ 50)

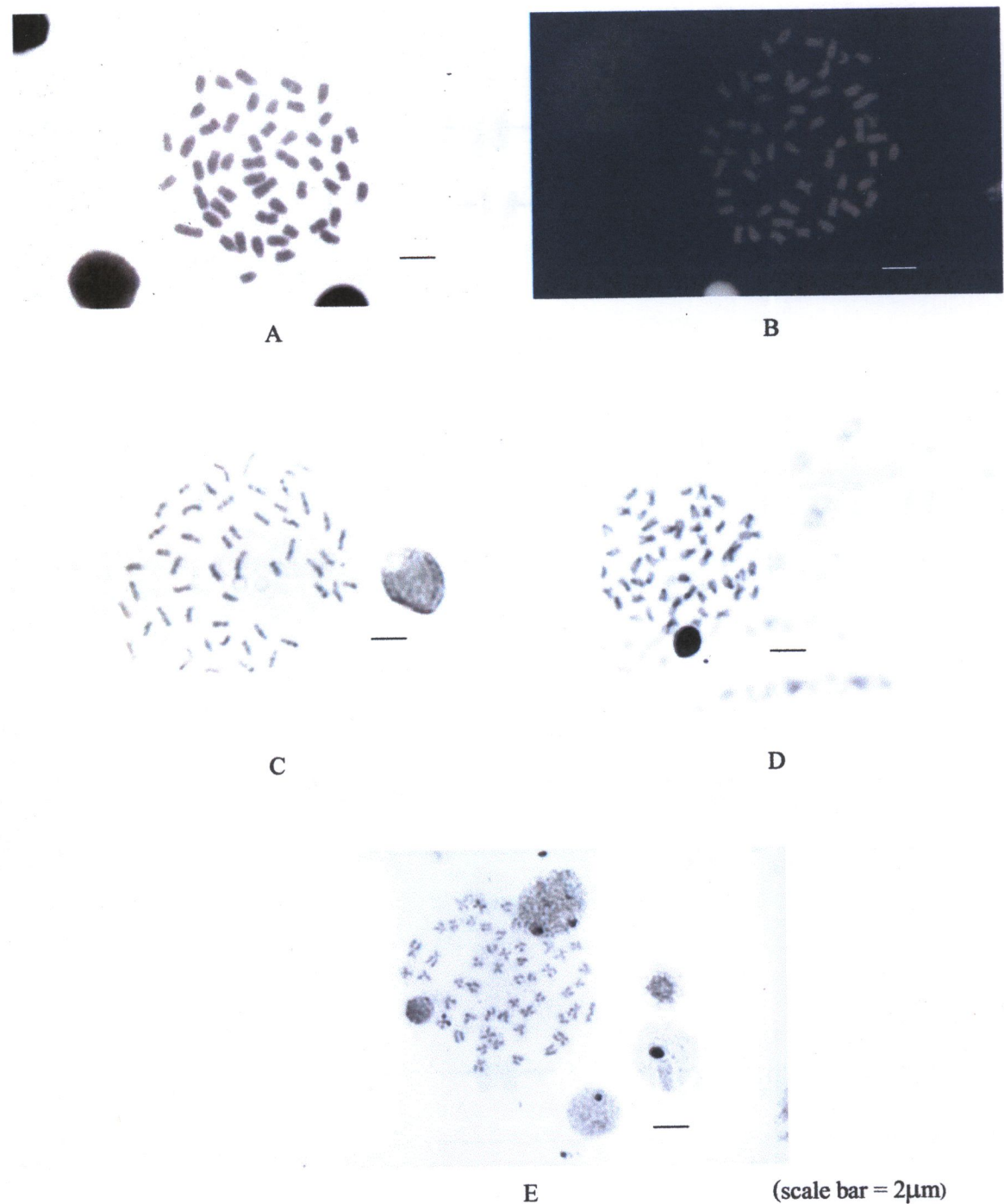


(scale bar = 2μm)

รูป 47 โครโนมิโอนระยะ metaphase ของ *Schistura poculi* ข้อมูลแบบ Giemsa stained

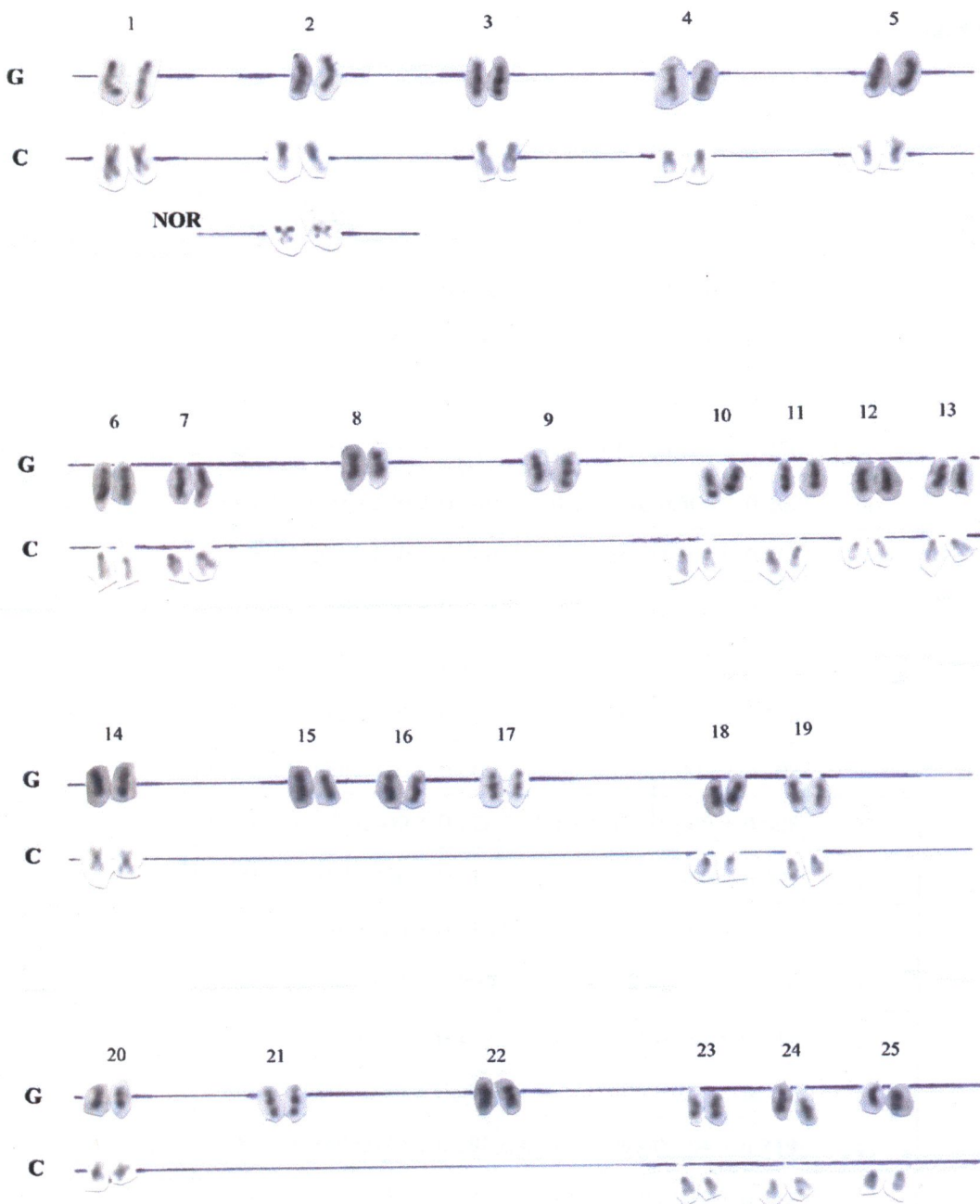


รูป 48 カリโอีทีปั๊วของ *Schistura poculi* ซึ่งประกอบด้วย 8m+8sm+12a+22t (2n=50)



รูป 49 โครโนมิโอนระยะ metaphase ของ *Schistura poculi*

A) Giemsa stained, B) Q-banding, C) G-banding, D) C-banding, E) NOR banding



รูป 50 คาร์บอไหที่ปีของ *Schistura poculi* ชื่อมสีแบบพิเศษ

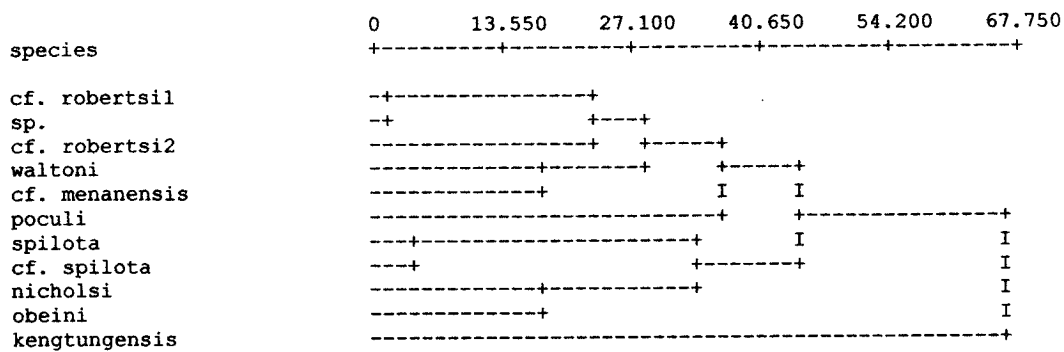
G: G-banding, C: C-banding และ NOR: NOR banding

ตาราง 15 ความยาวเฉลี่ย (หน่วยสัมพทธ.) ของโครงโน้มจากเซลล์ของ *Schistura poculi* จำนวน 10 เซลล์

| Chromosome pair | Ls ± SD | LI ± SD | Lt ± SD | CI ± SD | Type |
|-----------------|---------------|---------------|---------------|---------------|------|
| 1 | 5.100 ± 0.126 | 8.400 ± 0.126 | 13.50 ± 0.200 | 0.622 ± 0.251 | sm |
| 2 | 5.300 ± 0.400 | 6.60 ± 0.200 | 11.90 ± 0.400 | 0.555 ± 0.217 | m |
| 3 | 3.220 ± 0.160 | 6.760 ± 0.080 | 9.98 ± 0.160 | 0.677 ± 0.272 | sm |
| 4 | 2.000 ± 0.000 | 7.380 ± 0.117 | 9.38 ± 0.117 | 0.787 ± 0.320 | a |
| 5 | 4.400 ± 0.000 | 4.520 ± 0.240 | 8.920 ± 0.240 | 0.506 ± 0.202 | m |
| 6 | 0.000 ± 0.000 | 8.660 ± 0.080 | 8.660 ± 0.080 | 1.000 ± 0.408 | t |
| 7 | 0.000 ± 0.000 | 8.400 ± 0.126 | 8.400 ± 0.126 | 1.000 ± 0.408 | t |
| 8 | 3.040 ± 0.080 | 5.100 ± 0.126 | 8.140 ± 0.196 | 0.627 ± 0.254 | sm |
| 9 | 1.700 ± 0.000 | 6.140 ± 0.196 | 7.840 ± 0.196 | 0.783 ± 0.318 | a |
| 10 | 0.000 ± 0.000 | 7.720 ± 0.160 | 7.720 ± 0.160 | 1.000 ± 0.408 | t |
| 11 | 0.000 ± 0.000 | 7.400 ± 0.126 | 7.400 ± 0.126 | 1.000 ± 0.408 | t |
| 12 | 0.000 ± 0.000 | 7.280 ± 0.117 | 7.280 ± 0.117 | 1.000 ± 0.408 | t |
| 13 | 0.000 ± 0.000 | 7.160 ± 0.080 | 7.160 ± 0.080 | 1.000 ± 0.408 | t |
| 14 | 3.280 ± 0.098 | 3.800 ± 0.000 | 7.080 ± 0.098 | 0.537 ± 0.216 | m |
| 15 | 1.500 ± 0.000 | 5.340 ± 0.174 | 6.840 ± 0.174 | 0.781 ± 0.317 | a |
| 16 | 1.400 ± 0.000 | 5.180 ± 0.098 | 6.580 ± 0.098 | 0.787 ± 0.320 | a |
| 17 | 1.400 ± 0.000 | 5.080 ± 0.098 | 6.480 ± 0.098 | 0.784 ± 0.319 | a |
| 18 | 0.000 ± 0.000 | 6.320 ± 0.147 | 6.320 ± 0.147 | 1.000 ± 0.408 | t |
| 19 | 0.000 ± 0.000 | 5.920 ± 0.160 | 5.920 ± 0.160 | 1.000 ± 0.408 | t |
| 20 | 2.840 ± 0.049 | 2.960 ± 0.080 | 5.800 ± 0.126 | 0.510 ± 0.207 | m |
| 21 | 1.200 ± 0.000 | 4.480 ± 0.098 | 5.680 ± 0.098 | 0.789 ± 0.321 | a |
| 22 | 1.740 ± 0.080 | 3.820 ± 0.040 | 5.560 ± 0.080 | 0.687 ± 0.276 | sm |
| 23 | 0.000 ± 0.000 | 5.200 ± 0.245 | 5.200 ± 0.245 | 1.000 ± 0.408 | t |
| 24 | 0.000 ± 0.000 | 4.820 ± 0.147 | 4.820 ± 0.147 | 1.000 ± 0.408 | t |
| 25 | 0.000 ± 0.000 | 4.280 ± 0.223 | 4.280 ± 0.223 | 1.000 ± 0.408 | t |

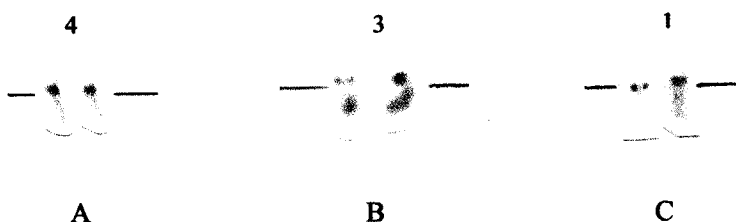
4. ผลการจัดกลุ่มปลาค้อตามลักษณะร่างของโครโนไซน์

จากการจัดกลุ่มปลาค้อโดยใช้โปรแกรม SPSS ด้วยวิธี hierarchical cluster analysis โดยใช้ชนิดของโครโนไซน์เป็นตัวจัดกลุ่มแบ่งได้ 6 กลุ่ม ดังรูป 51



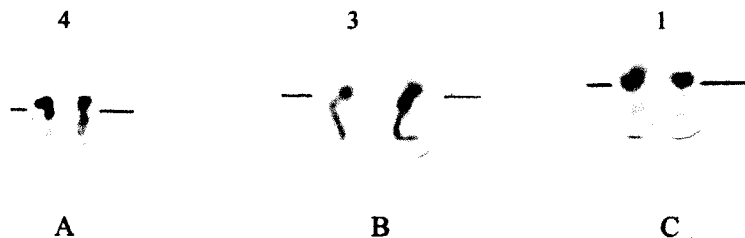
รูป 51 การวิเคราะห์การจัดกลุ่มปลาค้อ 11 ชนิด ด้วยโปรแกรม SPSS วิธี hierarchical cluster analysis

กลุ่มที่ 1 ประกอบด้วย *S. cf. robertsi* 1, *Schistura* sp. และ *S. cf. robertsi* 2 (รูป 51) ซึ่งมีカリโอไทป์ดังนี้ 4m+8sm+8a+30t ($2n=50$), 6m+8sm+8a+28t ($2n=50$) และ 6m+12sm+10a+22t ($2n=50$) ตามลำดับ และพบว่าโครโนไซน์คู่ที่ 4 ของ *S. cf. robertsi* 1 คล้ายกับโครโนไซน์คู่ที่ 3 ของ *Schistura* sp. และโครโนไซน์คู่ที่ 1 ของ *S. cf. robertsi* 2 เมื่อข้อมูลด้วยวิธี C-banding และ NOR banding (รูป 52 และ 53) และโครโนไซน์ทั้ง 3 คู่ เป็นโครโนไซน์แบบ acrocentric เหมือนกัน แต่ *S. cf. robertsi* 1 และ *Schistura* sp. จะมีความใกล้ชิดกันมากกว่า *S. cf. robertsi* 2 ที่เป็นเห่นนี้ เพราะ *S. cf. robertsi* 1 และ *Schistura* sp. มีรูปแบบของการวิวัฒนาไปใกล้เคียงกันมากกว่า *S. cf. robertsi* 2



รูป 52 โครโนไซน์ของปลาค้อ 3 ชนิด ข้อมูลด้วยวิธี C-banding

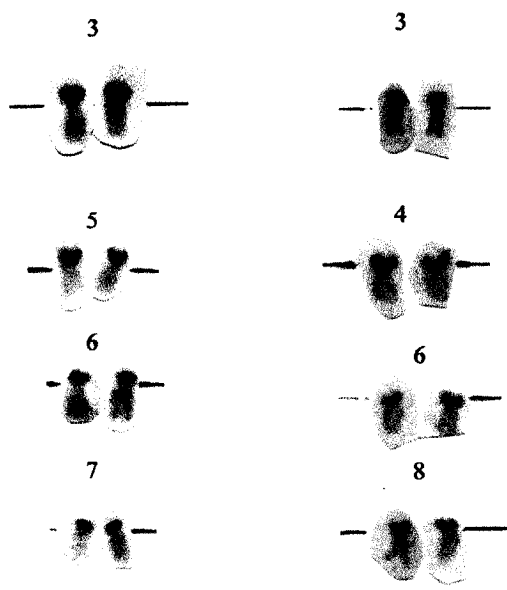
A) *S. cf. robertsi* 1, B) *Schistura* sp., C) *S. cf. robertsi* 2



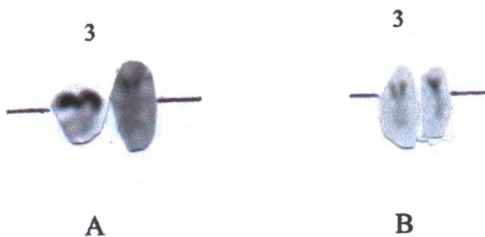
รูป 53 โครโนไซมของปลาต่อ 3 ชนิด ข้อมูลวิธี NOR banding

A) *S. cf. robertsi* 1, B) *Schistura* sp., C) *S. cf. robertsi* 2

กลุ่มที่ 2 ประกอบด้วย *S. waltoni* และ *S. cf. menanensis* (รูป 51) ซึ่งมีカリโอไทป์คังนี้ $8m+12sm+14a+16t$ ($2n=50$) และ $8m+12sm+16a+14t$ ($2n=50$) ตามลำดับ และพบว่าบริเวณแขนข้างสั้นของโครโนไซมคู่ที่ 3, 5, 6 และ 7 ของ *S. waltoni* ติดสีแบบ C-banding เหมือนกับ โครโนไซมคู่ที่ 3, 4, 6 และ 8 ของ *S. cf. menanensis* ตามลำดับ (รูป 54) และเมื่อข้อมูลสีแบบ NOR banding พบว่า โครโนไซมคู่ที่ 3 ของปลาทั้ง 2 ชนิดปรากฏ NOR band เหมือนกัน (รูป 55) และ โครโนไซมทั้ง 2 คู่ เป็น โครโนไซมแบบ submetacentric เหมือนกัน



รูป 54 โครโนไซมคู่ที่ 3, 5, 6 และ 7 ของ *S. waltoni* (A) และ โครโนไซมคู่ที่ 3, 4, 6 และ 8 ของ *S. cf. menanensis* (B) ข้อมูลวิธี C-banding

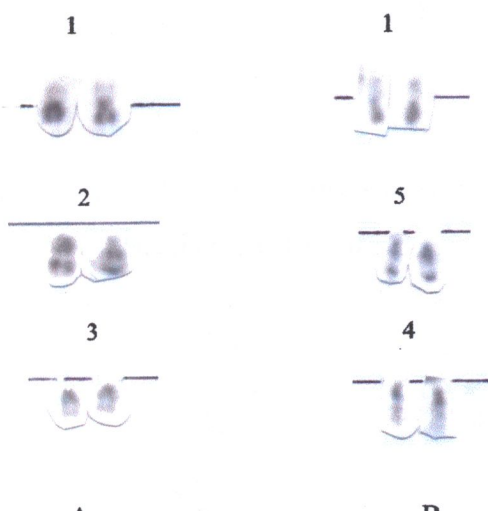


รูป 55 โครโนโซมคู่ที่ 3 ของปลาคือหั้ง 2 ชนิด ข้อมูลด้วยวิธี NOR banding

A) *S. waltoni*, B) *S. cf. menanensis*

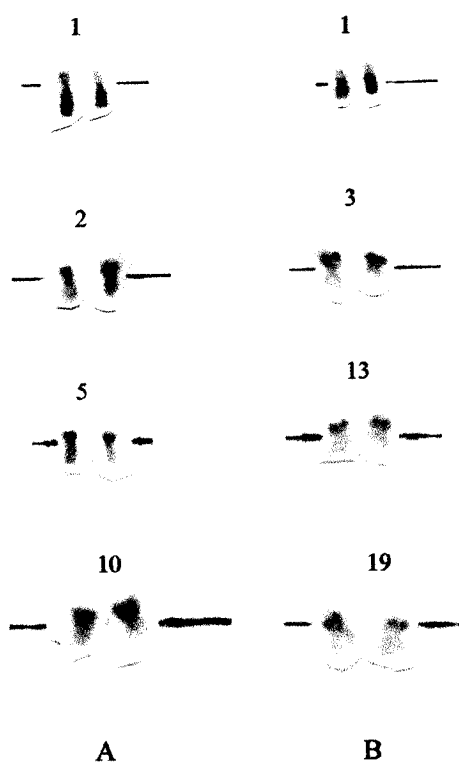
กลุ่มที่ 3 ประกอบด้วย *S. poculi* เพียงชนิดเดียว (รูป 51) ซึ่งมีカリโอไทป์ดังนี้ $8m+8sm+12a+22t$ ($2n=50$) และเมื่อทำการข้อมูลสีแบบ C-banding พบว่าโครโนโซมส่วนใหญ่ของปลาชนิดนี้จะติดสีบริเวณ centromere เป็นส่วนใหญ่ ยกเว้นโครโนโซมคู่ที่ 2, 3 และ 4 เท่านั้นที่ปรากฏ band ที่แขนข้างสั้นของโครโนโซม และเมื่อพิจารณาการข้อมูลสีแบบ NOR banding พบว่ามี NOR band ปรากฏที่โครโนโซมคู่แบบ metacentric ซึ่งแตกต่างกับชนิดอื่น

กลุ่มที่ 4 ประกอบด้วย *S. spilota* และ *S. cf. spilota* (รูป 51) ซึ่งมีカリโอไทป์ดังนี้ $12m+8sm+4a+26t$ ($2n=50$) และ $6m+4sm+12a+28t$ ($2n=50$) ตามลำดับ และเมื่อนำผลที่ได้จากการข้อมูลสีแบบ C-banding มาประกอบการพิจารณาพบว่าโครโนโซมคู่ที่ 1, 2 และ 3 ของ *S. spilota* ติดสีคล้ายกับโครโนโซมคู่ที่ 1, 5 และ 4 ของ *S. cf. spilota* ตามลำดับ (รูป 56)

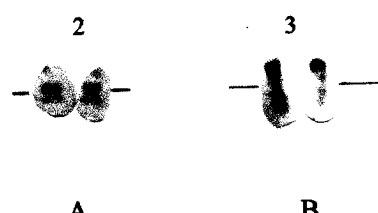


รูป 56 โครโนโซมคู่ที่ 1, 2 และ 3 ของ *S. spilota* (A) และ โครโนโซมคู่ที่ 1, 5 และ 4 ของ *S. cf. spilota* (B) ข้อมูลด้วยวิธี C-banding

กลุ่มที่ 5 ประกอบด้วย *S. nicholsi* และ *S. obeini* (รูป 51) ซึ่งมีカリโอไทป์ดังนี้ $6m+16sm+8a+20t$ ($2n=50$) และ $12m+10sm+4a+24t$ ($2n=50$) ตามลำดับ และพบว่าเมื่อนำมาตีสีได้จากการข้อมูลแบบ C-banding นาประกอบการพิจารณาจะพบว่า ปลาทั้ง 2 ชนิดมีโครงโน้มโฉมคู่ที่ 1 คล้ายกันคือ แขนข้างขวาของโครงโน้มจะติดตื้นทั้งหมดเหมือนกัน นอกจากนี้ยังพบว่าแขนข้างสันหลังของโครงโน้มโฉมคู่ที่ 2, 5 และ 10 ของ *S. nicholsi* และโครงโน้มคู่ที่ 3, 13 และ 19 ของ *S. obeini* ติดตื้นคล้ายกันตามลำดับ (รูป 57) และเมื่อข้อมูลแบบ NOR banding พบร่อง NOR band ที่แขนข้างสันหลังของโครงโน้มคล้ายกัน (รูป 58)



รูป 57 โครงโน้มโฉมคู่ที่ 1, 2, 5 และ 10 ของ *S. nicholsi* (A) และโครงโน้มคู่ที่ 1, 3, 13 และ 19 ของ *S. obeini* (B) ข้อมูลด้วยวิธี C-banding



รูป 58 โครงโน้มของปลาตัวทั้ง 2 ชนิด ข้อมูลด้วยวิธี NOR banding

A) *S. nicholsi*, B) *S. obeini*

กลุ่มที่ 6 ประกอบด้วย *S. kengtungensis* เพียงชนิดเดียว (รูป 51) ซึ่งมีカリโอไทป์ คั่งนี้ 6m+10sm+8a+28t ($2n=52$) เมื่อข้อมูลแบบ NOR banding จะพบว่ามี NOR band ปรากฏที่ส่วนปลายสุดของโครโนโซมแบบ telocentric

บทที่ 5

อภิปรายผลการศึกษา

การจัดการวิธีการ

ได้ทำการศึกษาการวิธีการป้องปลากอสกุล *Schistura* โดยย้อมด้วยสี Giemsa ซึ่งเป็นวิธีที่นิยมใช้ศึกษาในปลาทั่วๆไป (Ohno and Atkin, 1966) นอกจากนี้ยังได้ทำการย้อมสีโครโนโชนแบบพิเศษอีก 4 แบบ คือ Q-banding, G-banding, C-banding และ NOR banding ซึ่งทั้ง 4 วิธีนี้ได้มีคนได้ทำการศึกษาไว้บ้างแล้วโดยเฉพาะการย้อมแบบ C-banding และ NOR banding ซึ่งนิยมใช้ย้อมในปลาเป็นจำนวนมาก ส่วนการย้อมแบบ Q-banding และ G-banding ได้มีการทำการศึกษาไว้ค่อนข้างน้อย ใน การศึกษาครั้งนี้พบว่าปลาต่อทั้ง 10 ชนิด ได้แก่ *Schistura cf. menanensis*, *S. nicholsi*, *S. obeini*, *S. poculi*, *S. cf. robertsi* 1, *S. cf. robertsi* 2, *S. spilota*, *S. cf. spilota* *S. waltoni* และ *Schistura* sp. มีจำนวนโครโนโชน $2n=50$ ส่วนอีก 1 ชนิดคือ *S. kengtungensis* มีจำนวนโครโนโชน $2n=52$ ถึงแม้ว่าปลาทั้ง 10 ชนิดจะมีจำนวนของโครโนโชนเท่ากันแต่ก็มีความแตกต่างกันที่รูปแบบ การวิธีการ ซึ่งจำนวนโครโนโชนที่ได้ตรงกับรายงานการศึกษาของปลาต่อสกุล *Noemacheilus* 2 ชนิด คือ *N. aureus* และ *N. barbatulus* ซึ่งมีจำนวนโครโนโชนทั้งหมด $2n=50$ เท่ากัน (Khuda-Bukhsh et al., 1986; Collares-Pereira et al. 1995)

สำหรับการย้อมสีแบบ C-banding นั้น พบว่าโครโนโชนของปลาต่อส่วนใหญ่จะย้อมติดต่อบริเวณ centromere เนื่องเดียวกับการศึกษา C-banding ในปลาชนิดอื่นๆ (Uwa and Ojima, 1981; Ojima, 1983) และยังพบอีกว่าโครโนโชนบางคู่มีการติดสีบริเวณปลายแขนงข้างได้ช้าลงหนึ่ง หรืออาจจะติดสีตรงกลางของแขนงได้เร็วหนึ่ง หรือติดสีทั้ง 2 ตำแหน่ง และบางครั้งอาจติดสีตลอดทั้งแขนง ข้างได้ช้าลงหนึ่งซึ่งสามารถพบได้ในปลาชนิดอื่นเช่นกัน (Gregury et al., 1980; Ojima, 1983; Almeida-Toledo et al., 1995; Campos et al., 1997)

การย้อมสีแบบ NOR banding ซึ่งเป็นวิธีที่นิยมทำมากในปลา (Gold et al., 1990) จากการทดลองนี้พบว่าปลาต่อทุกชนิดเมื่อย้อมสีด้วยวิธีนี้จะพบการติดสีที่บริเวณ Nucleolus Organizer Regions จำนวน 1 คู่ ซึ่งจะสามารถพบได้ในโครโนโชนทุกชนิด ซึ่งตรงกับการรายงานของ Klinkhard (1998) กล่าวว่า NOR band สามารถพบได้ในโครโนโชนทุกชนิดมีตำแหน่งที่ปรากฏทั้งหมด 14 แบบ ยังมีรายงานพบ NOR band ได้ในปลาชนิดอื่นๆ เช่น ปลาชิวเข้าสารสกุล *Oryzias* (Uwa and Ojima, 1981; Uwa, 1986) และปลากรุ่นปลาตะเพียน (จันทินา, 2542; Forest et al., 1981; Magtoon and Aria, 1993; Almeida-Toledo et al., 1995; Garcia et al., 1995)

ในการทดลองครั้งนี้พบว่าตำแหน่งที่พับ NOR band ในปลาทั้ง 11 ชนิดเมื่อย้อมสีแบบ C-banding จะปรากฏแถบสีเข้มที่บริเวณเดียวกันซึ่งสามารถพบได้ในปลาชนิดอื่นเช่นกัน (Gregury *et al.*, 1980; Jankun *et al.*, 1998; Woznicki *et al.*, 1998)

การย้อมสีแบบ G-banding วิธีนี้มีคุณสมบัติทางกายภาพที่ดีกว่าการย้อมสีแบบ C-banding ที่ใช้สารละลายในไนโตรเจนที่ทำให้เกิดการย้อมสีที่ไม่คงทนและไม่ชัดเจน จึงทำให้การศึกษาในปลาที่มีโครงสร้างของโครโมโซมที่ซับซ้อนและซับซ้อน เช่น ปลา *Salmo salar* หรือ *Anguilla anguilla* ไม่สามารถดำเนินการได้ (Purdom, 1993)

การย้อมสีแบบ Q-banding วิธีนี้มีการศึกษาที่ลึกซึ้งกว่าการย้อมสีแบบ G-banding แต่ต้องใช้เวลาและแรงงานมากขึ้น จึงไม่ได้รับความนิยมในวงการชีววิทยา แต่การย้อมสีแบบ Q-banding สามารถระบุตำแหน่งของโครโมโซมที่มีความสำคัญทางชีววิทยา เช่น จุดจับคู่ (centromere) ของโครโมโซมในปลาที่มีโครงสร้างที่ซับซ้อน เช่น ปลา *Schistura spilota* หรือ *Anguilla anguilla* (Medrano *et al.*, 1988)

การเปรียบเทียบการวิเคราะห์โครโนมระหว่างชนิด

เนื่องจากปลาค้อสกุล *Schistura* ยังไม่มีรายงานว่ามีผู้ใดเคยทำการศึกษามาก่อน จะมีกี่เพียงปลาค้อสกุล *Nemacheilus* 2 ชนิด ซึ่งได้มีการรายงานเพียงจำนวนน้อยๆ ของโครโนมแต่ไม่ได้รายงานลักษณะของโครโนมที่ซับซ้อน เช่น โครโนมที่มีจุดจับคู่ที่ 3 แบบ telocentric เพียงคู่เดียว เช่นเดียวกับการศึกษาในปลาตูหนา (*Anguilla anguilla*) (Medrano *et al.*, 1988)

จากการศึกษาในครั้งนี้เมื่อเปรียบเทียบระหว่างการศึกษาทางค้านเซลล์พันธุศาสตร์กับลักษณะภายนอก (ตาราง 16) พบว่าปลาในกลุ่มที่ 3 ประกอบด้วย *S. poculi*, กลุ่มที่ 4 ประกอบด้วย *S. spilota* กับ *S. cf. spilota* และกลุ่มที่ 5 ประกอบด้วย *S. nicholsi* กับ *S. obeini* ของการศึกษาทางค้านเซลล์พันธุศาสตร์มีความสัมพันธ์กับกลุ่มที่จัดกลุ่มโดยใช้ลักษณะภายนอก ซึ่งในกลุ่มที่ 3 ที่ประกอบด้วย *S. poculi* จะเห็นว่าปลาชนิดดังกล่าวมีลักษณะของโครโนมแตกต่างจากชนิดอื่นๆ ชัดเจน ผลจากการย้อมสีแบบ C-banding พบว่าโครโนมส่วนใหญ่ของปลาชนิดนี้จะติดสีบริเวณ centromere เป็นส่วนใหญ่ ยกเว้นโครโนมคู่ที่ 2, 3 และ 4 เท่านั้นที่ปรากฏ band ที่แขนข้างสั้น

ของโครโนโซน สำหรับการข้อมูลแบบ NOR banding พบร่วมกับ NOR band ปรากฏที่โครโนโซนคู่แบบ metacentric ซึ่งแตกต่างกับชนิดอื่น และเมื่อพิจารณาลักษณะภายนอกพบว่า *S. poculi* มีลักษณะลายบนลำตัวที่แตกต่างจากชนิดอื่นๆ ชั้บเงนเข่นกัน สำหรับกลุ่มที่ 4 ที่จัดเป็นกลุ่มเดียวกันตามชนิดของโครโนโซน และพิจารณาร่วมกับการข้อมูลแบบ C-banding พบร่วมโครโนโซนคู่ที่ 1, 2 และ 3 ของ *S. spilota* ติดสีคล้ำยังกับโครโนโซนคู่ที่ 1, 5 และ 4 ของ *S. cf. spilota* ตามลำดับ และลักษณะภายนอกที่มีลักษณะที่เฉพาะคือลายบนลำตัวมีรูปแบบเป็นจุดอยู่บนลำตัวคล้ายกันซึ่งแตกต่างจากชนิดอื่นๆ และกลุ่มที่ 5 ที่จัดเป็นกลุ่มเดียวกันตามชนิดของโครโนโซน และพิจารณาร่วมกับการข้อมูลแบบ C-banding พบร่วมปลาทั้ง 2 ชนิดมีโครโนโซนคู่ที่ 1 คล้ายกันคือ แขนหางขาวของโครโนโซนจะติดสีทึบหม่นเหมือนกัน นอกจากนี้ยังพบว่าแขนหางสันของโครโนโซนคู่ที่ 2, 5 และ 10 ของ *S. nicholsi* และโครโนโซนคู่ที่ 3, 13 และ 19 ของ *S. obeini* ติดสีคล้ำยังกันตามลำดับ และเมื่อข้อมูลแบบ NOR banding พน NOR band ที่แขนหางสันของโครโนโซน 1 คู่คล้ายกัน และลักษณะภายนอกของปลาคู่นี้คล้ายกัน และขณะมีชีวิตครึ่งทางของปลาทั้ง 2 ชนิดมีสีแดงเหมือนกัน นอกจากนี้ยังพบอีกว่าปลาคู่ที่ 4 และ 5 มีโครโนโซนคู่ที่ 1 ของปลาทั้ง 4 ชนิดจะปรากฏ C-banding ที่แขนหางขาวของโครโนโซนตลอดครึ่งทางทั้งหมดเหมือนกัน ซึ่งอาจจะเป็นไปได้ที่ปลาทั้ง 4 ชนิดซึ่งอยู่ในกลุ่มใกล้เคียงกันนี้อาจมีความสัมพันธ์ใกล้ชิดกันมาก่อน เพราะ heterochromatin สามารถถูกดึงความจำเพาะของสั่งมีชีวิตแต่ละชนิดได้ (คันย์ และอังสนา, 2539) ส่วนปลาคู่ที่ 2 ที่จัดตามชนิดของโครโนโซน คือ *S. waltoni* กับ *S. cf. menanensis* เมื่อเปรียบเทียบกับการจัดกลุ่มโดยคุณลักษณะภายนอก ปลา 2 ชนิดนี้ขัดแย้งในกลุ่มเดียวกับ *S. kengtungensis* และ *S. kengtungensis* นี้จำนวนโครโนโซน 2n=52 จึงทำให้มีจัดตามชนิดโครโนโซนปลาชนิดดังกล่าวจึงถูกจัดแยกออกไป สำหรับปลาคู่ที่ 1 ที่จัดตามชนิดของโครโนโซนจะประกอบด้วยปลา 3 ชนิด คือ *S. cf. robertsi* 1, *Schistura* sp. และ *S. cf. robertsi* 2 เมื่อพิจารณาร่วมกับการข้อมูลแบบ C-banding และ NOR banding พบร่วมโครโนโซนคู่ที่ 4 ของ *S. cf. robertsi* 1 โครโนโซนคู่ที่ 3 ของ *Schistura* sp. และโครโนโซนคู่ที่ 1 ของ *S. cf. robertsi* 2 จะติดสีเหมือนกัน แต่มีการทำการจัดกลุ่มตามลักษณะภายนอก จะจัดแยกเป็น 2 กลุ่มที่อยู่ใกล้เคียงกัน คือ *S. cf. robertsi* 1 กับ *S. cf. robertsi* 2 เป็นกลุ่มเดียวกันซึ่งปลาทั้ง 2 ชนิดนี้จะมีลายบนลำตัวคล้ายกัน และ *Schistura* sp. เป็นอีกกลุ่มนึงซึ่งลายบนลำตัวจะต่างจาก *S. cf. robertsi* 1 กับ *S. cf. robertsi* 2

การเปลี่ยนแปลงของโครโนโซนในปลาชนิดหนึ่งเป็นอีกชนิดหนึ่งคาดว่ามีผลมาจากการเกิด Robertsonian translocation ซึ่งเหตุการณ์ดังกล่าวมีผลต่อวิวัฒนาการในสัตว์มีกระดูกสันหลัง พบมากในรูปแบบของ Robertsonian fusion และ Robertsonian fission (อมรา, 2540) ดังตัวอย่างกลุ่มที่ 2 ซึ่งประกอบด้วย *S. waltoni* และ *S. cf. menanensis* ปลาทั้ง 2 ชนิดมีจำนวนโครโนโซนแบบ

metacentric และ submetacentric เท่ากันแต่ *S. cf. menanensis* มีจำนวนโครโนโซมแบบ acrocentric มากกว่า *S. waltoni* 1 คู่ และมีโครโนโซมแบบ telocentric น้อยกว่า 1 คู่ ซึ่งจำนวนโครโนโซมแบบ telocentric ที่เพิ่มขึ้น 1 คู่ใน *S. waltoni* อาจเป็นผลมาจากการเกิด Robertsonian fission กับโครโนโซมแบบ acrocentric ของ *S. cf. menanensis* ได้โครโนโซมแบบ telocentric ชั้นใหญ่ และชั้นเล็กอย่างละ 1 คู่ และคาดว่าโครโนโซมชั้นเล็กหายไปในระหว่างการแบ่งเซลล์ การเปลี่ยนแปลงในปลาดุกอื่นๆ คาดว่าเป็นผลจาก Robertsonian translocation เท่านั้น ซึ่งสอดคล้องกับการศึกษาของ Ojima (1983) ซึ่งพบ Robertsonian translocation ในปลาชนิดอื่นๆ ด้วย

ตาราง 16 เปรียบเทียบการจัดกลุ่มความใกล้ชิดของปลาคือ

| กลุ่มที่ | ตามชนิดของโครโนโซม | ตามลักษณะภายนอก |
|----------|-----------------------------------------------------------------------------|---------------------------------------------------------------------------|
| 1 | <i>S. cf. robertsi</i> 1, <i>Schistura</i> sp., <i>S. cf. robertsi</i> 2 | <i>S. cf. menanensis</i> , <i>S. kengtungensis</i> , <i>S. waltoni</i> |
| 2 | <i>S. cf. menanensis</i> , <i>S. waltoni</i> | <i>S. nicholsi</i> , <i>S. obeini</i> |
| 3 | <i>S. poculi</i> | <i>S. cf. robertsi</i> 1, <i>S. cf. robertsi</i> 2 |
| 4 | <i>S. spilota</i> , <i>S. cf. spilota</i> | <i>Schistura</i> sp. |
| 5 | <i>S. nicholsi</i> , <i>S. obeini</i> | <i>S. spilota</i> , <i>S. cf. spilota</i> |
| 6 | <i>S. kengtungensis</i> | <i>S. poculi</i> |

การเตรียมเซลล์

เซลล์ที่เลือกใช้ในการศึกษาตอนแรกเลือกเฉพาะไ泰 (Park and Park, 1979; Rishi, 1979) แต่ได้เซลล์ไม่นำพนเนื่องจากปลาที่ทำการทดลองมีขนาดเล็ก ดังนั้นจึงได้เลือกเอาแหงือก (Chen and Ebeling, 1968; Nanda *et al.*, 1995) มาใช้เตรียมเพิ่มชั้งทำให้ปริมาณเซลล์ที่ต้องการมีมากเพียงพอ สำหรับการเตรียมเซลล์ในระยะ metaphase นั้น พบร่วมกับชนิดจำนวนโครโนโซมมีความแตกต่างกันไม่นัก และความแตกต่างของเวลาที่เกิดระยะ metaphase จะขึ้นกับชนิด และขนาดของปลา ในการใช้สารละลายโคลัชินได้ทดลองโดยแยกเป็นสารละลายโคลัชิน (Chen and Ebeling, 1968) พบร่วมกับวิธีนี้ให้ผลไม่ค่อยดี จึงเปลี่ยนมาใช้วิธีอีดีซีซีซึ่งให้ผลดีกว่าวิธีแรก ซึ่งในช่วงแรกหลังจากฉีดปีกปลาแล้ว 6-8 ชั่วโมง จึงทำการเก็บเกี่ยวเซลล์ พบร่วมกับสารต้านการเก็บเกี่ยวเซลล์ในระยะ metaphase ได้มาก แต่โครโนโซมสั้นมาก และหากการซึ่งไม่เหมาะสมที่จะใช้ข้อมูลแบบ G- และ Q-banding จึงได้ลดเวลาลงเหลือ 1-2 ชั่วโมง ซึ่งจะทำให้ได้เซลล์ในระยะ metaphase ที่มีโครโนโซม

ข้าวและเหมาะสมกับการย้อมสีแบบพิเศษ แต่การทดลองเวลาลงก์ทำให้ได้เซลล์ในระยะ metaphase ลดน้อยลงตามไปด้วย แต่ก็ได้ออกเวลาในช่วงนี้เนื่องจากทำให้ได้โครโนโซมที่เหมาะสมกับการย้อมสี และพบว่าสารละลายโคลอชิซิน 0.01% สามารถหยุดการแบ่งเซลล์ให้อืดในระยะ metaphase ได้ดี และในระหว่างที่ทำการศึกษาข้างต้นทดลองเดี่ยงเซลล์โดยเลือกเซลล์ส่วนครึ่บมาทำการเดี่ยง (คัดแปลงจากวิธีของ Uwa and Ojima, 1981) สามารถเดี่ยงได้แต่ไม่นานเซลล์ดังกล่าวก็ตาย เนื่องจากไม่มีตู้อบ (incubator) ที่มีอุณหภูมิอยู่ในช่วง 22-28 องศาเซลเซียส แต่ถ้าเราสามารถเดี่ยงเซลล์ของปลาได้จะช่วยลดปัญหาในเรื่องของจำนวน metaphase และขนาดโครโนโซมได้ โดยเฉพาะปลาที่มีขนาดเล็กเมื่อทำการเตรียมเซลล์แบบเดิมจะทำให้ได้เซลล์ในระยะ metaphase น้อย ขนาดของโครโนโซมในแต่ละ metaphase แตกต่างกันมาก และโครโนโซมที่ได้ก็ไม่ค่อยเหมาะสมที่จะนำมา y้อมสีแบบพิเศษ ดังเช่นการทดลองของ Lingyun (1986) ซึ่งได้ทำการเดี่ยงเซลล์ของปลา *Misgurnus anguillicaudatus* และปลาไอล (*Monopterus albus*) จาก lymphocytes ผลที่ได้ทำให้ได้โครโนโซมที่มีขนาดยาว มีขนาดสม่ำเสมอและสามารถย้อมสีแบบ G-band ได้แทนที่ชัดเจนกว่าการย้อมแบบเก่า ที่สำคัญถ้าสามารถเดี่ยงเซลล์ได้จะทำให้ตัวอย่างปลาในการศึกษาไม่น่ากแหเมื่อนวิธีเดิม

การย้อมสีแบบพิเศษ

1. การย้อมสีแบบ Q-banding

เวลาที่ใช้แช่สไลด์ใน Methanol (absolute, 75% และ 50%) พบร่วงเวลาในการแช่สไลด์ถ้าต่ำกว่า 5 นาที การติดสีจะไม่ค่อยชัดเจน แต่ช่วงเวลาตั้งแต่ 5 นาที เป็นต้นไปจะให้ผลที่ไม่แตกต่างกันดังนั้นการศึกษารังนี้จึงเลือกช่วงเวลาดังกล่าว สิ่งสำคัญในการย้อมสีวิธีนี้คือ ต้องได้โครโนโซมที่มีคุณภาพดี มีการกระจายตัวดี และมี cytoplasm เหลืออยู่ที่สุด สิ่งที่สำคัญอีกประการคือการปรับ pH ของ buffer ให้เหมาะสมกับโครโนโซมที่เตรียมได้ในแต่ละห้องปฏิบัติการ คุณภาพของน้ำกลั่นที่ใช้ ก็มีความจำเป็น ถ้าสามารถปรับปรุงแก้ไขการย้อมจนได้สวยงามแล้วก็จะสามารถย้อมได้ดีตลอดโดยใช้เทคนิคเดิม

2. การย้อมสีแบบ G-banding

ความเข้มข้นและระยะเวลาที่ใช้แช่สไลด์ใน Trypsin การทดลองครั้งนี้ได้แบ่งความเข้มข้นออกเป็น 2 ระดับคือ 0.05% และ 0.10% และระยะเวลาแช่สไลด์ประกอบด้วย 1, 2, 3, 4, 5, 10 และ 15 วินาที พบร่วงเวลาที่เหมาะสมที่สุดคือ 0.05% Trypsin ใช้เวลา 1-2 วินาที ส่วนความเข้มข้นและเวลาที่เหลือจะไม่เหมาะสมที่จะใช้เนื่องจาก Trypsin จะย่อยโครโนโซมมากเกินไปทำให้โครโนโซมยุบเมื่อย้อมสีจะไม่เกิด band สิ่งสำคัญในการย้อมสีวิธีนี้คือ ต้องได้โครโนโซมที่มี

คุณภาพดี มีการกระจายตัวดี และมี cytoplasm เหลืองน้อยที่สุด นอกจากนี้อายุสไลด์ก็มีผลต่อการย้อม สีในการทดสอบครั้งนี้จะใช้สไลด์ที่มีอายุไม่เกิน 3 วัน ถ้าเวลาสามารถกว่านี้ต้องทำการปรับวิธีการใหม่ และสไลด์ไม่ควรมีอายุเกิน 7 วัน เพราะสไลด์คงกล่าวจะไม่เหมาะที่จะนำมาข้อมูลวิธีนี้

3. การย้อมลีแบบ C-banding

ระยะเวลาในการแช่สไลด์ใน 0.2 N HCl ที่อุณหภูมิห้อง และเวลาในการแช่สไลด์ใน Ba(OH)₂ ที่ 50 องศาเซลเซียส ซึ่ง Ba(OH)₂ ที่ทดลองในครั้งนี้มี 2 ความเข้มข้นคือ 1% Ba(OH)₂ และ 5% Ba(OH)₂ ซึ่งการศึกษาในครั้งนี้เลือก 1% Ba(OH)₂ แห่งน้ำ 20-40 วินาที มาทำการศึกษา จากการทดลองพบว่าเมื่อแช่สไลด์ใน 0.2 N HCl นาน 2 ชั่วโมงใน 5% Ba(OH)₂ และ 1% Ba(OH)₂ จะทำให้เซลล์ต่างๆ รวมทั้งโครโนโซมบนสไลด์หายไปหมด และถ้าแช่สไลด์ใน 0.2 N HCl นาน 30 นาที แล้วนำมาราชีฟ์ใน Ba(OH)₂ ทั้ง 2 ความเข้มข้นจะไม่เกิด band เลย แต่เมื่อแช่สไลด์ใน 0.2 N HCl นาน 1 ชั่วโมง แล้วนำไปราชีฟ์ใน 1% Ba(OH)₂ ในช่วงเวลา 20-40 วินาที จะพบ band เกิดขึ้น ซึ่งกรรมวิธีที่เหลือโครโนโซมจะไม่ปรากฏ band เลย สิ่งสำคัญในการย้อมสีวิธีนี้คือ ต้องได้โครโนโซมที่มี คุณภาพดี มีการกระจายตัวดี และมี cytoplasm เหลืองน้อยที่สุด นอกจากนี้ 2XSSC และ Ba(OH)₂ ที่ใช้ต้องเตรียมใหม่ทุกครั้ง ตี Giemsa ที่ใช้ย้อมควรจะใช้ของ Gurr เพราะจะให้ผลที่ดีกว่าของ Fisher chemicals

บทที่ 6

สรุปผลการศึกษา

ปลาค้อสกุล *Schistura* ที่ใช้ในการศึกษารังนี้ทั้งหมด 11 ชนิด พบร่วมกัน 10 ชนิดมีจำนวนโครงโน้ม 2n=50 เท่ากัน ส่วนอีก 1 ชนิดมีจำนวนโครงโน้ม 2n=52 โดยปลาค้อแต่ละชนิดมีการไอโอไทป์ ตำแหน่งการติด C-band และ NOR band บนโครงโน้มแตกต่างกัน ดังแสดงในตาราง 17, 18 และ 19 ตามลำดับ

ตาราง 17 การไอโอไทป์ของปลาค้อสกุล *Schistura* ที่พบร่วมกันในรังน้ำสาขางองแม่น้ำปิง

| กลุ่มที่ | ชนิด | รูปแบบการไอโอไทป์ |
|----------|--------------------------|-------------------|
| 1 | <i>S. cf. robertsi</i> 1 | 4m+8sm+8a+30t |
| | <i>Schistura</i> sp. | 6m+8sm+8a+28t |
| | <i>S. cf. robertsi</i> 2 | 6m+12sm+10a+22t |
| 2 | <i>S. waltoni</i> | 8m+12sm+14a+16t |
| | <i>S. cf. menanensis</i> | 8m+12sm+16a+14t |
| 3 | <i>S. poculi</i> | 8m+8sm+12a+22t |
| 4 | <i>S. spilota</i> | 12m+8sm+4a+26t |
| | <i>S. cf. spilota</i> | 6m+4sm+12a+28t |
| 5 | <i>S. nicholsi</i> | 6m+16sm+8a+20t |
| | <i>S. obeini</i> | 12m+10sm+4a+24t |
| 6 | <i>S. kengtungensis</i> | 6m+10sm+8a+28t |

ตาราง 18 ตำแหน่งการติดสี C-band บนโครโนโซนปลาค้อ 11 ชนิด

| กลุ่ม | ชนิดปลาค้อ | ตลอด แขนข้าง ขวา | บางส่วน ของแขนข้าง ขวา | ตลอดแขน ข้างถัง | บริเวณ centromere | 2 ชุด |
|-------|--------------------------|------------------------|------------------------------|-------------------------------|---------------------------------------------------------------------------------------------------------------|----------------|
| 1 | <i>S. cf. robertsi</i> 1 | | 1(a), 6(m), 7(sm), 11(t) | 4(a) | 2(m), 3(sm), 5(t), 10(t), 18(t) | |
| | <i>Schistura</i> sp. | | 4(t) | 3(a), 5(sm) | 1(m), 2(m) | |
| | <i>S. cf. robertsi</i> 2 | | | 1(a), 3(a) | 2(sm), 4(m), 5(m), 6(t), 7(t), 8(sm) | |
| 2 | <i>S. waltoni</i> | | | 3(sm), 5(sm), 6(a), 7(a) | 1(m), 2(t), 4(sm), 10(m), 11(m) | |
| | <i>S. cf. menanensis</i> | | | 3(sm), 4(sm), 6(a), 8(a) | 1(m), 2(m), 5(sm), 7(t), 15(m) | |
| 3 | <i>S. poculi</i> | | | 2(m), 3(sm), 4(a) | 1(sm), 5(m), 6(t), 7(t), 10(t), 11(t), 12(t), 13(t), 14(m), 18(t), 19(t), 20(m), 23(t), 24(t), 25(t) | |
| 4 | <i>S. spilota</i> | 1(m), 4(m) | 7(a) | 6(sm), 13(a) | 3(t), 10(m), 14(t), 15(t), 16(t) | 2(t) |
| | <i>S. cf. spilota</i> | 1(m) | 13(sm) | 2(a), 6(a), 10(sm) | 3(m), 4(t), 7(t), 8(t), 9(a) | 5(t) |
| 5 | <i>S. nicholsi</i> | 1(sm) | | 2(sm), 5(sm), 9(a), 10(sm) | 3(t), 4(m), 6(sm), 7(t), 8(m) | |
| | <i>S. obeini</i> | 1(m), 2(m) | 10(t) | 3(sm), 13(sm), 19(sm) | 4(m), 5((m), 8(t), 9(t), 11(t), 23(t) | 7(a), 15(a) |
| 6 | <i>S. kengtungensis</i> | | 4(t), 15(a) | 9(a), 13(sm) | 1(sm), 2(m), 5(t), 6(t), 12(m) | |

ตาราง 19 ตำแหน่งการติดสีแบบ NOR band บนโครโนโซมแต่ละคู่ในปลาค้อ 11 ชนิด

| กลุ่ม | ชนิดปลาค้อ | metacentric | submetacentric | acrocentric | telocentric |
|-------|--------------------------|-------------|----------------|-------------|-------------|
| 1 | <i>S. cf. robertsi</i> 1 | | | 4 | |
| | <i>Schistura</i> sp. | | | 3 | |
| | <i>S. cf. robertsi</i> 2 | | | 1 | |
| 2 | <i>S. waltoni</i> | | 3 | | |
| | <i>S. cf. menanensis</i> | | 3 | | |
| 3 | <i>S. poculi</i> | 2 | | | |
| 4 | <i>S. spilota</i> | | 6 | | |
| | <i>S. cf. spilota</i> | | | 2 | |
| 5 | <i>S. nicholsi</i> | | 2 | | |
| | <i>S. obeini</i> | | 3 | | |
| 6 | <i>S. kengtungensis</i> | | | | 4 |

สำหรับการข้อมูลสีโครโนโซมแบบ G-banding พบว่าโครโนโซมของปลาแต่ละชนิดมีอยู่ 5 คู่วิธีนี้แล้วจะช่วยทำให้การจับคู่โครโนโซมทำได้ง่ายขึ้น เพราะว่าโครโนโซมที่เป็นคู่กันจะมีແળน์ปรากฏเหมือนหรือใกล้เคียงกัน

การข้อมูลสีแบบ Q-banding จะพบແળน์สว่างชัดเจนเฉพาะส่วนปลายของโครโนโซมแบบ telocentric คู่ที่ 3 ในปลา *S. spilota* เพียงชนิดเดียวไม่พบในปลาค้ออีก 10 ชนิดที่ทำการศึกษา

จากการศึกษาทางด้านเซลล์พันธุศาสตร์สามารถจัดกลุ่มปลาค้อได้ทั้งหมด 6 กลุ่ม คือกลุ่มที่ 1 ประกอบด้วย *S. cf. robertsi* 1, *Schistura* sp. และ *S. cf. robertsi* 2 กลุ่มที่ 2 ประกอบด้วย *S. waltoni* และ *S. cf. menanensis* กลุ่มที่ 3 ประกอบด้วย *S. poculi* กลุ่มที่ 4 ประกอบด้วย *S. spilota* และ *S. cf. spilota* กลุ่มที่ 5 ประกอบด้วย *S. nicholsi* และ *S. obeini* และกลุ่มที่ 6 ประกอบด้วย *S. kengtungensis* ผลที่ได้มีนำไปเปรียบเทียบกับการจัดกลุ่มโดยอาศัยลักษณะภายนอกพบว่ากลุ่มที่ 3, 4 และ 5 ให้ผลแบบเดียวกัน แต่สำหรับอีก 3 กลุ่มที่เหลือมีความแตกต่างกันเล็กน้อย

บรรณานุกรม

- จันทินา ปียะพงษ์. (2542). カリโอไทป์และการกระจายของบริเวณนิวคลิโอลัสดอตการในเชอร์ของปลาตะเพียน 4 ชนิด ในประเทศไทย. วิทยาศาสตร์มหาบัณฑิต ภาควิชาชีววิทยา คณะวิทยาศาสตร์ จุฬาลงกรณ์มหาวิทยาลัย.
- ชาลิต วิทยานนท์, จรัลชาดา กรรณสูต และจารุธินี นกีตะภัส. (2540). ความหลากหลายชนิดของปลาเนื้อสีในประเทศไทย. สำนักงานนโยบายและแผนสิ่งแวดล้อม. กรุงเทพฯ.
- ชัคนาเร มีสุข ใจ. (2539). カリโอไทป์ของหอยกาน้ำจืดวงศ์ Amblemidae ที่พบในลุ่มน้ำยม และ่น. วิทยาศาสตร์มหาบัณฑิต ภาควิชาชีววิทยา บัณฑิตวิทยาลัย จุฬาลงกรณ์มหาวิทยาลัย.
- คนัย บุญเกียรติ และอังสนา อัครพิศาล. (2539). ชีววิทยาโนเมเลกุลของเซลล์. คณะเกษตรศาสตร์ มหาวิทยาลัยเชียงใหม่. 116-131.
- ธวัช คงสกุล. (2534). การศึกษาโครงโน้มของปลาเนื้ออ่อน ปลาแดง และปลาจะโน้นของไทย. รายงานการวิจัย เสนอขออนุมัติวิทยาลัยศรีนครินทร์วิโรฒ. กรุงเทพฯ.
- ธวัช คงสกุล และวิชัย มากตุ้น. (2534). การศึกษาโครงโน้มของปลาช่อน ช่อนญ่าเห่า ชะโド กระสง และปลา ก้าง ที่พบในประเทศไทย. รายงานการวิจัยเสนอต่อสำนักงานคณะกรรมการวิจัยแห่งชาติ. กรุงเทพฯ.
- นิตย์ศรี แสงเดือน. (2541). พันธุศาสตร์พืช. ภาควิชาพันธุศาสตร์ คณะวิทยาศาสตร์ มหาวิทยาลัยเกษตรศาสตร์. กรุงเทพมหานคร. หน้า 45-68.
- วัชรี เพียงอุ่น. (2541). การตรวจวิเคราะห์ไฮโซไครโนโนมเอ็กซ์ โดยวิธีเซลล์พันธุศาสตร์ และอนุเซลล์พันธุศาสตร์ ในผู้ป่วยที่มีกลุ่มอาการเทอร์เนอร์. วิทยาศาสตร์มหาบัณฑิต สาขาวิชาภาษาอังกฤษ ภาควิชาศาสตร์ บัณฑิตวิทยาลัย มหาวิทยาลัยเชียงใหม่. หน้า 56-57.
- วิสุทธิ์ ใบไม้. (2533). พันธุศาสตร์. (พิมพ์ครั้งที่ 2). กรุงเทพฯ: เจ้าพระราษฎร์พิมพ์. หน้า 31-34.
- สารวัช กาญจนะวนิชย์ และนรนถ มูนจินดา. (2542). คู่มือนักศึกษาหน้า. กรุงเทพมหานคร. แปลน พรินท์ติ้ง. หน้า 27-30.
- สุนิตรา วิสุทธารามณ์. (2537). พันธุกรรมของเซลล์ยุคาริโอล. ภาควิชาชีววิทยา คณะวิทยาศาสตร์ มหาวิทยาลัยสงขลานครินทร์ สงขลา. หน้า 41-37.
- อมรา ศิมภิรานนท์. (2536). พันธุศาสตร์ของเซลล์. ภาควิชาพันธุศาสตร์ คณะวิทยาศาสตร์ มหาวิทยาลัยเกษตรศาสตร์ กรุงเทพฯ. หน้า 197-228, 283-288.

- อมรา คัมภีรานันท์. (2540). พันธุศาสตร์ของเซลล์. ภาควิชาพันธุศาสตร์ คณะวิทยาศาสตร์ มหาวิทยาลัยเกษตรศาสตร์ กรุงเทพฯ. หน้า 73-77.
- อุทัยรัตน์ ณ นคร. (2538). พันธุศาสตร์สัตว์น้ำ. ภาควิชาพาะเลี้ยงสัตว์น้ำ คณะประมง มหาวิทยาลัยเกษตรศาสตร์ กรุงเทพฯ. หน้า 126-130.
- Almeida-Toledo, L. F., A. P. V. Bigoni, G. Bernardino, and S. A. T. Filho. (1995). Chromosomal location of NORs and C-bands in F1 hybrids of bighead carp and silver carp reared in Brazil. *Aquaculture*, 135: 277-284.
- Banerjee, S. K., K. K. Misra, S. Banerjee, and S. P. Ray-Chaudhun. (1988). Chromosome number, genome sizes, cell volumes and evolution of snake-head fish (family Channidae). *Journal of Fish Biology*, 33: 781-789.
- Campos, H., G. Arratia, and C. Cuevas. (1997). Karyotypes of the Mos primitive catfishes (Teleostei, Siluriformes, Diplomystidae). *Journal of Zoological Systematics & Evolutionary Research*, 35(3): 113-119.
- Chen, T. R. (1971). A comparative chromosome study of twenty killifish species of the genus *Fundulus* (Teleostei: Cyprinodontidae). *Chromosoma*, 32: 436-453.
- Chen, T. R. and A. W. Ebeling. (1968). Karyological evidence of female heterogamety in the mosquitofish, *Gambusia affinis*. *Copeia*, 1: 70-75.
- Chen, T. R. and F. H. Ruddle. (1970). A chromosome study of four species and a hybrid of the killifish genus *Fundulus* (Teleostei: Cyprinodontidae). *Chromosoma*, 29: 255-267.
- Collares-Pereira, M. J., J. M. Madeira, and P. Rab. (1995). Spontaneous triploidy in the stone loach *Noemacheilus barbatulus* (Balitoridae). *Copeia*, 2: 483-484.
- Foresti, F., L. F. A. Toledo, and S. A. Toledo. (1981). Polymorphic nature of nucleolus organizer regions in fishes. *Cytogenetics and Cell Genetics*, 37: 137-144.
- García, G., E. Scvortzoff, and A. Hernández. (1995). Karyotypic heterogeneity in South American annual killifishes of the genus *Cynolebias* (Pisces, Cyprinodontiformes Rivulidae). *Cytologia*, 60: 103-110.
- Geocities. (Nodate). Colchicine used in plant breeding work to induce mutation (polyploidy). [Online]. Available: <http://www.geocities.com/RainForest/Vines/2259/colchicine.htm>

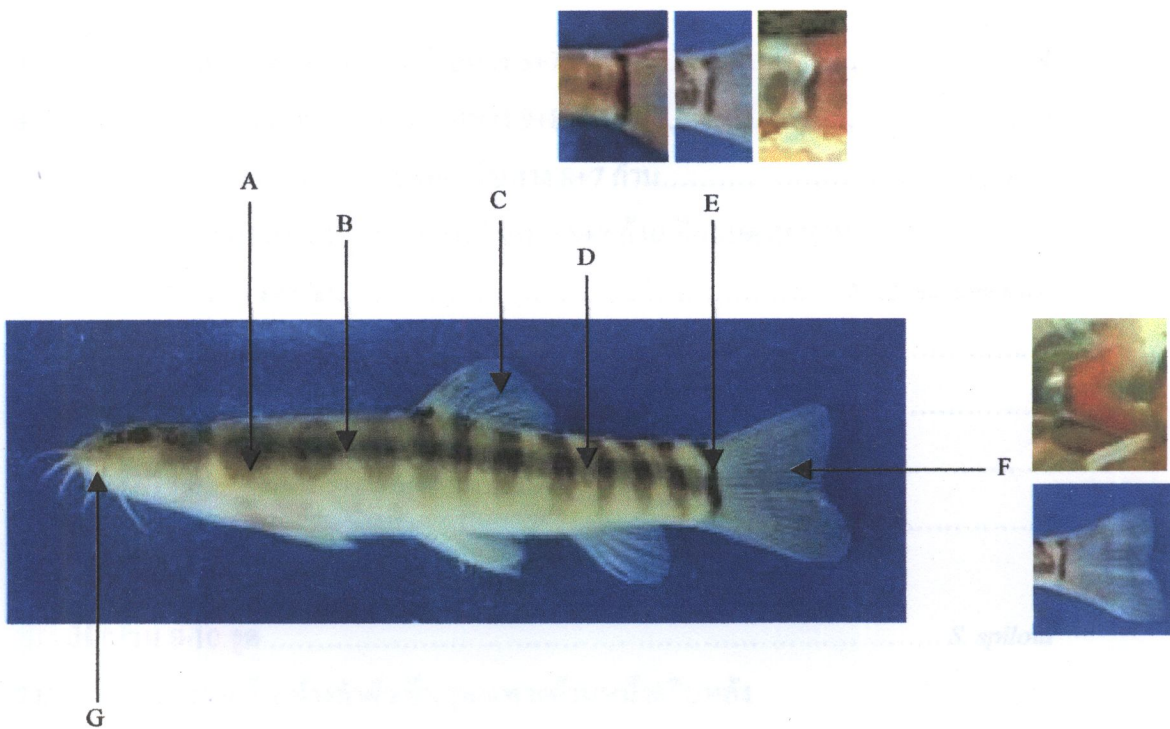
- Gold, J. R., Y. C. Li, N. S. Shipley, and P. K. Powers. (1990). Improved method for working with fish chromosomes with a review of metaphase chromosome banding. *Journal of Fish Biology*, 37: 563-575.
- Gregury, P. E., P. N. Howard-Peebles, R. D. Ellender, and B. J. Martin. (1980). C-banding of chromosomes from three established marine fish cell lines. *Copeia*, 3: 545-547.
- Gustashaw, K. M. 1991. Chromosome stains. In. M. J. Barch (eds.), *The ACT cytogenetics laboratory manual*, second edition. New York: Raven Press. 205-296.
- Ida, H., T. Asahida, K. Yano, and S. Tanaka. (1986). Karyotypes of two sharks, *Chamydoseelachus anguineus* and *Heterodontus japonicus*, and their systematic implications. In T. Uyeno, R. Arai, T. Taniuchi and K. Matsuura (eds.), *Indo-Pacific fish biology: Proceedings of the second international conference on Indo-Pacific fishes*. The Ichthyological Society of Japan, Tokyo, pp. 158-163.
- Jankun, M., P. Woznicki, G. Dajnowicz, K. Demska-Zakes, M. J. Luczynski, and M. Luczynski. (1998). Heterochromatin and NOR location in northern pike (*Esox lucius*). *Aquatic Sciences*, 60 (1): 17-21. [Online]. Available: <http://ois.xmu.edu.cn/mirrorj/as/tppmsgsmsgs0.htm>. [2001, June 25].
- Khuda-Bukhsh, A. R. and C. Chakrabarty. (1994). Localization of C-band heterochromatin in metaphase chromosome of two species in Indian major carps. *Inland Fish Soc. India*, 26: 44-46.
- Khuda-Bukhsh, A. R. and S. Tiwary. (1994). Study of G-band in two species of fish *Anabas testudineus* and *Labeo rohita*. *Inland Fish Soc. India*, 26: 47-50.
- Khuda-Bukhsh, A. R., T. Chanda, and A. Barat. (1986). Karyomorphology and evolution in some Indian Hillstream fishes with particular reference to polyploidy in some species. In T. Uyeno, R. Arai, T. Taniuchi and K. Matsuura (eds.), *Indo-Pacific fish biology: Proceedings of the second international conference on Indo-Pacific fishes*. The Ichthyological Society of Japan, Tokyo, pp. 886-898.
- Klinkhardt, M. B. (1998). Some aspects of karyoevolution in fishes. *Animal Research and Development*, 47: 7-36.

- Kottelat, M. (1990). Indochinese nemacheilines: A revision of nemacheiline loaches (Pisces: Cypriniforms) of Thailand, Burma, Laos, Cambodia and Southern Viet Nam. Verlag Dr. Friedrich Pfeil, München, FRG. Germany.
- Kottelat, M. (1998). Ichthyological exploration of freshwaters. An international journal for field-orientated ichthyology, 9 (1). München, Germany.
- Lingyun, L. (1986). Studies on making fish chromosomes elongated with high resolution G-banding. In T. Uyeno, R. Arai, T. Taniuchi and K. Matsuura (eds.), Indo-Pacific Fish Biology: Proceedings of the second international conference on Indo-Pacific fishes. The Ichthyological Society of Japan, Tokyo, pp. 910-917.
- Magtoon, W. (1986). Distribution and phyletic relationships of *Oryzias* fishes in Thailand. In T. Uyeno, R. Arai, T. Taniuchi and K. Matsuura (eds.), Indo-Pacific fish biology: Proceedings of the second international conference on Indo-Pacific fishes. The Ichthyological Society of Japan, Tokyo, pp. 859-866.
- Magtoon, W. and R. Arai. (1990). Karyotypes of three Cyprinid fishes, *Osteochilus hasselti*, *O. vittatus* and *Labiobarbus lineatus*, from Thailand. Japanese Journal of Ichthyology, 36 (4) : 483-486.
- Magtoon, W. and R. Arai. (1993). Karyotypes and distribution of Nucleolus Organizer Regions in Cyprinid fishes from Thailand. Japanese Journal of Ichthyology, 40(1): 77-85.
- Magtoon, W. and R. Arai. (1994). Karyotypes of five *Rasbora* species and one *Danio* species (Cyprinidae) from Thailand. In Proceedings of the fourth Indo-Pacific fish conference Bangkok, Thailand, 28 November-4 December 1993. Faculty of Fisheries. Kasetsart University, Bangkok, pp. 484-496.
- Medrano, L., G. Bernardi, J. Couturier, B. Dutrillaux, and G. Bernardi. (1988). Chromosome banding and genome compartmentalization in fishes. Chromosoma, 96: 178-183.
- Minrong, C., Y. Xinggi, and Y. Xiaomu. (1996). Karyotypes studies on the bisexual nature gynogenetic crucian carp (*Carassius auratus*) of Pengze. Acta-Hydrobiologica Sinica (China), 20(1): 25-31.
- Nanda, I., M. Schartl, W. Feichtinger, I. Schlupp, J. Parzefall, and M. Schmid. (1995). Chromosomal evidence for laboratory synthesis of triploid hybrid between the gynogenetic teleost *Poecilia formosa* and its host species. Journal of fish biology, 47: 619-623.

- Nayyar, R. P. (1966). Karyotype studies in thirteen species of fishes. *Genetica*, 37: 78-92.
- Nelson, J. S. (1994). *Fishes of the world*. 3rd edition. New York: John Wiley & Sons, Inc.
- Ohno, S. and N. B. Atkin. (1966). Comparative DNA values and chromosome complements of eight species of fishes. *Chromosoma*, 18: 455-466.
- Ojima, Y. 1983. Fish cytogenetics. In. A. K. Sharma, and A. Sharma (eds.), *Chromosomes in evolution of eukaryotic groups (I)*. Florida: CRC Press, Inc. 111-145.
- Park, E. H. and S. D. Park. (1979). A culture technique using marine fish kidney to obtain chromosomes. *Journal of Fisheries Research. Board Can.* 36: 458-461.
- Purdom, C. E. (1993). *Genetics and fish breeding*. London: Chapman & Hall.
- Rainboth, W. J. (1996). *Fishes of the Cambodian Mekong*. Food and Agriculture Organization of the United Nations. Rome.
- Rishi, K. K. (1979). Somatic G-banding chromosomes of *Colisa fasciatus* (Perciformes: Belontidae) and confirmation of female heterogamety. *Copeia* (1). 146-149.
- Ren, X., J. Cui, and Q. Yu. (1992). Chromosomal heterochromatin differentiation of cyprinid fishes. *Genetica*, 87 (1). 47-51.
- Smith, H. M. (1945). *Fresh-water fish of Siam, or Thailand*. United States: Government Printing Office, Washington.
- Takai, A. and Y. Ojima. (1986). Some features on nucleolus organizer regions in fish chromosome. In T. Uyeno, R. Arai, T. Taniuchi and K. Matsuura (eds.), *Indo-Pacific fish biology: Proceedings of the second international conference on Indo-Pacific fishes*. The Ichthyological Society of Japan, Tokyo, pp. 899-909.
- Uwa, H. (1986). Karyotype evolution and geographical distribution in the ricefish, Genus *Oryzias* (Oryziidae). In T. Uyeno, R. Arai, T. Taniuchi and K. Matsuura (eds.), *Indo-Pacific fish biology: Proceedings of the second international conference on Indo-Pacific fishes*. The Ichthyological Society of Japan, Tokyo, pp. 867-876.
- Uwa, H. and W. Magtoon. (1986). Description and karyotype of a new ricefish, *Oryzias mekongensis*, from Thailand. *Copeia*(2): 473-478.
- Uwa, H. and Y. Ojima. (1981). Detailed and banding karyotype analyses of the Medaka, *Oryzias latipes* in cultured cells. *Proceedings of the Japan Academy*, 57: 39-43.
- Verma, R. S. 1989. *Banding techniques, human chromosomes*. New York. 80-86.

- White, M. J. D. (1973). Animal cytology and evolution, 3rd ed. Cambridge University Press. London. 334-466.
- Woznicki, P., M. Jankun and M. Luczynski. (1998). Chromosome polymorphism in *Salmo trutta morpha lacustris* from Poland, Wdzydze Lake population: Variation in the short arm length of chromosome eleven. Aquatic Sciences, 60 (4): 367-375. [Online]. Available: <http://jots.xmu.edu.cn/mirrorj/as/tppmsgs/msg1.htm>. [2001, June 25].

ភាគធម្មោគ ៦



รูป 1 ลักษณะบางประการที่ใช้ในการจัดจำแนกชนิดปลาค้อ

A: ลักษณะแบบด้านลำตัว, B: เส้นข้างลำตัว, C: จำนวนก้านครีบหลัง, D: แอบคำที่พาดทับแนวเส้นข้างลำตัว, E: ลักษณะแบบด้านริเวณคอหาง, F: รูปแบบ จำนวนก้านครีบ และสีของหางปลาจะเป็นที่ยังมีชีวิต, G: แอบคำบริเวณริมฝีปากล่าง

การจัดจำแนกปลาค้อสกุล *Schistura* บางชนิดที่พบในจังหวัดเชียงใหม่ ดัดแปลงจาก Smith (1945), Kottelat (1990), Rainboth (1996) และ Kottelat (1998)

- 1 a) เส้นข้างลำตัวไม่สมบูรณ์ และริมฝีปากล่างมีແฉบคำ 2
- 1 b) เส้นข้างลำตัวสมบูรณ์ และริมฝีปากล่างไม่มีແฉบคำ 3
- 2 a) ขาดเริ่นต้นครีบท้องอยู่หลังขาดเริ่นต้นของครีบหลัง และແฉบบนลำตัว ส่วนบนและล่างของแต่ละແฉบจะเล็กกว่าตรงกลาง *S. cf. robertsi* 1
- 2 b) ขาดเริ่นต้นครีบท้องอยู่ตรงกับขาดเริ่นต้นของครีบหลังส่วนบนและล่างของแต่ละແฉบมีขนาดใกล้เคียงกัน และบริเวณกลางແฉบจะไม่ค่อซัดเจน *S. cf. robertsi* 2

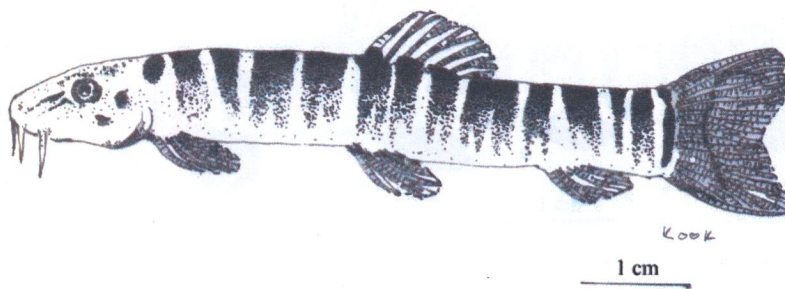
| | |
|------------------------------------------------------------------------------------------------------------------------------------------|--------------------------|
| 3 a) มีก้านครีบอ่อนที่แตกปลายของครีบทาง 8+7-8 ก้าน..... | 4 |
| 3 b) มีก้านครีบอ่อนที่แตกปลายของครีบทาง 9+8 ก้าน..... | 5 |
| 4 a) มีก้านครีบอ่อนที่แตกปลายของครีบทาง 8+7 ก้าน..... | <i>S. poculi</i> |
| 4 b) มีก้านครีบอ่อนที่แตกปลายของครีบทาง 8+8 ก้าน มีແນບคำพادทับ เส้นทางลำตัวชัดเจน | <i>S. cf. menanensis</i> |
| 5 a) ແນບคำທີ່ຄອດຫາງສ່ວນບູຮົມ..... | 6 |
| 5 b) ແນບคำທີ່ຄອດຫາງໄໝສ່ວນບູຮົມ..... | 9 |
| 6 a) ຮູປແບບຂອງລາຍດ້ານຂ້າງລຳຕັ້ງສ່ວນຫຼືກັ້ງໜົມເປັນຈຸດ..... | 7 |
| 6 b) ຮູປແບບຂອງລາຍດ້ານຂ້າງລຳຕັ້ງເປັນແຄນ..... | 8 |
| 7 a) ຮູປແບບຂອງລາຍດ້ານຂ້າງລຳຕັ້ງເປັນຈຸດຄດຄວາມຍາວລຳຫົວ ມີຈຳນວນ 8-10 ຈຸດ | <i>S. spilota</i> |
| 7 b) ຮູປແບບຂອງລາຍດ້ານຂ້າງລຳຕັ້ງເປັນຈຸດເພະດ້ານຫັ້ງກົງຫຼັງ ມີຈຳນວນ 6-8 ແຄນ..... | <i>S. cf. spilota</i> |
| 8 a) ມີແນບຄາມຂວາງບນລຳຕັ້ງ 10-14 ແຄນ ແນບຄາມຂວາງສ່ວນທີ່ຫຼູ້ຫັ້ງ ກົງຫຼັງສ່ວນນະເຂື້ອນຕິດກັນ ແຄນຫຼັງກົງຫຼັງເລື່ອງໄປ ດ້ານທ້າຍລຳຕັ້ງ..... | <i>S. obeini</i> |
| 8 b) ມີແນບຄາມຂວາງບນລຳຕັ້ງ 8-11 ແຄນ ແນບຄັງດ້າວມີຄວາມກວ້າງນາກກວ່າ ສ່ວນທີ່ເປັນຊ່ອງວ່າງ ແລະ ໄນເລື່ອງໄປທ້າຍລຳຕັ້ງ | <i>S. nicholsi</i> |
| 9 a) ຮູປແບບຂອງລາຍບນລຳຕັ້ງມີນາດ ໄນສ່ວນບູຮົມ ບາງແຄນແຕກບຣິເວລ ດ້ານລ່າງຂອງແຄນ | 10 |
| 9 b) ຮູປແບບຂອງລາຍບນລຳຕັ້ງชัดเจນ ມີສັນບຣິເວລສັນດ້ານບນ ແລະ ລ່າງ ຂອງກົງຫຼັງ | <i>Schistura</i> sp. |
| 10 a) ມີແນບຄາມຂວາງບນລຳຕັ້ງ 8-12 ແຄນ ແຄນບຣິເວລສ່ວນທ້າຍລຳຕັ້ງ (ຫຼັງກົງຫຼັງ) ສ່ວນດ້ານລ່າງຈະແຍກອອກຈາກກັນ..... | <i>S. kengtungensis</i> |
| 10 b) ມີແນບคำພາດທັບແນວຂອງເສັ້ນຂ້າງລຳຕັ້ງຈາງໆ ມີແນບຄາມຂວາງ ບນລຳຕັ້ງໄໝສ່ວນບູຮົມເປັນແຄນເລື່ອງໄປ ກະຈາຍ..... | <i>S. waltoni</i> |

ชนิดปลาด้อที่ใช้ในการศึกษา

1. *Schistura kengtungensis* (Fowler, 1936 อ้างตาม Kottelat, 1990)

ลักษณะเด่น

มีสีน้ำเงินเข้มตัวสันบูรพา มีจำนวนก้านครีบหลังที่แตกปลายจำนวน $8\frac{1}{2}$ ก้าน ครีบหางมีจำนวนก้านครีบที่แตกปลายจำนวน $9+8$ ก้าน มีแถบตามขวางบนลำตัว 8-12 แถบ แถบดังกล่าวจะพาดยาวตั้งแต่ส่วนหลังถึงด้านล่าง แต่แถบบริเวณส่วนท้ายลำตัว (ถัดจากครีบหลัง) ส่วนด้านล่างจะแยกออกจากกัน ครีบหางแบบ emarginated มีแถบดำที่คอดหางไม่สัมบูรณ์ (รูป 2)

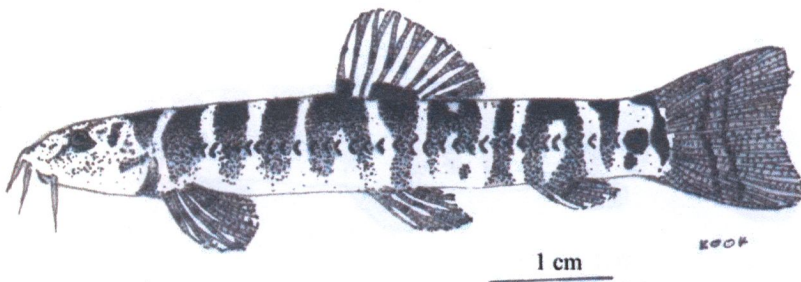


รูป 2 *Schistura kengtungensis*

2. *Schistura cf. menanensis*

ลักษณะเด่น

มีสันข้างลำตัวสมบูรณ์ มีจำนวนก้านครึ่งหลังที่แตกปลายจำนวน $8\frac{1}{2}$ ก้าน ครึ่งหน้ามีจำนวนก้านครึ่งที่แตกปลายจำนวน 8+8 ก้าน (แต่ Kottelat (1990) บอกว่ามี 9+8 ก้าน) มีແຄນตามขวางบนลำตัวจำนวน 9-11 ແຄນ มีແຄນคำชัดเจนพาดยาวตามแนวเส้นข้างลำตัวตั้งแต่ครึ่งอกถึงโคนครึ่งหาง ແຄນตามขวางบนลำตัวชัดเจนແຕ່ມີຂາດໄມ່ສໍາເລັດອືອນກາງແຕບເລິກນາງແຕບໃຫຍ່ໄມ່ແນ່ນອນ ມີຄຽບຫາງແບບ emarginated ມີແຄນคำທີ່ຄອດຫາງໄມ່ສົມບູຮົມ (ຮູບ 3)

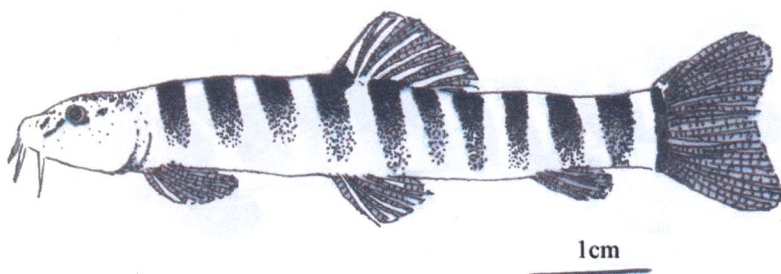
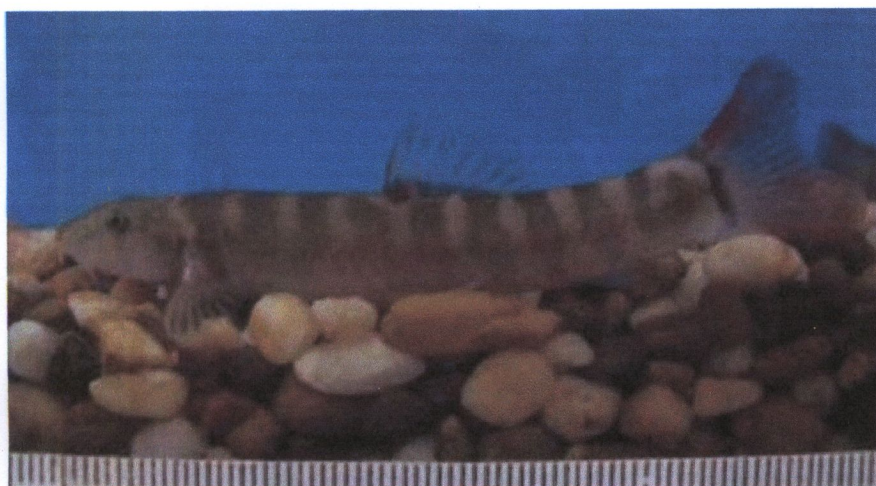


ຮູບ 3 *Schistura cf. menanensis*

3. *Schistura nicholsi* (Smith, 1933 ข้างต้น Kottelat, 1990)

ลักษณะเด่น

มีเต็นข้างลำตัวสมบูรณ์ มีจำนวนก้านครึบหลังที่แตกปลายจำนวน $8\frac{1}{2}$ ก้าน ครึบหางมีจำนวนก้านครึบที่แตกปลายจำนวน 9+8 ก้าน มีແນບตามขวางบนลำตัว 8-11 ແນ ແນບดังกล่าวมีความกว้างมากกว่าส่วนที่เป็นช่องว่าง ແນสีด้านหน้ามีขนาดใหญ่กว่าส่วนที่อยู่ด้านท้าย ແນดังกล่าวจะพาดยาวตั้งแต่ส่วนหลังถึงด้านล่างอย่างชัดเจน และแต่ละແນບจะแยกเป็นอิสระจากกันอย่างชัดเจน ครึบหางแบบ emarginated ขณะมีชีวิตจะมีสีแดงชัดเจน มีແນບดำที่คือดหางสมบูรณ์ (รูป 4)



รูป 4 *Schistura nicholsi*

4. *Schistura obeini* Kottelat, 1990

ลักษณะเด่น

มีสันข้างลำตัวสมบูรณ์ มีจำนวนก้านครึบหลังที่แตกปลายจำนวน $8\frac{1}{2}$ ก้าน ครึบหางมีจำนวนก้านครึบที่แตกปลายจำนวน $9+8$ ก้าน มีແตนตามขวางบนลำตัว 10-14 ແຕນ ແຕ່ລະແດນຈະພາດຍາວຕິ່ງແຕ່ສ່ວນຫຼັງຄຳນຳລ່າງຂັດເຈນແລະຈະເຂີຍໄປທ້າຍລຳຕົວ ແດນตามຂວາງສ່ວນທີ່ອູ້ໜ້າ ຄຣີບຫຼັງສ່ວນນະເໜື່ອມຕິດກັນແລະຈະແຍກຈາກກັນເມື່ອລົງນາຄຳນຳລ່າງ ຄຣີບຫາງແບນ emarginated ຂະໜີ່ມີຈິວິຕະແຄນນາກ ມີແດນດຳທີ່ຄອດຫາງ ສມບູຮົມ (ຮູບ 5)



ຮູບ 5 *Schistura obeini*

S. Schistura poculi (Smith, 1945)

ลักษณะเด่น

มีเต็นข้างลำตัวสมบูรณ์ มีจำนวนก้านครีบหลังที่แตกปลายจำนวน $8\frac{1}{2}$ ก้าน ครีบหางมีจำนวนก้านครีบที่แตกปลายจำนวน 8+7 ก้าน ลักษณะของແນບສีทางตอนหน้าของครีบหลังถี่มากซึ่งແນບส่วนบนจะเชื่อมติดกันและส่วนล่างจะแยกจากกัน ແນບສີທີ່ອູ່ທາງตอนທ້າຍຂອງครีบหลังจะມີขนาดใหญ່ແລະแยกจากกันชัดเจน ມີครีบหางແບບ forked ຂະໜາມີຈິວຕະນີສີແດງ ແນບດຳທີ່ຄອດຫາງໄວ່
ສາມບູຮັບ (ຮູບ 6)

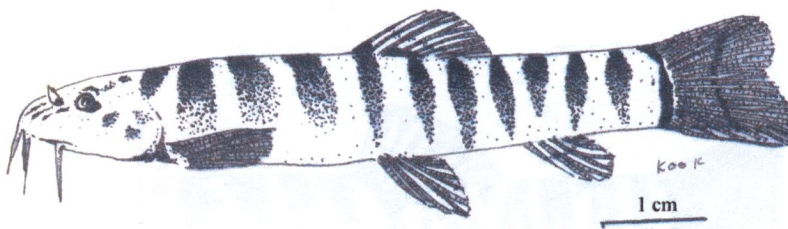


ຮູບ 6 *Schistura poculi*

6. *Schistura cf. robertsi* 1

ลักษณะเด่น

มีเส้นข้างลำตัวไม่สมบูรณ์ มีจำนวนก้านครีบหลังที่แตกปลายจำนวน $8\frac{1}{2}$ ก้าน ครีบหางนี้ จำนวนก้านครีบที่แตกปลายจำนวน $9+8$ ก้าน มีແຄນตามขวาง (bar) บนลำตัว 9-10 ແຄນ ยาวตั้งแต่ ด้านบนถึงด้านล่าง ส่วนบนและล่างของแต่ละແຄນจะเล็กกว่าตรงกลาง และแยกเป็นอิสระจากกันชัด เจน ແຄນด้านหน้าจะใหญ่กว่าด้านหลัง ຈຸດເຮັ່ມຕົ້ນຂອງครົບທົ່ວອູ້ຫຼັງຈຸດເຮັ່ມຕົ້ນຂອງครົບຫຼັງ ອິນຝຶ ປາກລໍາງມີແຕ່ນສືດຳ ມີຄົບຫາງແບບ emarginated ມີແຄນດຳທີ່ຄອດຫາງສມບູຽນ (ຮູບ 7)

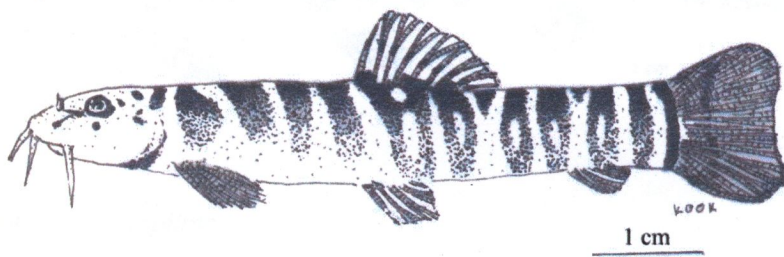


ຮູບ 7 *Schistura cf. robertsi* 1

7. *Schistura cf. robertsi* 2

ลักษณะเด่น

มีเตี้ยข้างลำตัวไม่สมบูรณ์ มีจำนวนก้านครีบหลังที่แตกปลายจำนวน $8\frac{1}{2}$ ก้าน ครีบหางมีจำนวนก้านครีบที่แตกปลายจำนวน 9+8 ก้าน มีແນບตามขวางบนลำตัว 8-10 ແນ ยาวตั้งแต่ด้านบนถึงด้านล่าง ส่วนบนและล่างของแต่ละແນບมีขนาดใกล้เคียงกัน และบริเวณกลางແນບจะไม่ค่อยชัดเจน แต่ละແນບแยกเป็นอิสระจากกันชัดเจนແນบดังกล่าวมีความกว้างมากกว่าส่วนที่เป็นช่องว่าง จุดเรื่นต้นของครีบท้องอยู่ตรงกับจุดเรื่นต้นของครีบหลัง ริมฝีปากล่างมีແตนสีดำอยู่ทั้ง 2 ด้าน มีครีบหางแบบ emarginated มีແນບคำที่คอดหางสมบูรณ์ (รูป 8)

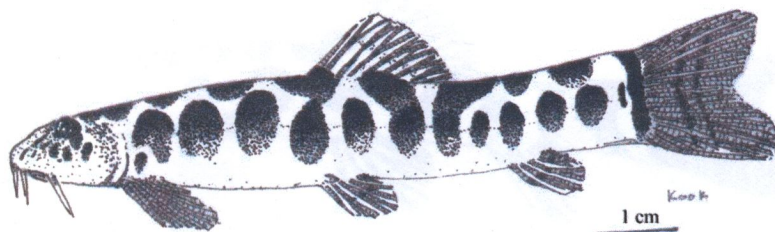
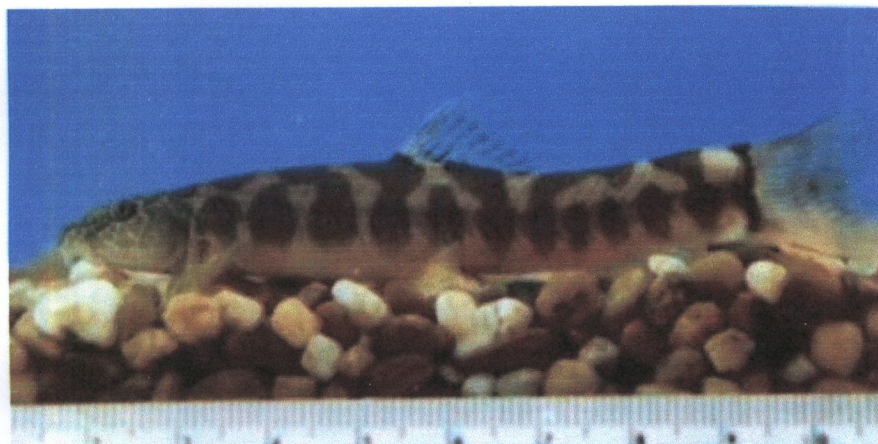


รูป 8 *Schistura cf. robertsi* 2

8. *Schistura spilota* (Fowler, 1934 ข้างตาม Kottelat, 1990)

ลักษณะเด่น

มีเต็นท์ข้างลำตัวสมบูรณ์ มีจำนวนก้านครีบหลังที่แตกปลายจำนวน $8\frac{1}{2}$ ก้าน ครีบหางมีจำนวนก้านครีบที่แตกปลายจำนวน $9+8$ ก้าน มีคอคหangเรียว ลักษณะของรูปแบบของແນບສືປົກຕິ ເປັນຈຸດມີນາຄໃໝ່ງຈຳນວນ 8-10 ຈຸດ ອູ້ດ້ານຂ້າງຂອງລຳຕັວໃນແນວຂອງເຫັນຂ້າງລຳຕັວ ໂດຍຈຸດດ້ານໜ້າ ຈະມີນາຄໃໝ່ງກວ່າຈຸດທີ່ອູ້ດ້ານທ້າຍຂອງລຳຕັວ ມີຄຽບຫາງແບບ forked ຂະນະນີ້ຈິວຕະນີສີສຳນີ້ແນບດຳທີ່ ຄອດຫາງສົມບູຮົມ (ຮູບ 9)

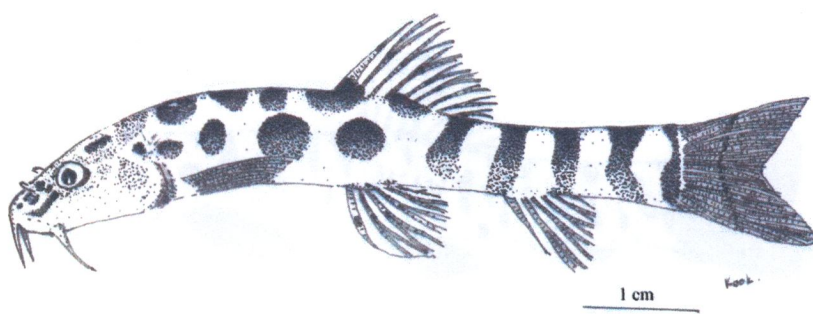


ຮູບ 9 *Schistura spilota*

9. *Schistura cf. spilota*

ลักษณะเด่น

มีเส้นข้างลำตัวสมบูรณ์ มีจำนวนก้านครึ่งหลังที่แตกปลายจำนวน $8\frac{1}{2}$ ก้าน ครึ่งหางมีจำนวนก้านครึ่งที่แตกปลายจำนวน 9+8 ก้าน มีคอหางเรียว ลักษณะของรูปแบบของແດນสีบนลำตัวส่วนหน้าครึ่งหลังเป็นจุดมีขนาดใหญ่ ส่วนหลังจะเป็นແຄນยาวตามยาวของลำตัวซัดเงนหรืออาจเป็นจุดบ้าง จำนวนແຄນบนลำตัวเท่ากับ 6-8 ແຄນ มีครึ่งหางแบบ forked ขณะมีชีวิตจะมีสีส้ม มีແຄນคำที่คอหางสมบูรณ์ (รูป 10)

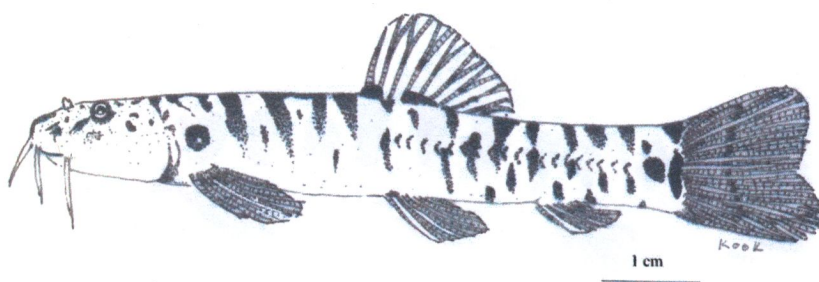


รูป 10 *Schistura cf. spilota*

10. *Schistura waltoni* (Fowler, 1937 อ้างตาม Kottelat, 1990)

ถักษณะเด่น

มีเส้นข้างลำตัวสมบูรณ์ มีจำนวนก้านครึ่งหลังที่แตกปลายจำนวน $8\frac{1}{2}$ ก้าน ครึ่งหนึ่งมีจำนวนก้านครึ่งที่แตกปลายจำนวน 9+8 ก้าน มีแถบดำด้านข้างลำตัวพาดทับแนวของเส้นข้างลำตัวบางๆ มีแถบตามยาวบนลำตัวไม่สม่ำเสมอเป็นแถบเล็กๆ กระจายโดยเฉพาะส่วนท้ายของลำตัว (หลังครึ่งหลัง) แถบด้านบนจะกว้างกว่าด้านล่าง ครึ่งหน้างบน emarginated มีแถบดำที่คอดหางไม่สมบูรณ์ (รูป 11)

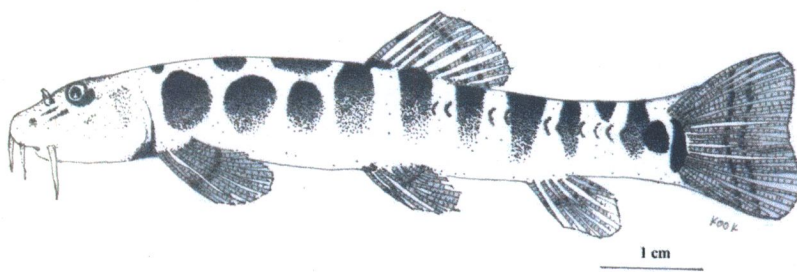


รูป 11 *Schistura waltoni*

11. *Schistura* sp.

ลักษณะเด่น

มีเส้นข้างลำตัวสมบูรณ์ มีจำนวนก้านครึ่งหลังที่แตกปลายจำนวน $8\frac{1}{2}$ ก้าน ครึ่งทางนี้ จำนวนก้านครึ่งที่แตกปลายจำนวน $9+8$ ก้าน จำนวนแฉบบนลำตัวเท่ากับ 9-10 แฉบ คอคหางไม่เรียบ ลักษณะของรูปแบบของแฉบสีบนลำตัวส่วนหน้าครึ่งเป็นจุดมีขนาดใหญ่ ส่วนหลังจะเป็นแฉบยาวตามยาวลำตัว บางครั้งก็เป็นจุด ครึ่งทางแบบ emarginated มีสันบริเวณสันด้านบนและถ่างของครึ่งทาง มีแฉบคำที่คอคหางไม่สมบูรณ์ (รูป 12)



รูป 12 *Schistura* sp.

ภาคผนวก ข

—

การเตรียมสารละลาย

1. น้ำยาคงสภาพ (Fixative 3:1)

99.98% Methanol 3 ส่วน

Glacial acetic acid 1 ส่วน

น้ำยาคงสภาพ (Fixative 2:1)

99.98% Methanol 2 ส่วน

Glacial acetic acid 1 ส่วน

2. สารละลาย Hypotonic (0.075 M KCl)

KCl 5.62 กรัม

ละลายในน้ำกลั่นประมาณ 900 มิลลิลิตร แล้วปรับปริมาตรเป็น 1 ลิตร

3. McIlvain buffer

0.2 M Na₂HPO₄.H₂O (35.6 กรัม/ลิตร) 200 มิลลิลิตร

0.1M Citric acid (21.0 กรัม/ลิตร) 30 มิลลิลิตร

ปรับ pH ให้ได้ 7.0 ก่อนใช้เจือจางด้วยน้ำกลั่น 1:10 เสนอ

4. สารละลาย Quinacrine

ละลาย Quinacrine. 2HCl 3 มิลลิกรัม ในน้ำกลั่น 7 มิลลิลิตร แล้วเติม McIlvain buffer ยีก 23 มิลลิลิตร จะได้สารละลาย 30 มิลลิลิตร

5. สารละลาย 1% Ba(OH)₂

Ba(OH)₂.8H₂O 1 กรัม

น้ำกลั่น 100 มิลลิลิตร

นำสารละลายไปป่นด้วยเครื่องป่น 15-20 นาที กรองด้วยกระดาษกรองก่อนใช้ ควรเตรียมเสร็จแล้วใช้ทันที

6. สารละลายน้ำ 2X saline sodium citrate (2XSSC)

| | |
|-----------------------------------------------------------------------------------------------------|-----------|
| sodium chloride (NaCl) | 17.5 กรัม |
| sodium citrate, 2 hydrate ($\text{Na}_3\text{C}_6\text{H}_5\text{O}_7 \cdot 2\text{H}_2\text{O}$) | 8.8 กรัม |
| น้ำกลั่น | 1 ลิตร |
| ปรับให้ได้ pH 7.0 โดยใช้ 1N NaOH | |

7. สารละลายน้ำ Weise buffer

| | |
|--------------------------------------------------------------|-----------|
| KH_2PO_4 | 0.49 กรัม |
| Na_2HPO_4 | 1.14 กรัม |
| ละลายน้ำกลั่นประมาณ 900 มิลลิลิตร แล้วปรับปริมาตรเป็น 1 ลิตร | |

8. สารละลายน้ำ 5% Giemsa

| | |
|-----------------------------------------------|--------------|
| Giemsa solution | 5 มิลลิลิตร |
| Weise buffer | 95 มิลลิลิตร |
| กรองด้วยกระดาษกรอง(เตรียมใหม่ทุกครั้งก่อนใช้) | |

9. สารละลายน้ำ trypsin

| | |
|-------------------------------------------------------------------------|---------------|
| trypsin (1:250) | 2.5 กรัม |
| 0.9% NaCl | 100 มิลลิลิตร |
| สารละลายน้ำที่ได้มีความเข้มข้น 2.5% trypsin เก็บไว้ในตู้เย็นช่องแช่แข็ง | |
| 2.5% trypsin | 1 มิลลิลิตร |
| 0.9% NaCl | 49 มิลลิลิตร |
| จะได้สารละลายน้ำ 0.05% trypsin | |

10. สารละลายน้ำ Gelatin

| | |
|-------------------------------------------------------------------|---------------|
| Gelatin | 2 กรัม |
| น้ำกลั่น | 100 มิลลิลิตร |
| Formic acid | 1 มิลลิลิตร |
| สารละลายน้ำที่เตรียมได้ควรเก็บไว้ในวดถัง และมีอายุนาน 2-3 สัปดาห์ | |

11. สารละลายน้ำ AgNO₃

AgNO₃

5 กรัม

น้ำกลั่น

10 มิลลิลิตร

สารละลายน้ำที่เตรียมได้ควรเก็บไว้ในขวดสีชา และเก็บไว้ที่อุณหภูมิ 2-5 องศาเซลเซียส

‘ภาคผนวกค

การทดลองการย้อมสีแบบพิเศษ

การย้อมสีแบบ Q-banding

ทำการทดลองหาช่วงเวลาที่เหมาะสมในการแซ่สไลด์ใน Methanol ตั้งแต่ 2-10 นาที ตามตาราง 1

ตาราง 1 เวลาในการแซ่สไลด์ใน Methanol และข้อมูลสารละลายน้ำ 20 % Quinacrine 20 นาที

| Methanol | เวลา (นาที) | | | | | | | | | |
|-----------------------|-------------|----|----|----|----|----|----|----|----|--|
| | 2 | 3 | 4 | 5 | 6 | 7 | 8 | 9 | 10 | |
| Absolute, 75% และ 50% | T1 | T2 | T3 | T4 | T5 | T6 | T7 | T8 | T9 | |

หมายเหตุ T = กรรมวิธี รวมทั้งหมด 9 กรรมวิธี กรรมวิธีละ 5 สไลด์

ผลการทดลอง

พบว่าช่วงเวลาในการแซ่สไลด์ถ้าต่ำกว่า 5 นาที โครโน่ไม่สามารถจดจำติดสีเรืองแสงไม่ค่อยชัดเจน แต่ช่วงเวลาตั้งแต่ 5 นาที เป็นต้นไปจะจดจำติดสีเรืองแสงชัดเจน ซึ่งผลที่ได้ในแต่ละช่วงเวลาตั้งแต่ 5-10 นาที ไม่แตกต่างกันดังนั้นการศึกษาครั้งนี้จึงเลือกช่วงเวลาที่ 5 นาที มาใช้ทำการศึกษา

การย้อมสีแบบ G-banding

ทำการทดลองหาความเข้มข้น และระยะเวลาที่ใช้แซ่สไลด์ใน Trypsin ตามตาราง 2

ตาราง 2 ความเข้มข้นและระยะเวลาที่ใช้แซ่สไลด์ใน Trypsin

| Trypsin | เวลา (วินาที) | | | | | | |
|---------|---------------|----|-----|-----|-----|-----|-----|
| | 1 | 2 | 3 | 4 | 5 | 10 | 15 |
| 0.05% | T1 | T2 | T3 | T4 | T5 | T6 | T7 |
| 0.10% | T8 | T9 | T10 | T11 | T12 | T13 | T14 |

หมายเหตุ T = กรรมวิธี รวมทั้งหมด 14 กรรมวิธี กรรมวิธีละ 5 สไลด์

ผลการทดลอง

การทดลองครั้งนี้ได้แบ่งความเข้มข้นของ Trypsin ออกเป็น 2 ระดับคือ 0.05% และ 0.10% และระยะเวลาแช่สไลด์ใน Trypsin ประกอบด้วย 1, 2, 3, 4, 5, 10 และ 15 วินาที พนว่าที่ความเข้มข้น 0.10% Trypsin ในทุกๆ ช่วงเวลา โครโน่โชนจะถูก Trypsin ย่อยมากกินไป และเมื่อข้อมค่วยสี Giemsa จะไม่มี band เกิดขึ้น

ที่ความเข้มข้น 0.05% Trypsin ในช่วงเวลา 1-2 วินาที โครโน่โชนจะไม่ถูกย่อยมากกินไป และเมื่อข้อมค่วยสี Giemsa จะมี band เกิดขึ้น สำหรับช่วงเวลาที่เหลือโครโน่โชนจะยุบ และเมื่อข้อมค่วยสี Giemsa จะไม่มี band เกิดขึ้น ดังนั้นจึงเลือกเวลาที่ความเข้มข้น 0.05% Trypsin และใช้เวลา 1-2 วินาที มาใช้ทำการทดลอง

การย้อมสีแบบ C-banding

ทำการทดลองหาช่วงเวลาที่เหมาะสมในการแช่สไลด์ใน 0.2 N HCl และหาความเข้มข้น และช่วงเวลาที่เหมาะสมในการแช่สไลด์ใน Ba(OH)₂ ตามตาราง 3 และ 4

ตาราง 3 ระยะเวลาในการแช่สไลด์ใน 0.2 N HCl ที่อุณหภูมิห้อง และเวลาในการแช่สไลด์ใน 5% Ba(OH)₂ ที่ 50 องศาเซลเซียส

| 0.2 N HCl | เวลาแช่ใน 5% Ba(OH) ₂ (นาที) | | | | | | | | | |
|-----------|-----------------------------------------|-----|-----|-----|-----|-----|-----|-----|-----|-----|
| | 5 | 10 | 15 | 20 | 25 | 30 | 35 | 40 | 45 | 50 |
| 30 นาที | T1 | T2 | T3 | T4 | T5 | T6 | T7 | T8 | T9 | T10 |
| 1 ชั่วโมง | T11 | T12 | T13 | T14 | T15 | T16 | T17 | T18 | T19 | T20 |
| 2 ชั่วโมง | T21 | T22 | T23 | T24 | T25 | T26 | T27 | T28 | T29 | T30 |

หมายเหตุ T = กรรมวิธี รวมทั้งหมด 30 กรรมวิธี กรรมวิธีละ 5 สไลด์

ตาราง 4 ระยะเวลาในการแช่สไลด์ใน 0.2 N HCl ที่อุณหภูมิห้อง และเวลาในการแช่สไลด์ใน 1% Ba(OH)₂ ที่ 50 องศาเซลเซียส

| 0.2 N HCl | เวลาแช่ใน 1% Ba(OH) ₂ (นาที) | | | | | | | | | |
|-----------|-----------------------------------------|-----|-----|-----|-----|-----|-----|-----|-----|-----|
| | 5 | 10 | 15 | 20 | 25 | 30 | 35 | 40 | 45 | 50 |
| 30 นาที | T1 | T2 | T3 | T4 | T5 | T6 | T7 | T8 | T9 | T10 |
| 1 ชั่วโมง | T11 | T12 | T13 | T14 | T15 | T16 | T17 | T18 | T19 | T20 |
| 2 ชั่วโมง | T21 | T22 | T23 | T24 | T25 | T26 | T27 | T28 | T29 | T30 |

หมายเหตุ T = กรรมวิธี รวมทั้งหมด 30 กรรมวิธี กรรมวิธีละ 5 สไลด์

ผลการทดลอง

การทดลองครั้งนี้ได้แบ่งช่วงเวลาในการแช่สไลด์ใน 0.2 N HCl ออกเป็น 3 ช่วงคือ 30 นาที 1 และ 2 ชั่วโมง แบ่งความเข้มข้นของ Ba(OH)₂ ออกเป็น 2 ระดับคือ 1% และ 5% และระยะเวลา แช่สไลด์ใน Ba(OH)₂ แบ่งได้เป็น 5, 10, 15, 20, 25, 30, 35, 40, 45 และ 50 นาที พบว่าเมื่อแช่สไลด์ ใน 0.2 N HCl นาน 2 ชั่วโมง ใน 5% Ba(OH)₂ และ 1% Ba(OH)₂ จะทำให้เซลล์ต่างๆ รวมทั้ง โครโนโซมน้ำสไลด์หายไปหมด และถ้าแช่สไลด์ใน 0.2 N HCl นาน 30 นาที แล้วนำมาแช่ใน Ba(OH)₂ ทั้ง 2 ความเข้มข้นแล้วจึงนำไปข้อมสี Giemsa พบว่าโครโนโซมไม่เกิด band เลย แต่เมื่อ แช่สไลด์ใน 0.2 N HCl นาน 1 ชั่วโมง แล้วนำมาแช่ใน 1% Ba(OH)₂ ในช่วงเวลา 20-40 วินาที แล้ว นำไปข้อมสี Giemsa พบว่าโครโนโซมนี้ band เกิดขึ้น สำหรับกรรมวิธีที่เหลือโครโนโซมจะไม่ ปรากฏ band เลย ดังนั้นจึงเลือกทำการข้อมสีโครโนโซมแบบ C-banding โดยแช่สไลด์ใน 0.2 N HCl นาน 1 ชั่วโมง และแช่ใน 1% Ba(OH)₂ นาน 20-40 วินาที หลังจากนั้นจึงนำสไลด์ไปข้อมคัวสี Giemsa มาใช้ทำการศึกษา

ประวัติส่วนตัว

ชื่อ นายเกรียงไกร สีจะพันธุ์

วุฒิการศึกษา สำเร็จมัธยมศึกษาปีที่ 6 จากโรงเรียนพะ夷พิทยาคม จังหวัดพะ夷า
สำเร็จการศึกษาระดับปริญญาตรี จากมหาวิทยาลัยแม่โจ้ จังหวัดเชียงใหม่

ภูมิลำเนา 258 ถนนชุมปะปอร์ไชเยร์ ตำบลต่ออม อำเภอเมือง จังหวัดพะ夷า 56000

ทุนการศึกษา ได้รับทุนสนับสนุนจาก โครงการพัฒนาองค์ความรู้และศึกษาよいมายการจัดการ
ทรัพยากรชีวภาพในประเทศไทย (BRT 542085) ซึ่งร่วมจัดตั้งโดยสำนักงานกอง
ทุนสนับสนุนการวิจัยและศูนย์พันธุวิศวกรรมและเทคโนโลยี